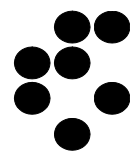


*J. Stefan Institute, Ljubljana, Slovenia*



**DP-9675**

## **Matematični model ločevalnika plina in vode**

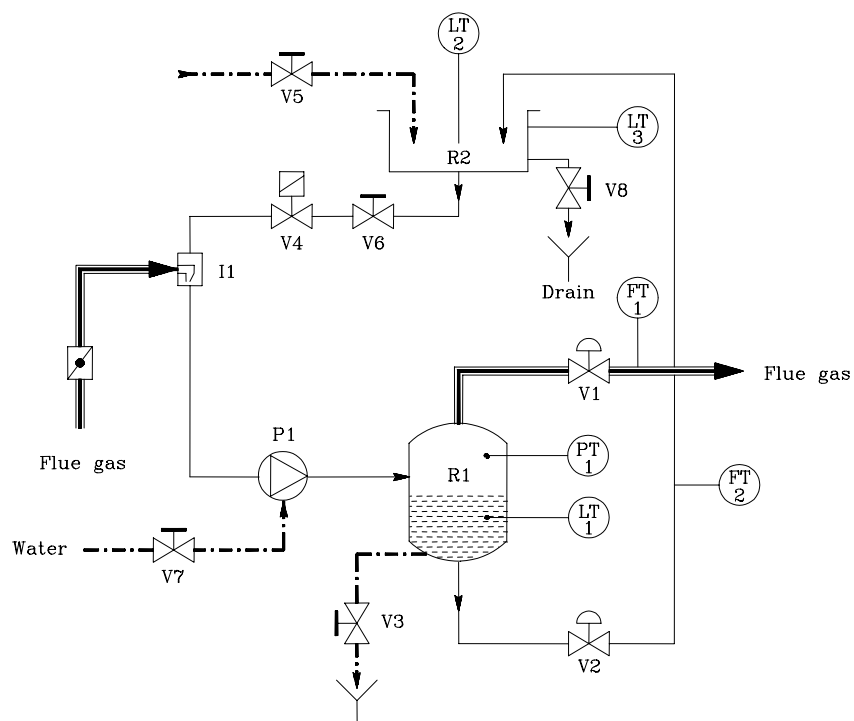
Satja Lumbar, Juš Kocijan

Februar 2006

<b><u>1. OPIS PROCESA</u></b>	<b>3</b>
<b>1.1 SIGNALI</b>	<b>4</b>
<b>1.2 PRIKLOP, ZAGON TER ZAUSTAVITEV PROCESA</b>	<b>5</b>
1.2.1 PRIKLOP	5
1.2.2 ZAGON PROCESA	7
1.2.3 ZAUSTAVITEV	9
<b><u>2. NELINEARNI DINAMIČNI MODEL PROCESA</u></b>	<b>10</b>
<b>2.1 MODELA VENTILOV</b>	<b>10</b>
2.1.1 VENTIL ZA ZRAK $V_1$	10
2.1.2 VENTIL ZA VODO $V_2$	12
<b>2.2 PRETOK VODE IN ZRAKA SKOZI INJEKTOR</b>	<b>13</b>
<b>2.3 ZRAČNI TLAK V SEPARATORJU</b>	<b>15</b>
<b>2.4 NIVOJA VODE V SEPARATORJU IN REZERVOARJU</b>	<b>16</b>
<b>2.5 NELINEARNI MODEL</b>	<b>16</b>
<b>2.6 LINEARIZACIJA MODELAA</b>	<b>18</b>
2.6.1 IZPELJAVA IZ NELINEARNEGA MODELAA	18
2.6.2 IZPELJAVA IZ MERITEV REALNE NAPRAVE	20
<b><u>3. VALIDACIJA DINAMIČNEGA MODELAA</u></b>	<b>22</b>
<b>3.1 VERIFIKACIJA STATIČNIH RAZMER</b>	<b>22</b>
<b>3.2 VALIDACIJA DINAMIČNIH RAZMER</b>	<b>33</b>
<b><u>4. ZAKLJUČEK</u></b>	<b>39</b>
<b><u>DADATEK A - TABELA KONSTANT</u></b>	<b>40</b>
<b><u>DODATEK B - MERITVE ZA MODEL VENTILA <math>V_1</math></u></b>	<b>41</b>
<b><u>DODATEK C - MERITEV ZA MODEL VENTILA <math>V_2</math></u></b>	<b>46</b>
<b><u>DODATEK D - MERITVE ZA MODEL PRETOKA ZRAKA TER VODE SKOZI INJEKTOR</u></b>	<b>47</b>

## 1. Opis procesa

Ločevanje plina in vode je podproces v polindustrijski instalaciji, ki se v osnovi uporablja za redukcijo  $\text{NO}_x$  v tekočih plinih ter za nevtralizacijo odpadne vode, ki vsebuje  $\text{CO}_2$ . Separacijska enota  $R_1$  prejme tekočo vodo, ki vsebuje zgorele pline (npr. iz prejšnjega podprocesa) pod nizkim tlakom, ter jih pod poljubnim tlakom  $p_1$  (seveda v mejah k jih določajo aktuatorji, črpalka ter varnostne razmere) prenese v naslednji podproses. Shemo ločevalnika prikazuje slika 1.



Slika 1 Shema procesa

Zgoreli plini (v laboratoriju, kjer separator ni priključen na prejšnji podproces, te zgorele pline predstavlja zrak, ki se doda vodi skozi injektor  $I_1$ ) se preko injektorja  $I_1$  združijo z vodnim tokom, za katerega skrbi črpalka  $P_1$ , katere hitrost vrtenja je možno spremenjati s frekvenčnim pretvornikom (Mitsubishi FR-E500) v električni omarici. Plin se v zaprti posodi  $R_1$  loči od vode ter se nabira nad gladino vode, ter tako ustvarja pritisk, kar sili zrak skozi ventil  $V_1$  v naslednji podproces (če ta obstaja), ter vodo skozi ventil  $V_2$  nazaj v rezervoar  $R_2$ . Količina vode v sistemu je torej konstanta. Če zaradi kateregakoli razloga potrebujemo več vode, jo lahko dotočimo skozi ventil  $V_5$ , če pa je vode preveč jo odtočimo skozi ventil  $V_3$ . Seznam komponent procesa je v tabeli 1:

**Tabela 1** Seznam procesnih komponent

Simbol	Opis
$R_1$	Ločevalnik plina in vode
$R_2$	Odpri shranjevalnik (rezervoar)
$I_1$	Injektor plina
$P_1$	Električna črpalka
$V_1$	Ventil za zrak iz ločevalnika $R_1$
$V_2$	Ventila za vodo iz ločevalnika $R_1$
$V_3$	Ročni ventil za spuščanje vode iz ločevalnika $R_1$
$V_4$	Elektromagnetni ventil (odprt med obratovanjem)
$V_5$	Ročni ventil za dotekanje vode v rezervoar $R_2$
$V_6$	Ročni ventil s katerim nastavimo delovno točko črpalke $P_1$
$V_7$	Ročni ventil za dovajanje vode v črpalko $P_1$
$V_8$	Ročni ventil za spuščanje vode iz shranjevalnika $R_2$
$PT_1$	Merilnik tlaka v $R_1$
$LT_1$	Merilnik nivoja tekočine v $R_1$
$LT_2$	Merilnik nivoja tekočine v $R_2$
$LT_3$	ON/OFF senzor maksimalnega nivoja v $R_2$
$FT_1$	Merilnik pretoka plina
$FT_2$	Merilnik pretoka vode
	frekvenčni pretvornik

Seznam uporabljenih spremenljivk je v dodatku A.

## 1.1 Signali

Sledеči signali so dostopni v sistemu:

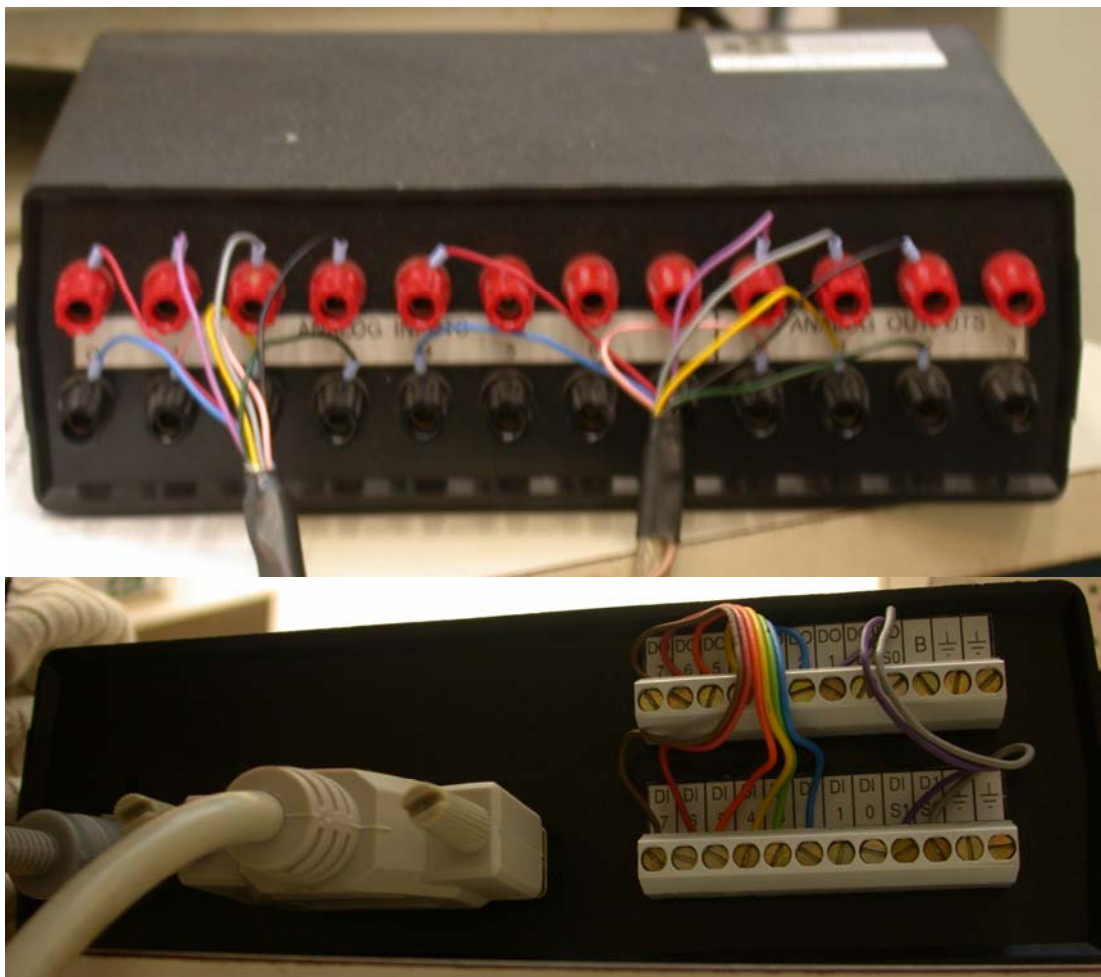
**Tabela 2** Seznam merjenih signalov

Ime spremenljivke	Opis
$h_1$	nivo vode v $R_1$
$h_2$	nivo vode v $R_2$
-	ON/OFF senzor nivoja v $R_2$
$p_1$	tlak nad atmosferskim tlakom v $R_1$
$\Phi_1$	pretok plina iz ločevalnika $R_1$
$\Phi_2$	pretok vode iz ločevalnika $R_1$
$u_1$	komandni signal na zveznem ventilu $V_1$
$u_2$	komandni signal na zveznem ventilu $V_2$
$f$	frekvenca črpalke $P_1$

## **1.2 Priklop, zagon ter zaustavitev procesa**

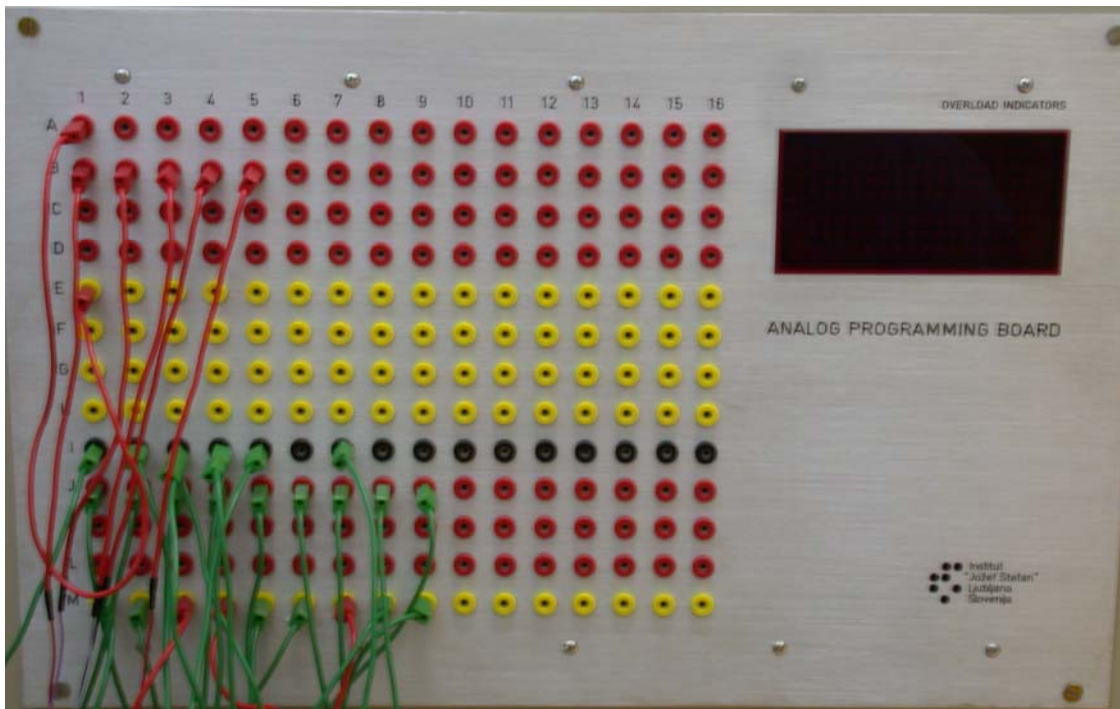
### **1.2.1 Priklop**

Izmed treh možnih variant (PLK, Burr-Brown, DV2000) smo se odločili za vodenje procesa preko programskega paketa MATLAB Simulink z vhodno-izhodno enoto DV2000 (na sliki), ki se s PC-jem poveže preko paralelnega vhoda LPT1.



**Slika 2** Vhodno izhodna enota DV2000

Na nadzorni omari je polje analognih vhodov in izhodov , ki jih povežemo z vhodno-izhodno enoto DV2000 kot prikazujeta slika 3 in tabela 3:



**Slika 3** Analogni vhodi in izhodi na nadzorni plošči. Vrstica črne barve (I) je masa

**Tabela 3** Vezalna tabela

Analogni vhod	Priključna sponka na komandnem pultu	Barva priključnega kabla	kabel 1	kabel 2
$\Phi_1$	B1	rdeča/modra		
$\Phi_2$	B2	viola/roza		
p1	B3	siva/rumena		
h1	B4	črna/zelena		
h2	B5	rdeča/modra		
Analogni izhod	Priključna sponka na komandnem pultu	Barva priključnega kabla		
u1	M3	viola/roza		
u2	M4	siva/rumena		
f	M7	črna/zelena		

### 1.2.1.1 Nastavitev na PC-ju

Računalnik, na katerega povežemo vhodno-izhodno enoto DV2000 mora imeti nameščen programski paket MathWorks MATLAB 5.3 (R11) s Simulink-om. Priporočen je operacijski sistem MS Windows 2000. Sedaj je potrebno namestiti gonilnike za vhodno-izhodno enoto, za kar potrebujemo naslednje datoteke:

- DVADDA.dll
- dv2000.dll
- Giveio.sys

- inst.bat
- INSTDRV.EXE
- sc.exe
- uninist.bat
- demodv2k.mdl

Datoteke prekopiramo v poljubno mapo (npr "d:\Users\Satja\DV2000\driver"), ki jo nato nastavimo v MATLAB-ov "path". Sedaj le še zaženemo datoteko "inst.bat" in iz datoteke "demodv2k.mdl" lahko vzamemo MATLAB Simulink blok DV2000, ki predstavlja vhodno izhodno enoto.

### 1.2.2 Zagon procesa

Proces zaženemo v naslednjih korakih:

- Vključimo nadzorno omaro (stikalo iz 0 na 1)
- Vključimo frekvenčnik (stikalo iz 0 na 1)



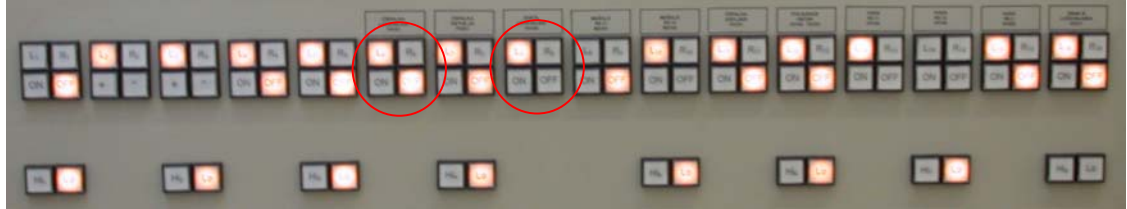
**Slika 4** Omarica s frekvenčnim pretvornikom Mitsubishi FR-E500

- Odpremo dovod zraka



**Slika 5** Sistem za dovajanje zraka pnevmatskima ventiloma  $V_1$  in  $V_2$

- Črpalko  $P_1$  ter ventil  $V_4$  na nadzorni plošči preklopimo na lokalno (L) in "ON"



Slika 6 Vklop/Izklop črpalke ter elektronskega ventila  $V_4$

- Odpremo dotok vode v črpalko (ravno toliko da teče)<sup>1</sup>



Slika 7 Pipa za dotok vode v črpalko

- Ventil  $V_6$  postavimo v srednji položaj (druga oznaka)
- Preverimo, ali so črpalka ter oba ventila nastavljeni na avtomatsko vodenje, če niso, jih v ta način prestavimo (stikalo iz M na A)



Slika 8 Stikala za preklop iz ročnega v avtomatsko delovanje

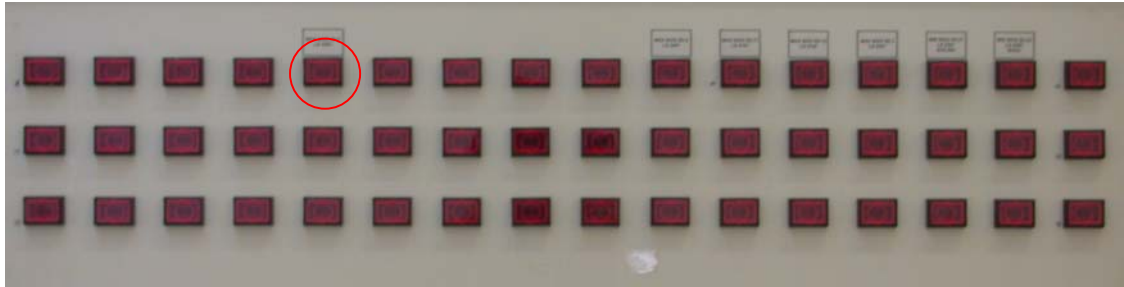
### 1.2.2.1 Vodenje procesa

Sedaj lahko v Simulink-u (npr. s pomočjo sheme "Separ.mdl", ali pa izdelamo svojo shemo) spremenjamo vhode ( $u_1$ ,  $u_2$  ter  $f^2$ ) ter opazujemo stanja ter izhode ( $p_1$ ,  $\Phi_1$ ,  $\Phi_2$ ,  $h_1$  in  $h_2$ ).

---

<sup>1</sup> Ko poženemo eksperiment je potrebno to vodo zapreti, v nasprotnem primeru dobimo nezaželeno lezenje nivoja v  $R_1$ , ki nam kvari meritve

Med delovanjem je potrebno paziti, da se črpalka ne pregrevata, ter da ne pride do preliva v shranjevalniku  $R_2$ . Maksimalni nivo v  $R_2$  zaznava ON/OFF senzor, ki nas na nevarnost preliva opozori s prižigom lučke na nadzorni plošči.



**Slika 9** Svetlobni signal nas opozori na nevarnost prelitja v rezervoarju  $R_2$

Če nivo vode v rezervoarju  $R_2$  pada pod določeno mejo<sup>3</sup>, jo lahko dotočimo (ventil  $V_5$ ), če pa je vode preveč in eksperimenta ne moremo oz. ne želimo zaustaviti (med samim eksperimentom je bolje vodo odtakati iz shranjevalnika  $R_2$ , saj tako manj kritično vplivamo na stanja procesa), je potrebno cev iz pipe za dotekanje vode preusmeriti v odtok (tako višek vode iz  $R_2$  sproti odteka).



**Slika 10** Pipa za dotekanje vode v  $R_2$ ; če pa je vode v  $R_2$  preveč, cev odvijemo iz pipe in jo usmerimo v odtok

### 1.2.3 Zaustavitev

- Črpalko  $P_1$  ter ventil  $V_4$  na nadzorni plošči preklopimo na "OFF"
- Zapremo dovod zraka
- Izklopimo frekvenčnik
- Izklopimo nadzorno ploščo

<sup>2</sup> Frekvenco črpalke smo lahko spremenjamo med 0 in 60 Hz. Hitrosti pod 30 Hz zaradi pregrevanja niso priporočljive. Iz istega razloga pa moramo paziti pri hitrostih nad 55 Hz, da črpalka ni v takem načinu dlje kot približno pol ure

<sup>3</sup> Približno 20 cm. Na tej višini je namreč tudi odtok iz rezervoarja. V primeru nižjih nivojev v  $R_2$  črpalka goni »v prazno«

## 2. Nelinearni dinamični model procesa

### 2.1 Modela ventilov

Najprej smo poskušali modelirati zvezna ventila  $V_1$  in  $V_2$ . Karakteristiko zveznega ventila opisuje naslednja enačba:

$$\Phi = K \sqrt{\Delta p} \quad (1)$$

kjer simboli  $\Phi$ ,  $K$  in  $\Delta p$  predstavljajo pretok skozi ventil, koeficient pretoka ventila ter razliko med tlaki na obeh straneh ventila. Opravka imamo s proporcionalnimi ventili, pri katerih sta koeficient pretoka ter komandni signal na ventilu povezana po naslednji enačbi:

$$K = K_{\max} R^{v-1} \quad (2)$$

kjer simboli  $v$ ,  $K_{\max}$  in  $R$  predstavljajo pozicijo ventila ( $v=0$  pomeni popolnoma zaprt,  $v=1$  pa popolnoma odprt ventil), koeficient  $K$  popolnoma odprtrega ventila ter razmerje  $K_{\max}/K_{\min}$ .

Oba ventila poganjata servomotorja. Dejanski vhodni signal ventila je tokovni signal v območju 4..20 mA, ki se linearno pretvori v območje  $u=0..1$ . Ta signal je referenca za pozicijo ventila (v ustaljenem stanju  $v=u$ ).

#### 2.1.1 Ventil za zrak $V_1$

Statično karakteristiko ventila za zrak  $V_1$  smo dobili tako, da smo pri različnih tlakih odčitali komandni signal ventila, ter izmerili pretok skozi ventil ( $\Phi_1$ ). Zatem smo izračunali koeficient ventila  $K_1$  po enačbi:

$$K_1 = \frac{\Phi_1}{\sqrt{p_1}} \quad (3)$$

kjer  $p_1$  predstavlja tlak nad atmosferskim tlakom  $p_0$  ločevalniku  $R_1$ . Rezultati so podani v tabeli 4:

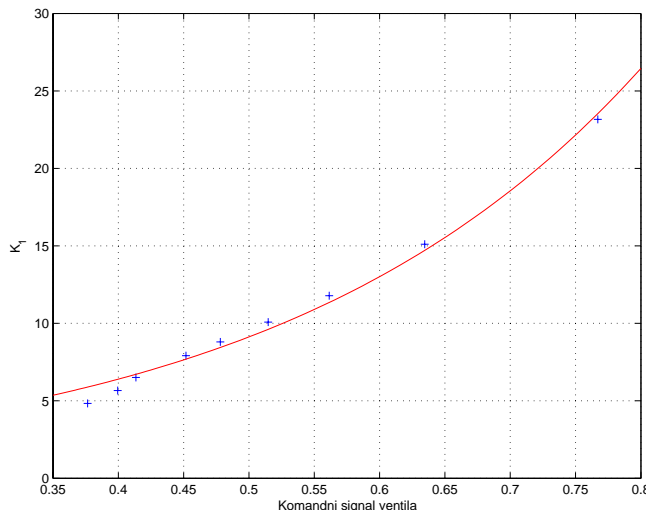
**Tabela 4** Meritev na ventilu ( $u_1$  in  $\Phi_1$ ) ter izračunani koeficient ventila  $K_1$

$p_1$ [bar]	$u_1$ [%]	$\Phi_1$ [l/s]	$K_1$
0.9	0.3765	4.585	4.833
0.8	0.3995	5.063	5.661
0.7	0.4135	5.445	6.508
0.6	0.4518	6.128	7.911
0.5	0.4781	6.221	8.798
0.4	0.5147	6.375	10.080
0.3	0.5614	6.455	11.785
0.2	0.6345	6.757	15.109
0.1	0.7670	7.325	23.164

Z metodo najmanjših kvadratov (MATLAB-ova funkcija "fit.m") smo nato poiskali konstanti  $K_{max}$  in  $R$ , ter prišli do sledeče enačbe:

$$K_1 = 53.79 \cdot 34.75^{u_1-1} \quad (4)$$

Rezultati so grafično prikazani na sliki 11.

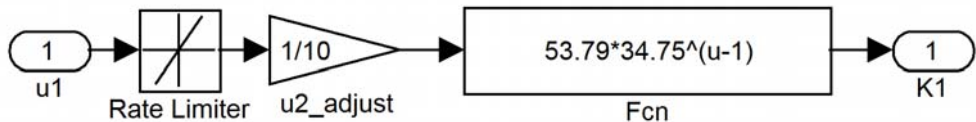


**Slika 11** Meritve na ventilu  $V_1$  ter aproksimacijska krivulja.

Statično karakteristiko ventila je potrebno razširiti z dinamičnim razmerjem med komandnim signalom  $u$  in dejanskim položajem ventila  $v$ . Zavedati se moramo namreč, da se pozicija ventila lahko spreminja le z omejeno hitrostjo:

$$\dot{v} = \begin{cases} \dot{v}_{\max}, & \dot{u} > \dot{v}_{\max} \\ \dot{v}_{\min}, & \dot{u} < \dot{v}_{\max}, \\ \dot{u}, & \text{sicer} \end{cases} \quad (5)$$

kjer sta  $\dot{v}_{\max} = 0.66 s^{-1}$  in  $\dot{v}_{\min} = -0.33 s^{-1}$ . MATLAB Simulink shema modela ventila  $V_1$  je na sliki 12. Poteki vseh meritev so prikazani v dodatku B.



**Slika 12** MATLAB Simulink shema ventila  $V_1$ . Blok "u1\_adjust" prilagodi napetostni signal 0-10 V v signal, ki ga potrebujemo, to je signal v območju 0...1

## 2.1.2 Ventil za vodo $V_2$

Statično karakteristiko ventila  $V_2$  smo dobili iz meritev komandnega signala  $u_2$ , pretoka skozi ventil  $\Phi_2$  ter nivoja v zaprti posodi  $h_1$  pri konstantnem tlaku 0.95 bara. Koeficiente ventila smo nato izračunali s pomočjo enačbe (1):

$$K_2 = \frac{\Phi_2}{\sqrt{p_1 + K_W(h_1 - h_{R2})}}, \quad (6)$$

kjer  $K_W=0.0981$  bar/m predstavlja proporcionalni faktor med nivojem v metrih ter tlakom v barih,  $h_{R2}=2$ m pa višino rezervoarja  $R_2$ . Rezultati so zbrani v tabeli 5:

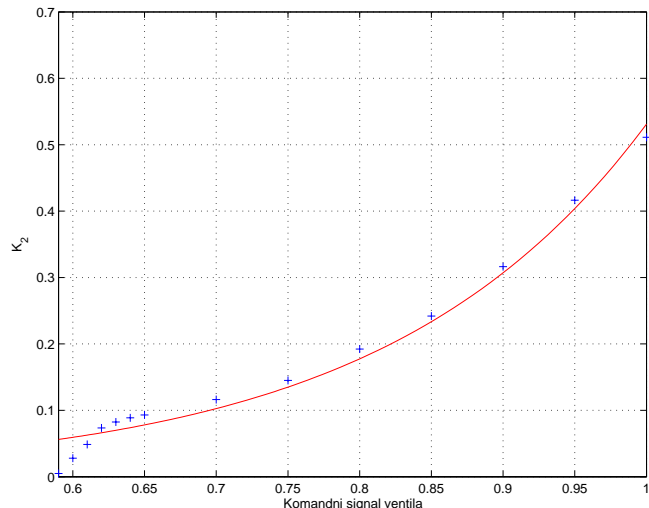
**Tabela 5** Meritve na ventilu  $V_2$  ( $\Phi_2$  in  $h_1$ ) ter izračunani koeficient ventila  $K_2$

$u_2 [\%]$	$\Phi_2 [l/s]$	$h_1 [m]$	$K_2$
1	0,40454	133,98	0.5112
0.95	0,33301	132,32	0.4164
0.9	0,25134	132,32	0.3164
0.85	0,19287	133,3	0.2419
0.8	0,15393	136,33	0.1922
0.75	0,11523	138,96	0.1450
0.7	0,092407	141,89	0.1162
0.65	0,074829	145,07	0.0931
0.64	0,071167	146,58	0.0887
0.63	0,065918	148,73	0.0825
0.62	0,058228	151,56	0.0735
0.61	0,035889	153,86	0.0486
0.6	0,020142	157,71	0.0280
0.59	0,0012207	160,54	0.0049

Krivulja, ki se je po metodi najmanjših kvadratov najbolje prilegala dobljenim meritvam ima enačbo:

$$K_2 = 0.5311 * 239.7^{v_2-1}. \quad (7)$$

Slika 13 prikazuje meritve ter najbolje prilagajočo se krivuljo.

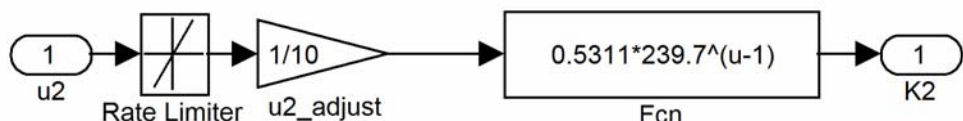


Slika 13 Meritve na ventilu  $V_2$ (+), ter aproksimacijska krivulja (-)

Zopet je prisotno dinamično razmerje med komandnim signalom ventila ter dejansko pozicijo ventila:

$$\dot{v} = \begin{cases} \dot{v}_{\max}, & \dot{u} > \dot{v}_{\max} \\ \dot{v}_{\min}, & \dot{u} < \dot{v}_{\max}, \\ \dot{u}, & \text{sicer} \end{cases} \quad (8)$$

kjer sta  $\dot{v}_{\max} = 0.66s^{-1}$  in  $\dot{v}_{\min} = -0.33s^{-1}$ . MATLAB Simulink shema modela ventila  $V_2$  je na sliki 14. Meritev je prikazana v dodatku C.



Slika 14 MATLAB Simulink model ventila  $V_2$ . Blok "u2\_adjust" prilagodi napetostni signal 0-10 V v signal, ki ga potrebujemo, to je signal v območju 0...1

## 2.2 Pretok vode in zraka skozi injektor

Pretoka zraka ter vode skozi injektor ne moremo direktno meriti, zato ju je potrebno izračunati iz pretokov zraka ter vode na izhodu iz ločevalnika s pomočjo naslednjih enačb:

$$\Phi_w = \Phi_2 + \frac{S_1}{K_F} \cdot \frac{dh_1}{dt} \quad (9)$$

$$\Phi_{air} = \Phi_1 - \frac{p_0 + p_1}{p_0} \cdot \frac{S_1}{K_F} \cdot \frac{dh_1}{dt} \Big|_{p_1=konst.}, \quad (10)$$

kjer je  $K_F$  proporcionalni faktor med enotama  $\text{m}^3/\text{s}$  in  $1/\text{s}$ ,  $S_1$  pa je prečni presek separatorja. Vrednosti obeh pretokov pri štirih različnih hitrostih črpalke ter pri različnih tlakih so podane v tabeli 6.

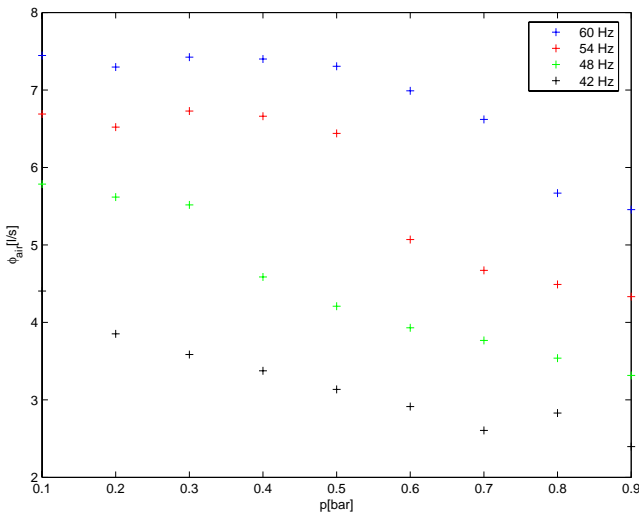
**Tabela 6** Izračunana pretoka zraka ter vode v separator. Izmerjene vrednosti pretokov  $\Phi_1$  in  $\Phi_2$  so vidne na potekih meritev v dodatku D

f [Hz] / p1[bar]	0.9	0.8	0.7	0.6	0.5	0.4	0.3	0.2	0.1	
60	$\Phi_W$	0.2152	0.2152	0.2395	0.2387	0.1822	0.2384	0.2414	0.2292	0.2215
	$\Phi_{air}$	5.4571	5.6690	6.6199	6.9894	7.3062	7.4002	7.4237	7.2963	7.4456
54	$\Phi_W$	0.2206	0.2015	0.2153	0.2429	0.2109	0.2095	0.2245	0.2107	0.2199
	$\Phi_{air}$	4.3331	4.4908	4.6722	5.0699	6.4399	6.6610	6.7284	6.5204	6.6904
48	$\Phi_W$	0.2184	0.2125	0.2199	0.2050	0.2109	0.2145	0.2050	0.2073	0.2125
	$\Phi_{air}$	3.3157	3.5382	3.7679	3.9312	4.2091	4.5868	5.5173	5.6180	5.7859
42	$\Phi_W$	0.2248	0.2140	0.2186	0.2108	0.2199	0.2125	0.2153	0.2111	0.2276
	$\Phi_{air}$	2.3973	2.830	2.6055	2.9143	3.1359	3.3758	3.5849	3.8526	4.4054

Iz rezultatov je jasno vidno, da pretok vode v ločevalnik ni odvisen (oz. je odvisnost zanemarljiva) niti od frekvence črpalke, niti od tlaka v zaprti posodi, zato smo ga v modelu upoštevali kot konstantno vrednost in sicer srednjo vrednost meritev:

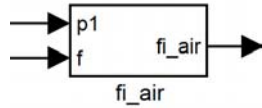
$$\Phi_w = 0.217 \text{ } \cancel{\text{s}}. \quad (11)$$

Vidimo torej, da frekvenca črpalke ne vpliva na količino vode, ki pride v ločevalnik, ima pa vpliv na vstopajoči zračni pretok. To karakteristiko prikazuje slika 15:



**Slika 15** Izračunani pretoki zraka v separator pri različnih frekvencah črpalke in različnih tlakih

Takšno karakteristiko bi lahko modelirali s polinomom višjega reda s spremenljivimi koeficienti, vendar pa je mnogo bolj enostavno, če uporabimo primerjalno tabelo narejeno po tabeli 6 (lookup table), katere Simulink shemo prikazuje slika 16:



**Slika 16** Pretok zraka smo modelirali s primerjalno tabelo

Vse meritve so grafično prikazane v dodatku D.

### 2.3 Zračni tlak v separatorju

Želimo dobiti še diferencialno enačbo za tlak v separatorju. Izhajamo iz enačbe za izotermično spremembo plina:

$$\frac{pV}{m} = rT = \text{konst.}, \quad (12)$$

kjer je  $p$  absolutni tlak ( $p_0 + p_1$ ),  $V$  je volumen plina,  $m$  pa masa plina v ločevalniku. Ker je odvod te enačbe po času enak 0, dobimo:

$$mV \frac{dp}{dt} = pV \frac{dm}{dt} - mp \frac{dV}{dt}. \quad (13)$$

Maso lahko izrazimo kot produkt gostote  $\rho$  ter volumna  $V$ :

$$m = \rho V. \quad (14)$$

Odvod mase plina je proporcionalen razlik med vhodnim in izhodnim pretokom zraka:

$$\frac{dm}{dt} = \rho_0 (\Phi_{air} - \Phi_1) K_F, \quad (15)$$

kjer je  $\rho_0$  oznaka za normalno atmosfersko gostoto zraka. Če vstavimo enačbi (14) in (15) v enačbo (13), ter upoštevamo  $p/p_0 = \rho/\rho_0$  ter  $p = p_0 + p_1$ , dobimo:

$$\frac{dp_1}{dt} = \frac{1}{V} \left[ p_0 (\Phi_{air} - \Phi_1) K_F + (p_0 + p_1) S_1 \frac{dh_1}{dt} \right]. \quad (16)$$

Prostornino plina v zaprti posodi izračunamo po naslednji enačbi:

$$V = S_1 (h_{R1} - h_1), \quad (17)$$

kjer je  $h_{R1} = 2.25\text{m}$  višina zaprte posode.

## 2.4 Nivoja vode v separatorju in rezervoarju

Nivoja vode  $h_1$  in  $h_2$  smo modelirali s pomočjo naslednjih diferencialnih enačb:

$$\frac{dh_1}{dt} = \frac{1}{S_1} (\Phi_w - \Phi_2) K_F \quad (18)$$

$$\frac{dh_2}{dt} = \frac{1}{S_2} (\Phi_2 - \Phi_w) K_F. \quad (19)$$

## 2.5 Nelinearni model

Sedaj še enkrat zapišimo enačbe, ki opisujejo nelinearni model:

Ventil  $V_1$ :

$$K_1 = 53.79 \cdot 34.75^{u_1-1}$$

$$v_1 = \begin{cases} 1, & u_2 > 1 \\ 0, & u_2 < 0, \\ u_1, & \text{sicer} \end{cases} \quad (20)$$

Ventil  $V_2$ :

$$K_2 = 0.5311 * 239.7^{v_2-1}$$

$$v_2 = \begin{cases} 1, & u_2 > 1 \\ 0, & u_2 < 0, \\ u_2, & \text{sicer} \end{cases} \quad (21)$$

Omejitev hitrosti odpiranja/zapiranja ventilov:

$$\dot{v} = \begin{cases} 0.66s^{-1}, & \dot{u} > \dot{v}_{\max} \\ -0.33s^{-1}, & \dot{u} < \dot{v}_{\max}, \\ \dot{u}, & \text{sicer} \end{cases} \quad (22)$$

Zračni pretok skozi  $V_1$ :

$$\Phi_1 = K_1 \sqrt{p_1}, \quad (23)$$

Pretok vode skozi  $V_2$ :

$$\Phi_2 = K_2 \sqrt{p_1 + K_W(h_1 - h_{R2})}, \quad (24)$$

Pritok vode v separator:

$$\Phi_W = 0.217 \frac{\text{m}^3}{\text{s}}, \quad (25)$$

Pritok zraka v separator: Primerjalna tabela po tabeli 6,

Sprememba nivoja v  $R_1$ :

$$\frac{dh_1}{dt} = \frac{1}{S_1} (\Phi_W - \Phi_2) K_F, \quad (26)$$

Sprememba nivoja v  $R_2$ :

$$\frac{dh_2}{dt} = \frac{1}{S_2} (\Phi_2 - \Phi_W) K_F, \quad (27)$$

Sprememba tlaka v  $R_1$ :

$$\frac{dp_1}{dt} = \frac{1}{V} \left[ p_0 (\Phi_{air} - \Phi_1) K_F + (p_0 + p_1) S_1 \frac{dh_1}{dt} \right], \quad (28)$$

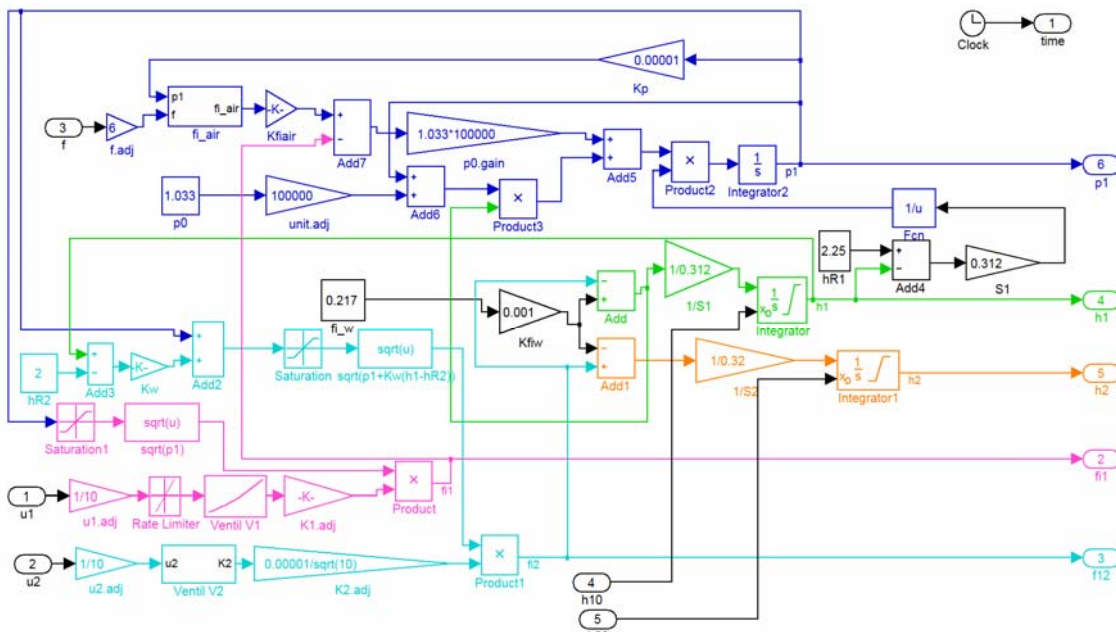
Volumen zraka v  $R_1$ :

$$V = S_1(h_{R1} - h_1), \quad (29)$$

Prečna preseka posod  $R_1$  in  $R_2$ :

$$\begin{aligned} S_1 &= 0.312m^2 \\ S_2 &= 0.32m^2 \end{aligned} \quad (30)$$

MATLAB Simulink shemo nelinearnega modela prikazuje slika 17:



$$A(q)y(t) = B(q)u(t) + e(t) \quad (31)$$

kjer sta  $A(q)$  in  $B(q)$  polinoma prvega reda oblike:

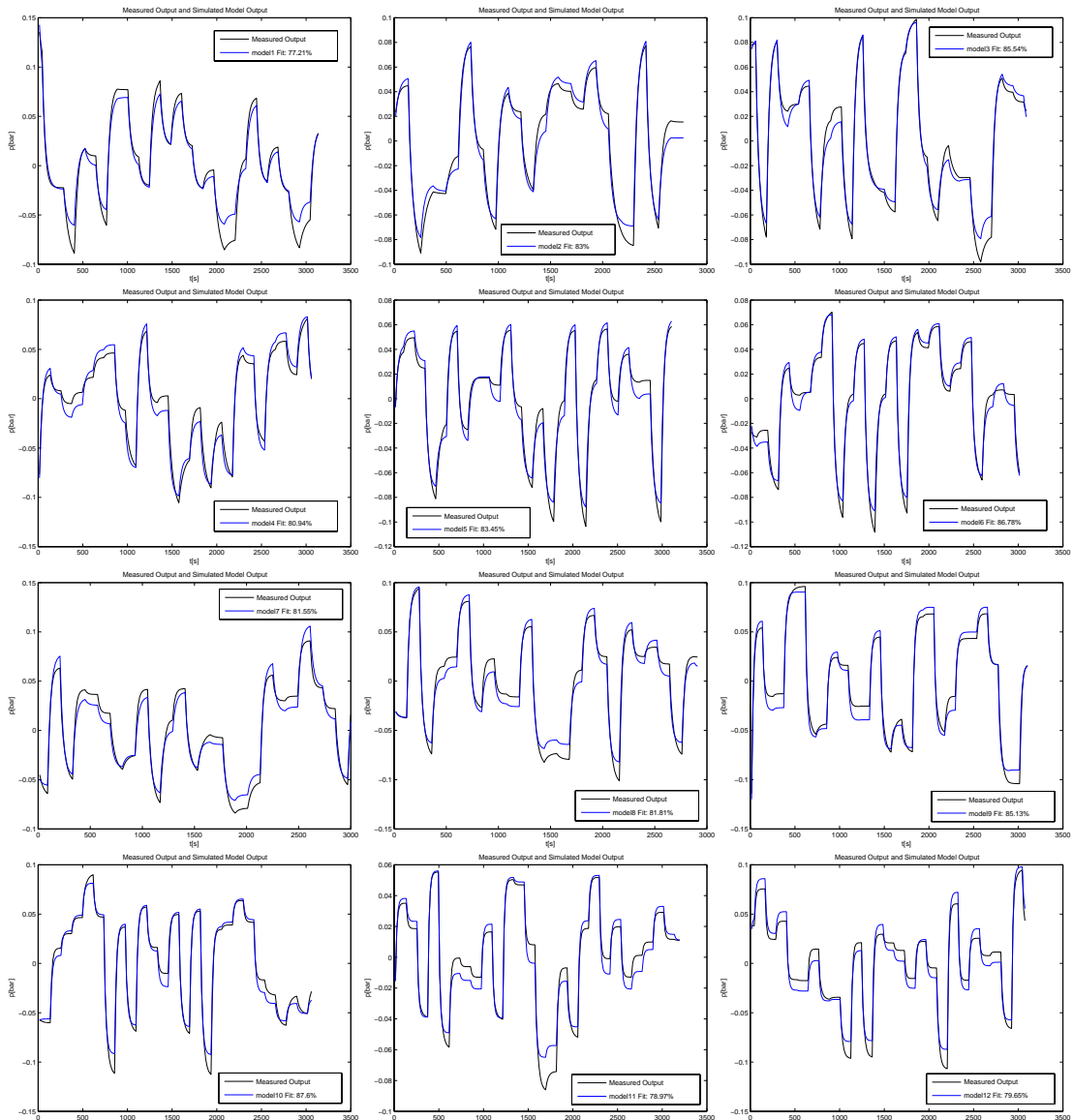
$$\begin{aligned} A(q) &= 1 - a_1 q^{-1}, \\ B(q) &= -b_1 q^{-1} \end{aligned} \quad (32)$$

ki imata različne parametre  $a_1$  in  $b_1$  za različne nivoje vode v  $R_I$ . Vrednosti teh parametrov so podane v tabeli 7:

**Tabela 7** Parametra  $a_1$  in  $b_1$  za lokalne linearizirane modele pri različnih nivojih vode v  $R_I$

h1 [m]	$a_1$	$b_1$
0.4	-0,66077	-0,042048
0.5	-0,64621	-0,053739
0.6	-0,64557	-0,053395
0.7	-0,59261	-0,065547
0.8	-0,5901	-0,061774
0.9	-0,54143	-0,066668
1	-0,58981	-0,069207
1.1	-0,51436	-0,07464
1.2	-0,45558	-0,086499
1.3	-0,44956	-0,081708
1.4	-0,36377	-0,086309
1.5	-0,37681	-0,098958

Primerjava odzivov nelinearnega modela in lokalnih lineariziranih modelov je prikazana na sliki 18:



**Slika 18** Od leve proti desni in od zgoraj navzdol:  $h_l=0.4$  m,  $h_l=0.5$  m,  $h_l=0.6$  m,  $h_l=0.7$  m,  $h_l=0.8$  m  
 $h_l=0.9$  m,  $h_l=1$  m,  $h_l=1.1$  m,  $h_l=1.2$  m,  $h_l=1.3$  m,  $h_l=1.4$  m,  $h_l=1.5$  m

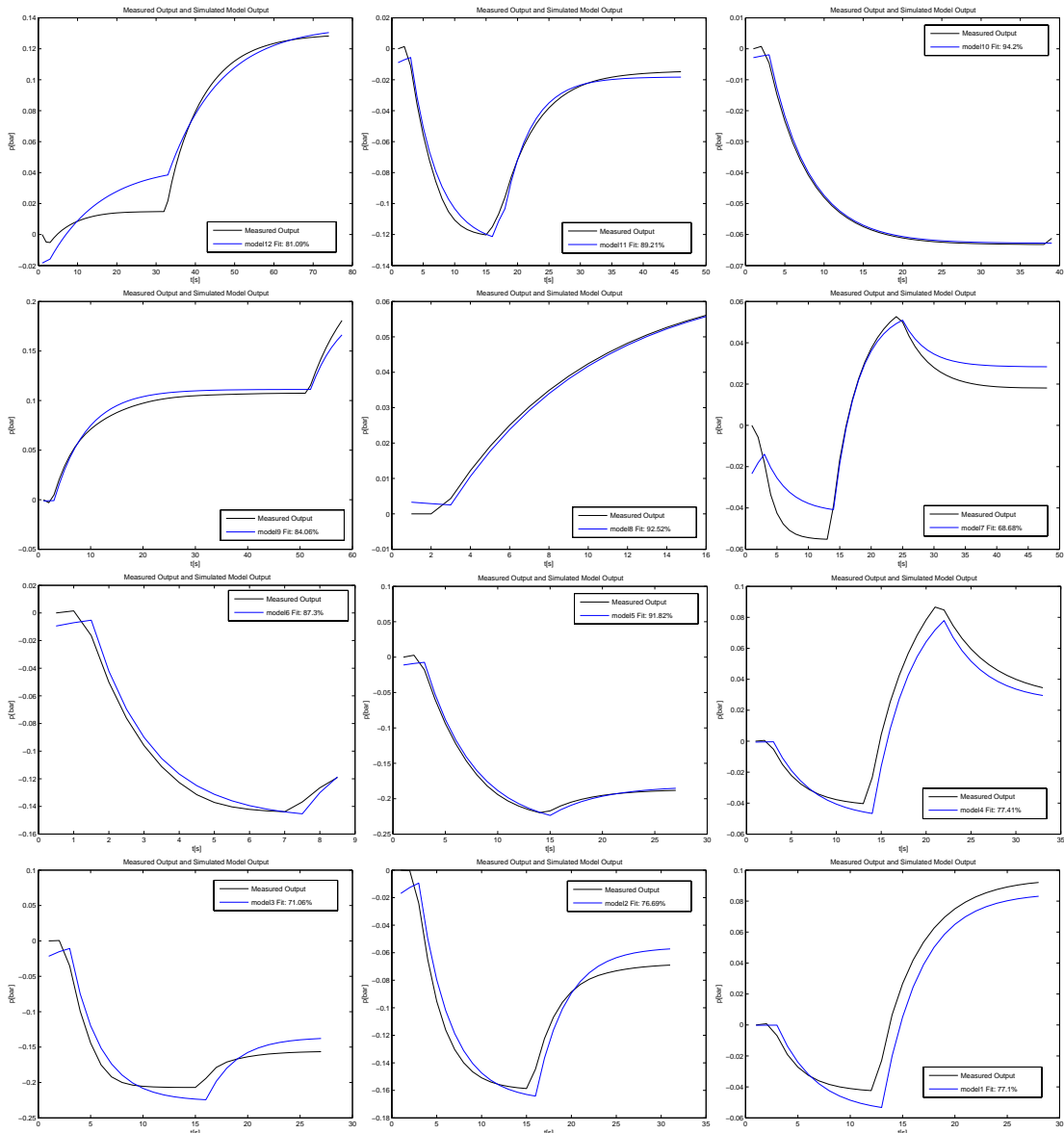
## 2.6.2 Izpeljava iz meritev realne naprave

Tokrat smo diskrete modele poskušali identificirati iz vhodov ter izhodov realne naprave. Parametra  $a_l$  in  $b_l$  za posamezne lokalizirane modele sta podana v tabeli 8:

**Tabela 8** Parametra  $a_l$  in  $b_l$  za lokalne linearizirane modele pri različnih nivojih vode v  $R_l$

h1 [m]	$a_l$	$b_l$
0.4	-0,92814	-0,16171
0.5	-0,79315	-0,37627
0.6	-0,82222	-0,37239
0.7	-0,85117	-0,33007
0.8	-0,87551	-0,4186
0.9	-0,77221	-0,32251
1	-0,7444	-0,54611
1.1	-0,81056	-0,57424
1.2	-0,79407	-0,52158
1.3	-0,70318	-0,67263
1.4	-0,74594	-0,70997
1.5	-0,76074	-0,68133

Primerjava odzivov realne naprave in lokalnih lineariziranih modelov je prikazana na sliki 19:



**Slika 19** Od leve proti desni in od zgoraj navzdol:  $h_l=0.4$  m,  $h_l=0.5$  m,  $h_l=0.6$  m,  $h_l=0.7$  m,  $h_l=0.8$  m,  $h_l=0.9$  m,  $h_l=1$  m,  $h_l=1.1$  m,  $h_l=1.2$  m,  $h_l=1.3$  m,  $h_l=1.4$  m,  $h_l=1.5$  m

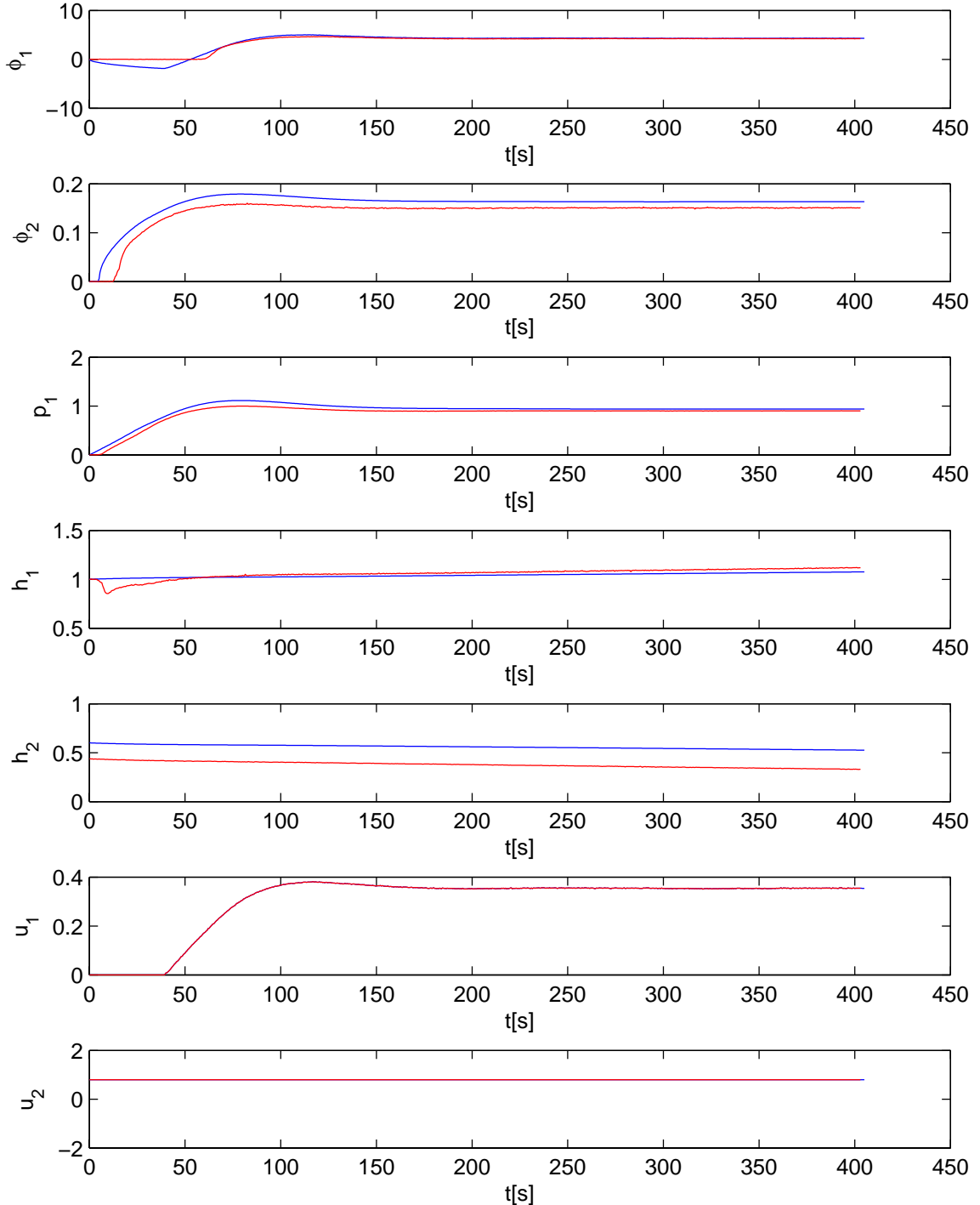
### 3. Validacija dinamičnega modela

#### 3.1 Verifikacija statičnih razmer

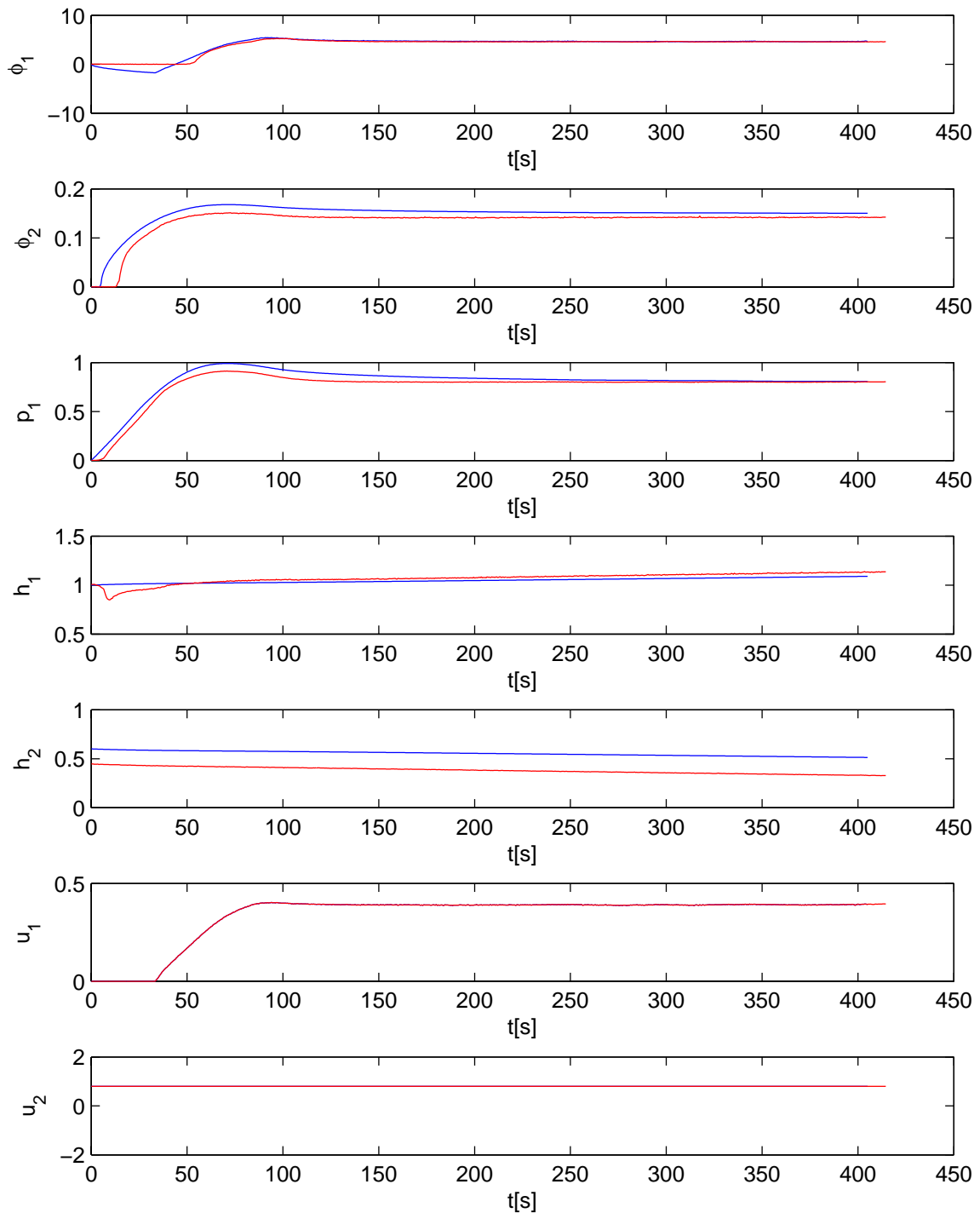
Najprej je bilo treba preveriti statične razmere. Gre za odprtovančni preizkus, kjer v modelu uporabimo enaka komandna signala za ventila<sup>4</sup> kot smo ju uporabili pri regulaciji

<sup>4</sup> Frekvenca na črpalki je  $f = 54$  Hz

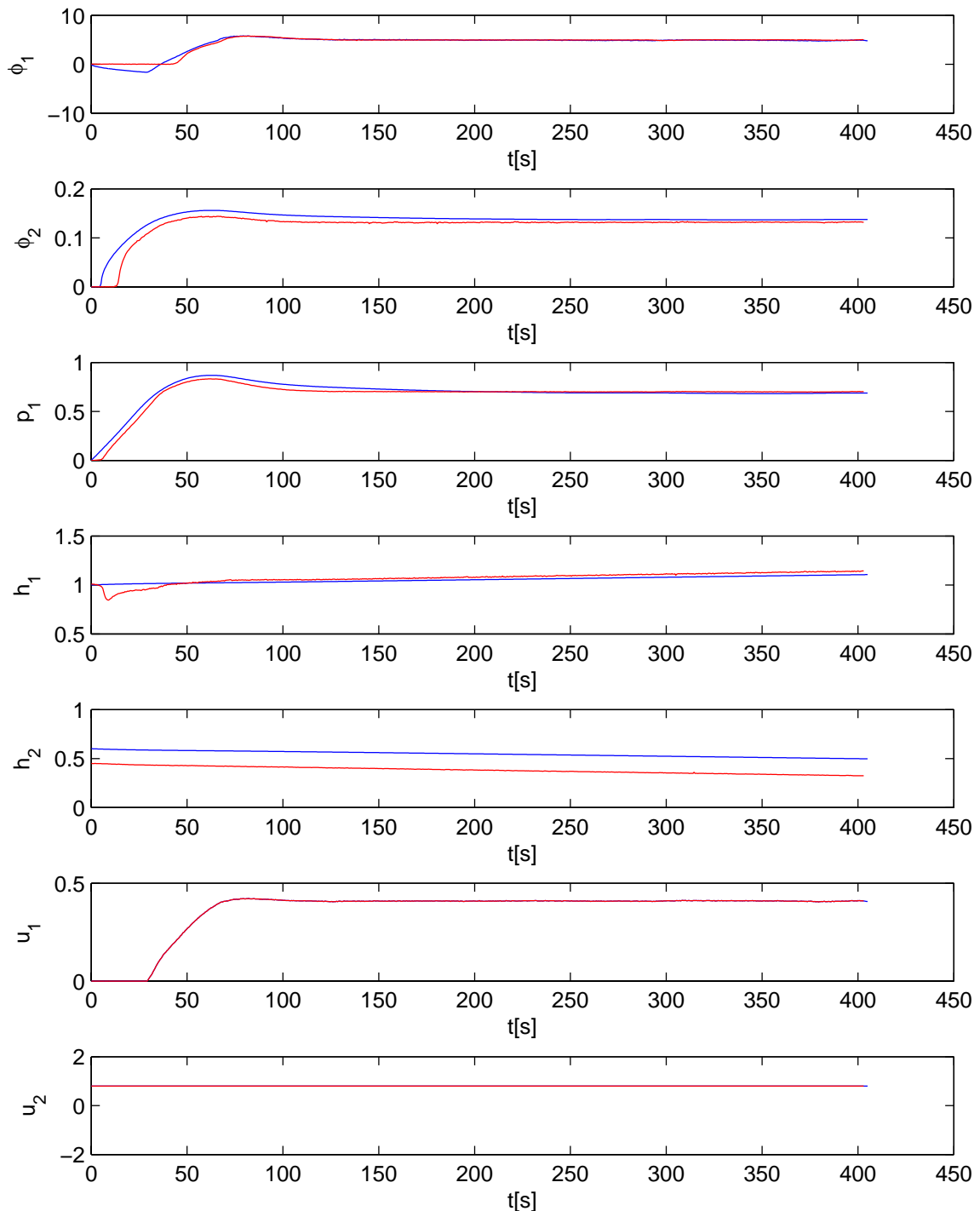
tlaka v realnem procesu, ter primerjamo veličine v modelu in procesu. Rezultate vidimo na slikah 18 do 26:



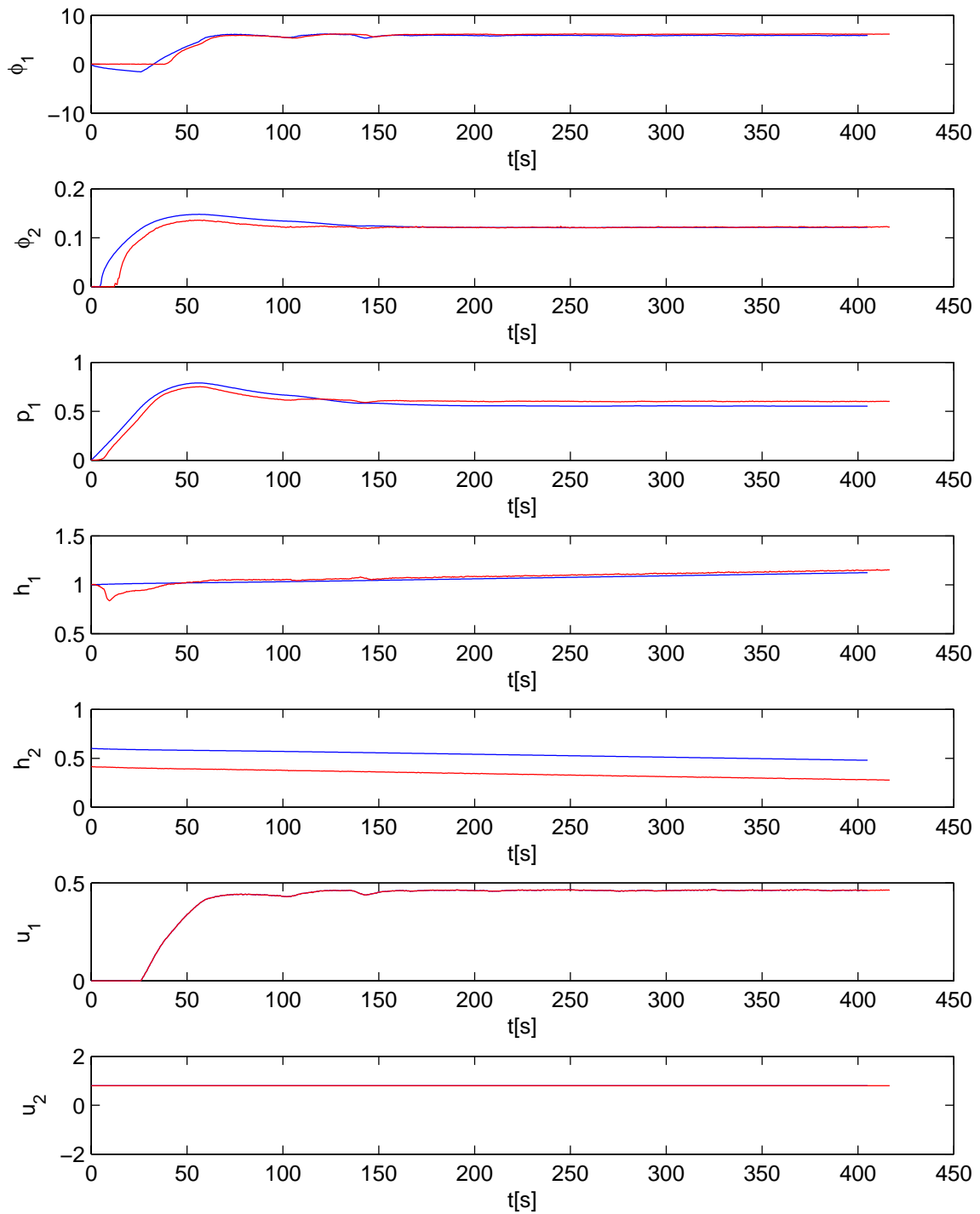
**Slika 20** Na grafu si od zgoraj navzdol sledijo naslednje veličine: pretok zraka skozi  $V_1$ , pretok vode skozi  $V_2$ , tlak  $p$ , v ločevalniku, nivo v ločevalniku, nivo v rezervoarju, komandni signal  $u_1$  ter komandni signal  $u_2$ . Z rdečo barvo so označeni signali procesa, z modro pa signali modela



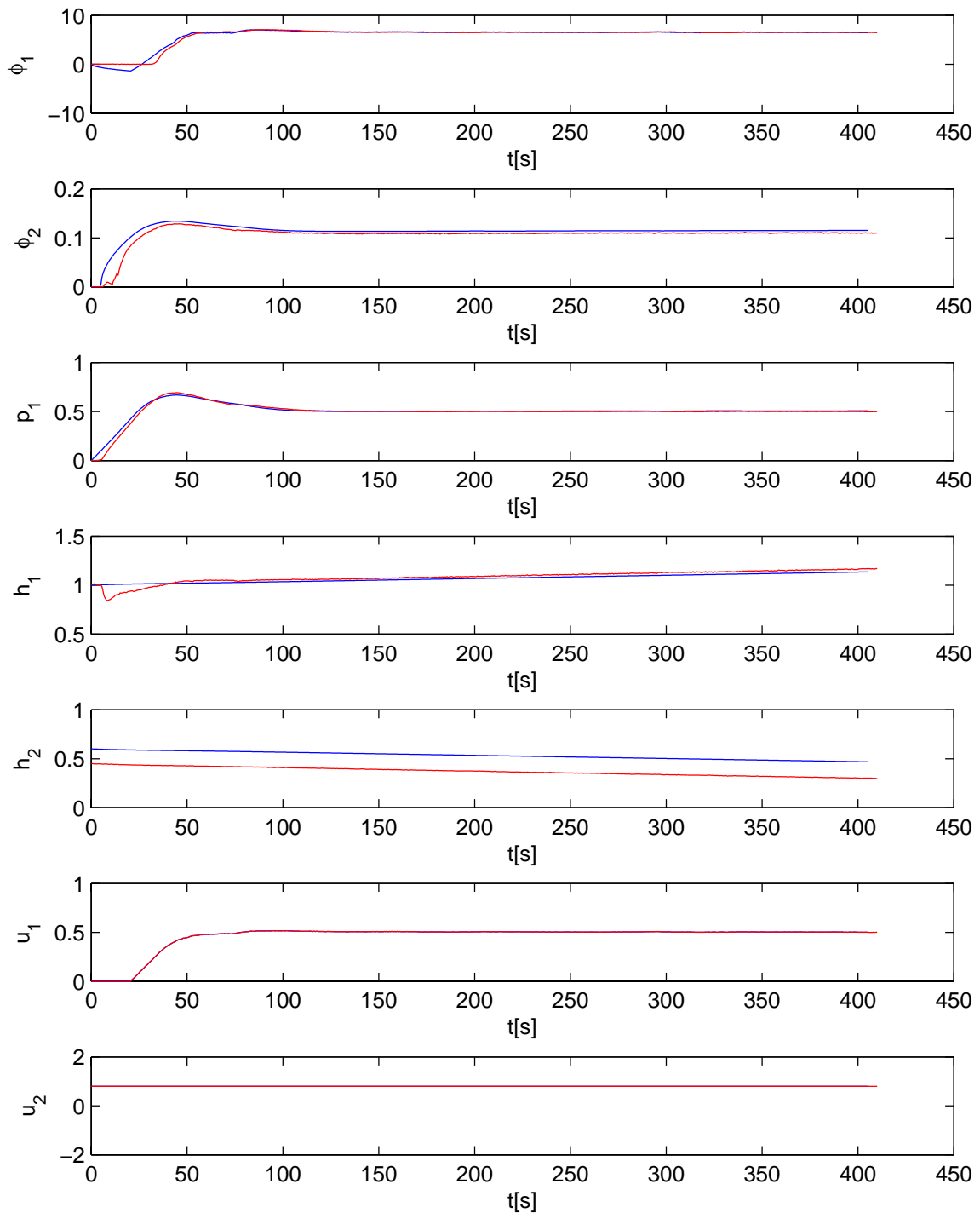
**Slika 21** Na grafu si od zgoraj navzdol sledijo naslednje veličine: pretok zraka skozi  $V_1$ , pretok vode skozi  $V_2$ , tlak  $p_1$  v ločevalniku, nivo v ločevalniku, nivo v rezervoarju, komandni signal  $u_1$  ter komandni signal  $u_2$ . Z rdečo barvo so označeni signali procesa, z modro pa signali modela



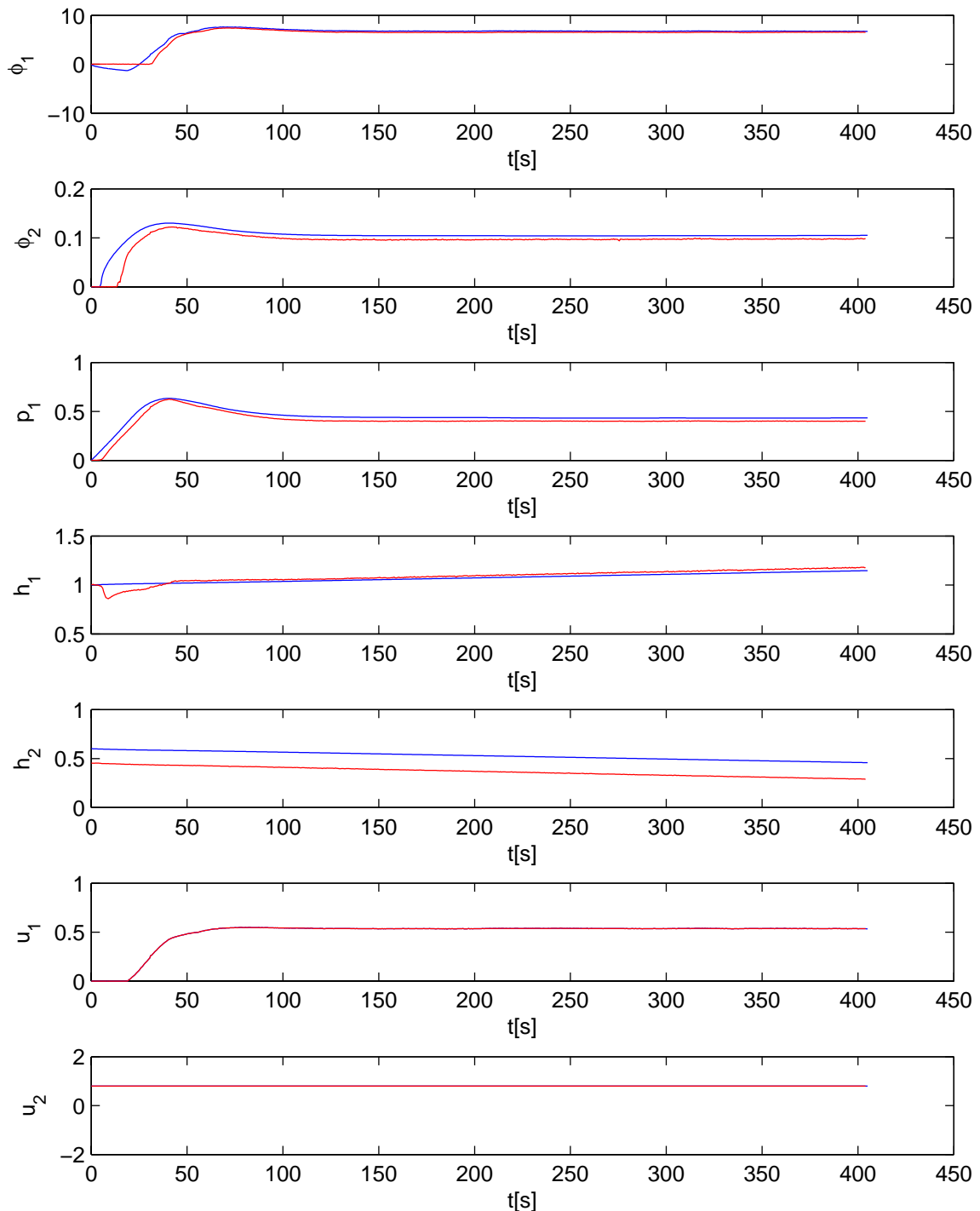
**Slika 22** Na grafu si od zgoraj navzdol sledijo naslednje veličine: pretok zraka skozi  $V_1$ , pretok vode skozi  $V_2$ , tlak  $p_1$  v ločevalniku, nivo v ločevalniku, nivo v rezervoarju, komandni signal  $u_1$  ter komandni signal  $u_2$ . Z rdečo barvo so označeni signali procesa, z modro pa signali modela



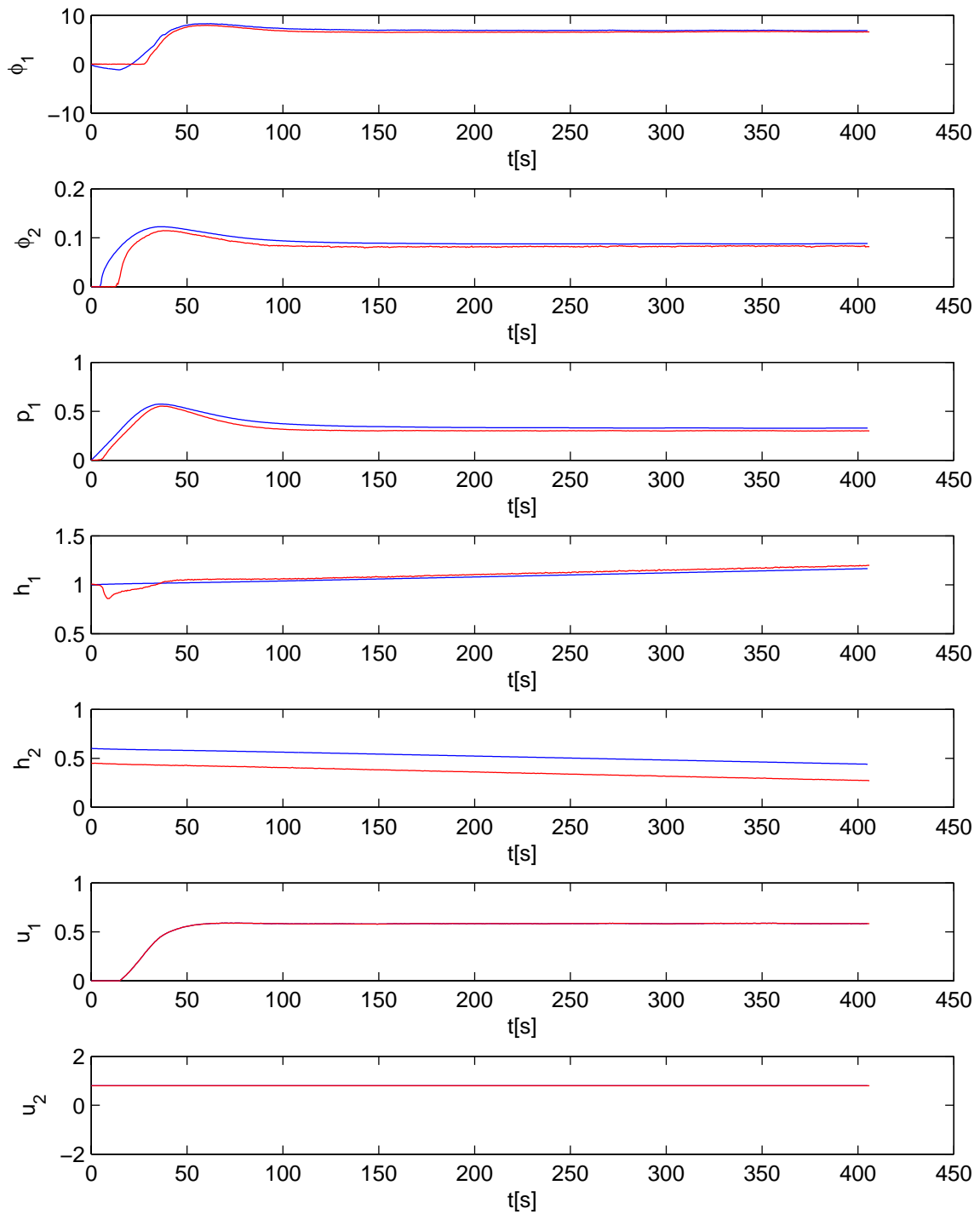
**Slika 23** Na grafu si od zgoraj navzdol sledijo naslednje veličine: pretok zraka skozi  $V_1$ , pretok vode skozi  $V_2$ , tlak  $p_1$  v ločevalniku, nivo v ločevalniku, nivo v rezervoarju, komandni signal  $u_1$  ter komandni signal  $u_2$ . Z rdečo barvo so označeni signali procesa, z modro pa signali modela



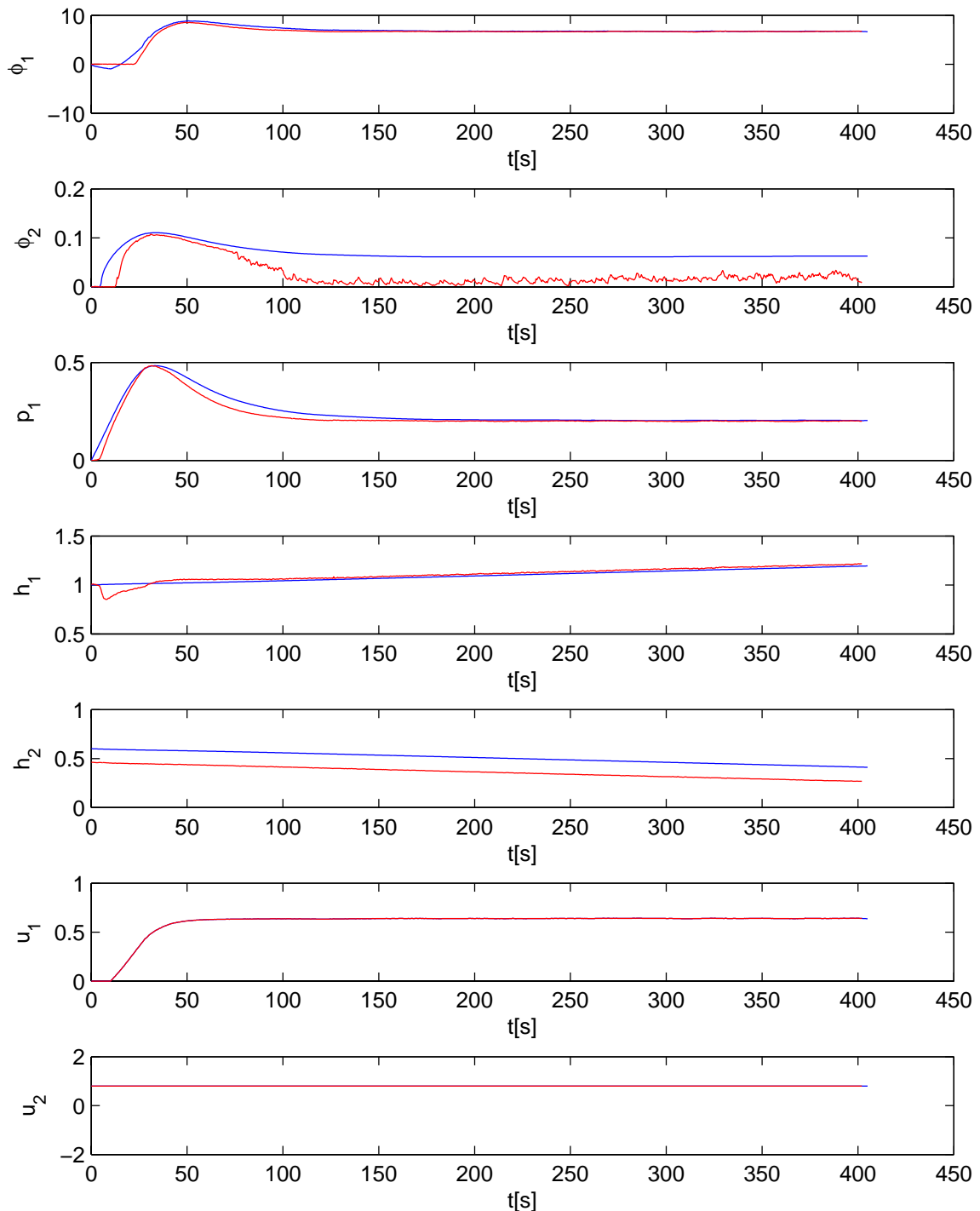
**Slika 24** Na grafu si od zgoraj navzdol sledijo naslednje veličine: pretok zraka skozi  $V_1$ , pretok vode skozi  $V_2$ , tlak  $p_1$  v ločevalniku, nivo v ločevalniku, nivo v rezervoarju, komandni signal  $u_1$  ter komandni signal  $u_2$ . Z rdečo barvo so označeni signali procesa, z modro pa signali modela



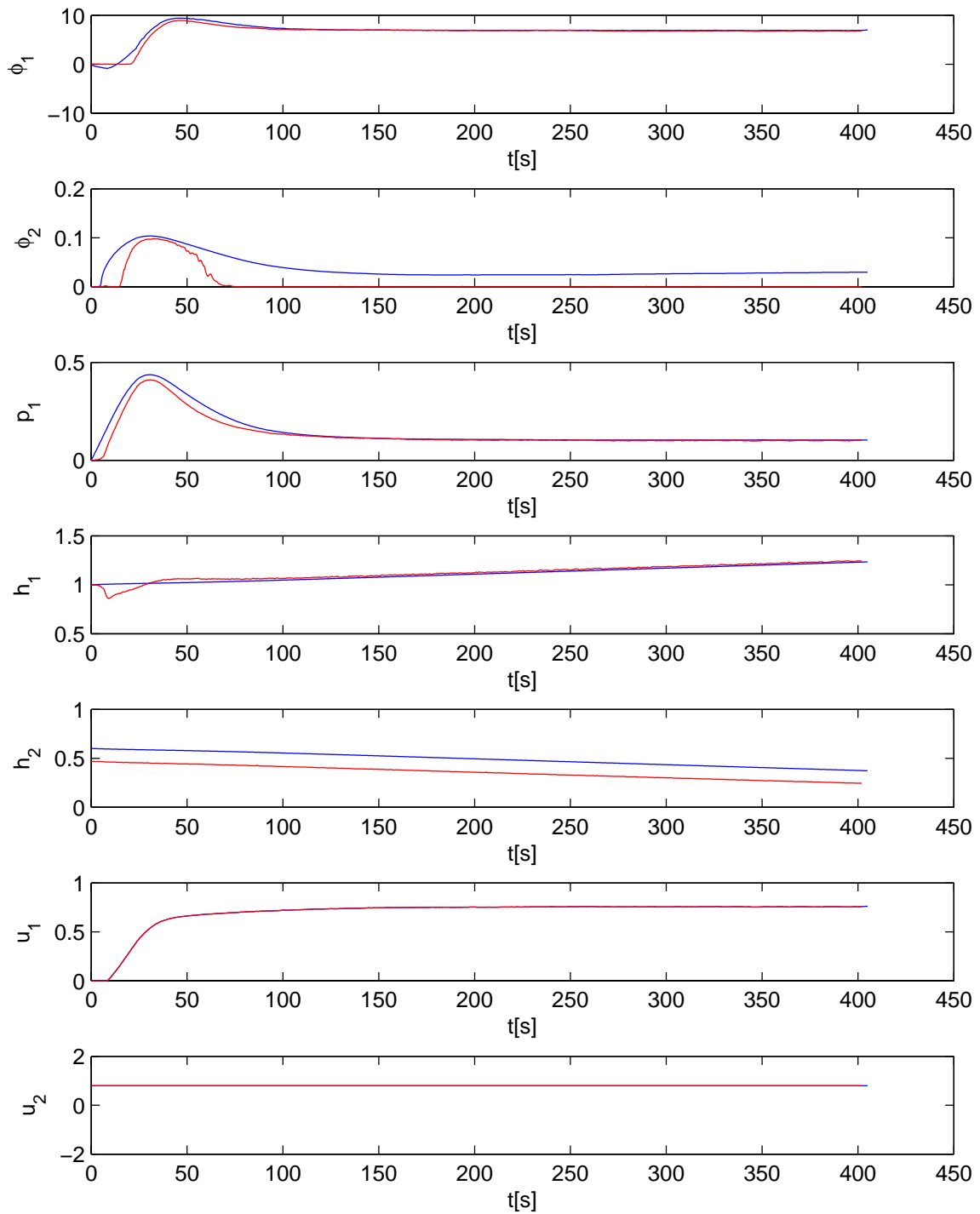
**Slika 25** Na grafu si od zgoraj navzdol sledijo naslednje veličine: pretok zraka skozi  $V_1$ , pretok vode skozi  $V_2$ , tlak  $p_1$  v ločevalniku, nivo v ločevalniku, nivo v rezervoarju, komandni signal  $u_1$  ter komandni signal  $u_2$ . Z rdečo barvo so označeni signali procesa, z modro pa signali modela



**Slika 26** Na grafu si od zgoraj navzdol sledijo naslednje veličine: pretok zraka skozi  $V_1$ , pretok vode skozi  $V_2$ , tlak  $p_1$  v ločevalniku, nivo v ločevalniku, nivo v rezervoarju, komandni signal  $u_1$  ter komandni signal  $u_2$ . Z rdečo barvo so označeni signali procesa, z modro pa signali modela



**Slika 27** Na grafu si od zgoraj navzdol sledijo naslednje veličine: pretok zraka skozi  $V_1$ , pretok vode skozi  $V_2$ , tlak  $p_1$  v ločevalniku, nivo v ločevalniku, nivo v rezervoarju, komandni signal  $u_1$  ter komandni signal  $u_2$ . Z rdečo barvo so označeni signali procesa, z modro pa signali modela



**Slika 28** Na grafu si od zgoraj navzdol sledijo naslednje veličine: pretok zraka skozi  $V_1$ , pretok vode skozi  $V_2$ , tlak  $p_1$  v ločevalniku, nivo v ločevalniku, nivo v rezervoarju, komandni signal  $u_1$  ter komandni signal  $u_2$ . Z rdečo barvo so označeni signali procesa, z modro pa signali modela

Opazimo lahko nenavaden prehodni pojav pri poteku nivoja vode ( $h_1$ ) v ločevalniku. Ta pojav je verjetno posledica zračnega mehurčka v cevi negativne sponke merilnika nivoja v  $R_1$ . Ko zaženemo proces se mehurček najprej močno skrči, kar rezultira v napačnem

kazanju nivoja. Ko prehodni pojav mine (tlak se ustali), mehurček več ne vpliva na meritnik nivoja, zato le ta deluje pravilno v ustaljenem stanju.

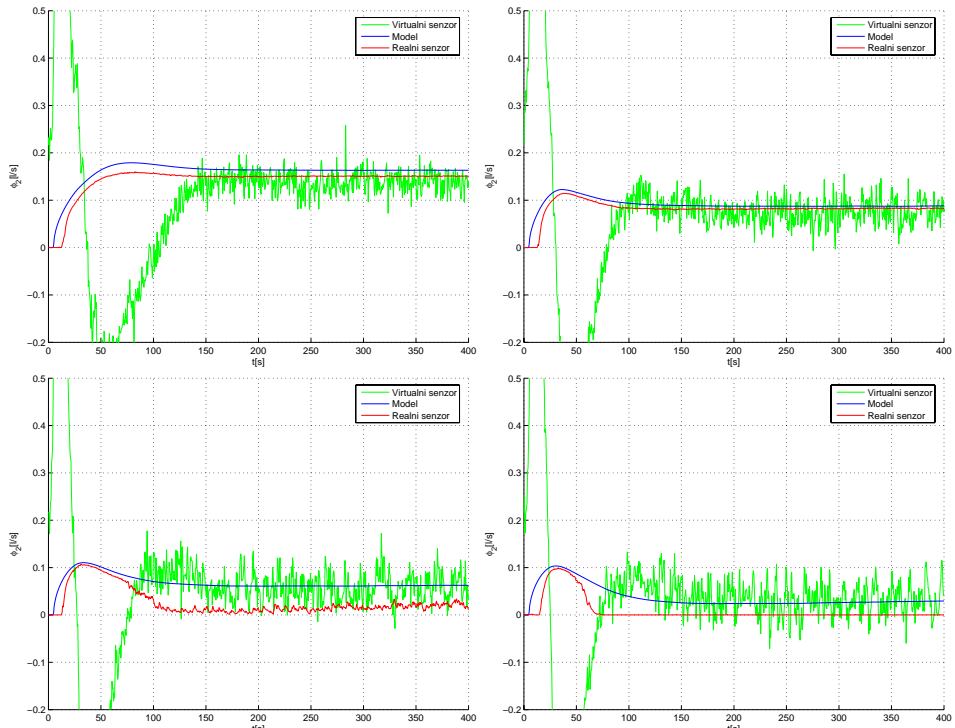
Vidimo, da se vse veličine iz modela dobro ujemajo z realnimi, z izjemo pretoka vode  $\Phi_2$ , ter nivoja v rezervoarju  $R_2$ .

Neujemanje nivoja v  $R_2$  je namerno, saj smo model nastavili tako, da so možni tudi dolgi eksperimenti, kjer lahko v shranjevalnik  $R_2$  doteče oz. odteče več vode kot v realnih razmerah. Npr. če bi želeli izvesti eksperiment, kjer iz shranjevalnika v ločevalnik odteče 1 m vode, to v realnem procesu ne bi bilo možno brez dotakanja (ventil  $V_5$ ) vode v  $R_2$ .

Predvidevali smo, da vzrok neujemanja pretoka vode v modelu in procesu leži v procesu samem in sicer v napaki na meritniku pretoka. Da bi to preverili, smo uporabili virtualni senzor pretoka po enačbi:

$$\Phi_2 = \Phi_W - S_1 \dot{h}_1. \quad (33)$$

Nivo  $h_1$  v zgornji enačbi smo vzeli iz meritev, tako da bi se izračunani pretok moral ujemati z realnim, če bi senzor deloval brezhibno. Dejanske razmere prikazuje slika 27:

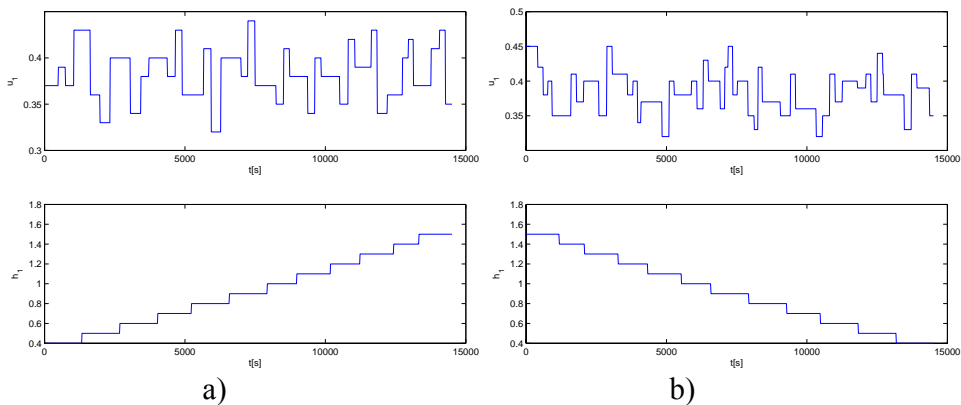


**Slika 29** Prehodni pojav pri virtualnem senzorju (zelena krivulja) je posledica tega, da je pretok izračunan iz nivoja (oz. odvoda nivoja) v realnem procesu, ki ima prav tako značilen prehodni pojav, kot je vidno na slikah 18 do 26. Zgoraj levo je meritev pri tlaku  $p_l=0.9$  bar, zgoraj desno pri  $p_l=0.3$  bar, spodaj levo pri  $p_l=0.2$  bar ter spodaj desno pri  $p_l=0.1$  bar.

Vidimo, da senzor pretoka pri nizkih pretokih ne kaže pravilno, kar pojasni neskladnosti med modelom in procesom. Popravila samega senzorja se zaenkrat nismo lotili, saj napaka v pretoku zanemarljivo (prek nivoja  $h_1$ , ki pa ima veliko časovno konstanto) vpliva na statične razmere drugih veličin (slike 20 do 28).

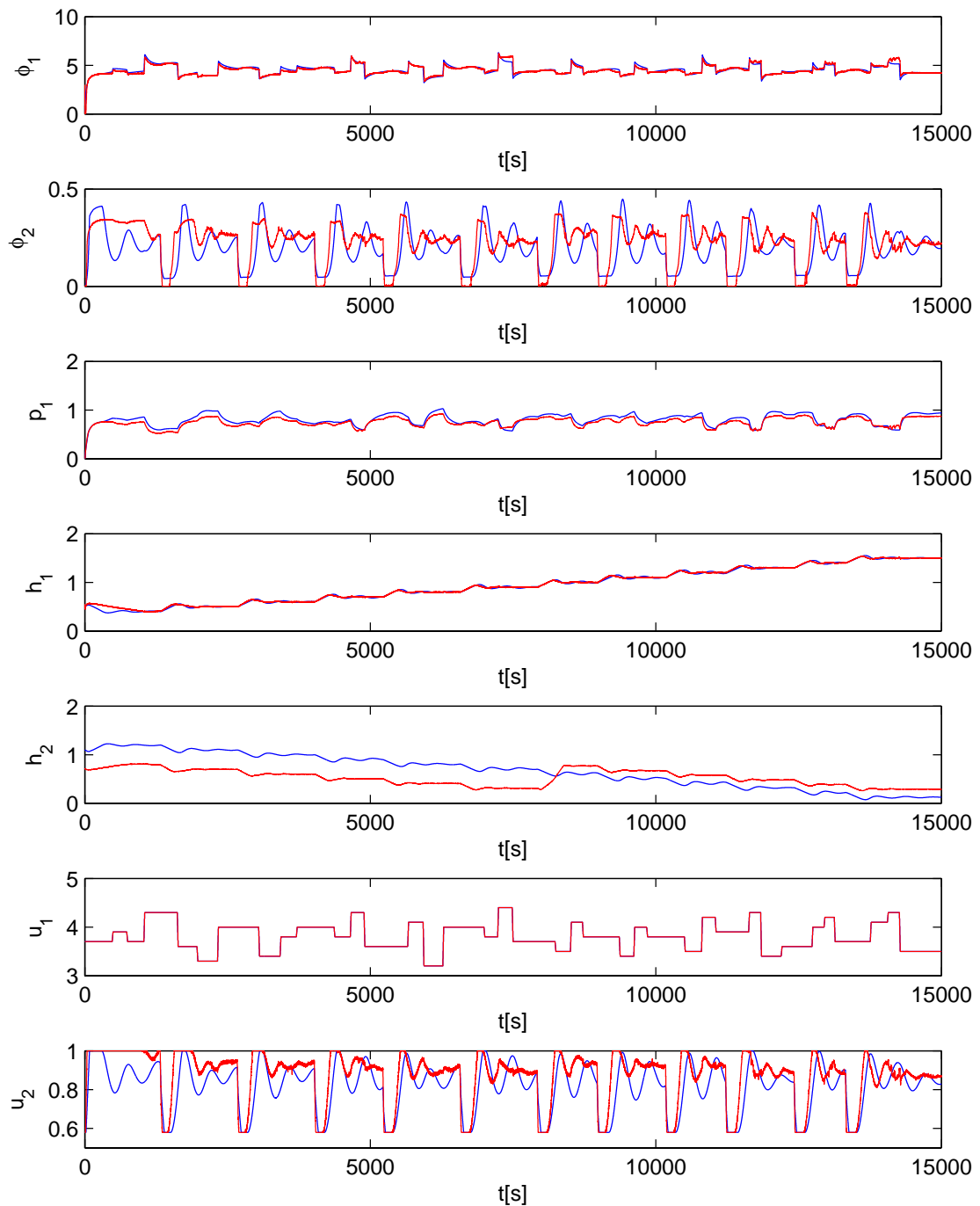
### 3.2 Validacija dinamičnih razmer

Za preverjanje dinamike smo izbrali zaprtozančni preizkus signali, ki jih prikazuje slika 30:

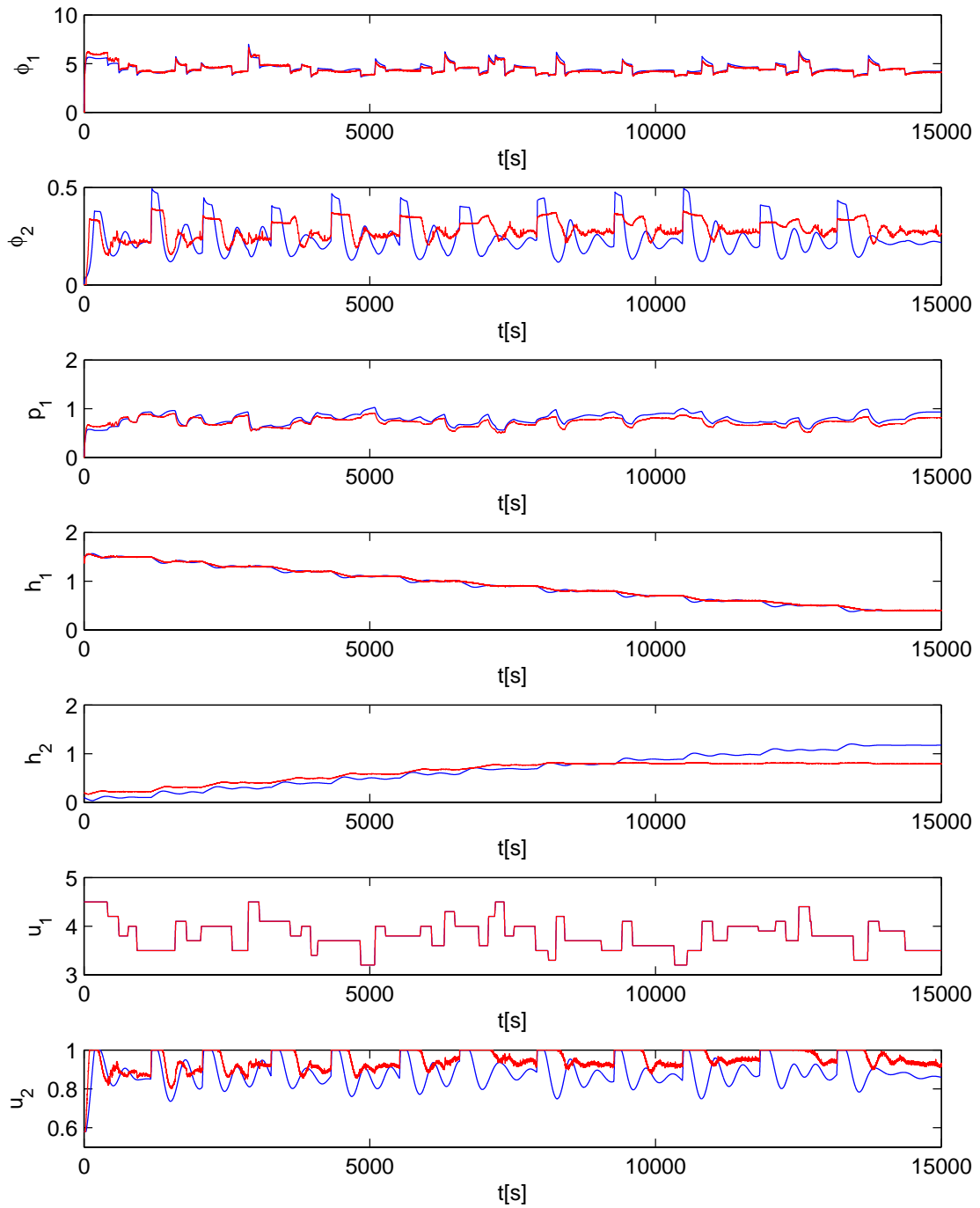


**Slika 30** Validacijska signalna podjetja: regulacija nivoja  $h_1$ , ter naključne spremembe  $u_1$ . Frekvenca črpalk je bila fiksna  $f=54$  Hz.

Odzive modela in procesa na validacijska signala vidimo na slikah 31 in 32:



**Slika 31** Na grafu si od zgoraj navzdol sledijo naslednje veličine: pretok zraka skozi  $V_1$ , pretok vode skozi  $V_2$ , tlak  $p_1$  v ločevalniku, nivo v ločevalniku, nivo v rezervoarju, komandni signal  $u_1$  ter komandni signal  $u_2$ . Z rdečo barvo so označeni signali procesa, z modro pa signali modela

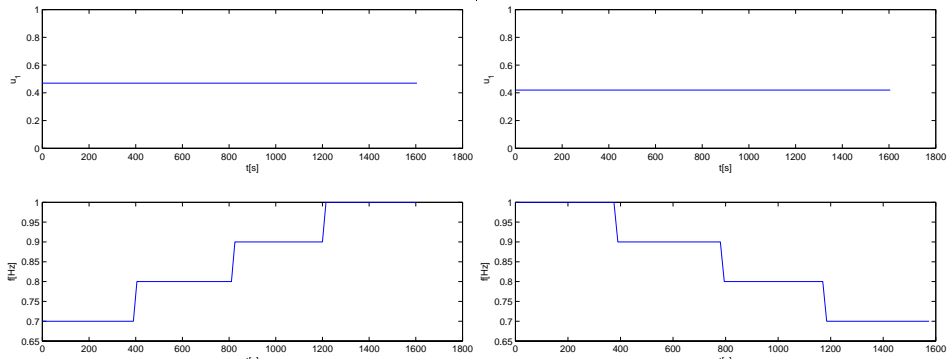


**Slika 32** Na grafu si od zgoraj navzdol sledijo naslednje veličine: pretok zraka skozi  $V_1$ , pretok vode skozi  $V_2$ , tlak  $p_1$  v ločevalniku, nivo v ločevalniku, nivo v rezervoarju, komandni signal  $u_1$  ter komandni signal  $u_2$ . Z rdečo barvo so označeni signali procesa, z modro pa signali modela

Odstopanje modela od procesa je majhno, razen v primeru pretoka skozi ventil  $V_2$  in v primeru nivoja  $h_2$ . Prvi primer je, kot že rečeno, posledica slabo delujočega meritnika, drugi primer pa je posledica (pre)majhnosti shranjevalnika  $R_2$  (Kot vidimo na sliki 31)

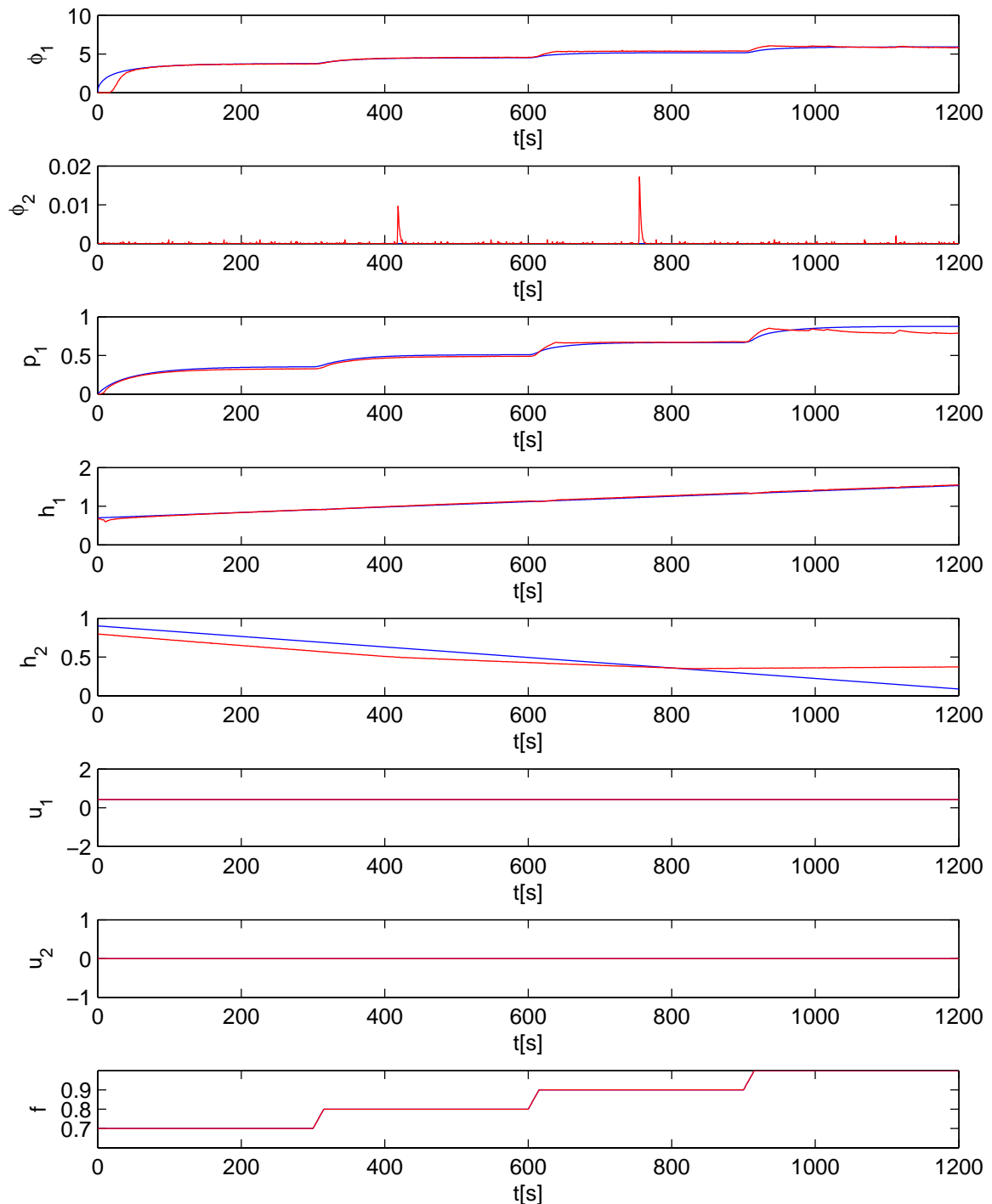
smo morali v realnem primeru v  $R_2$  dotočiti vodo; pri drugi validaciji (slika 32) pa smo vodo odtakali ko je dosegla maksimalni nivo).

Nazadnje je bilo le še potrebno preveriti model pri spremjanju frekvence na črpalki. Vhodna signala prikazuje slika 33:

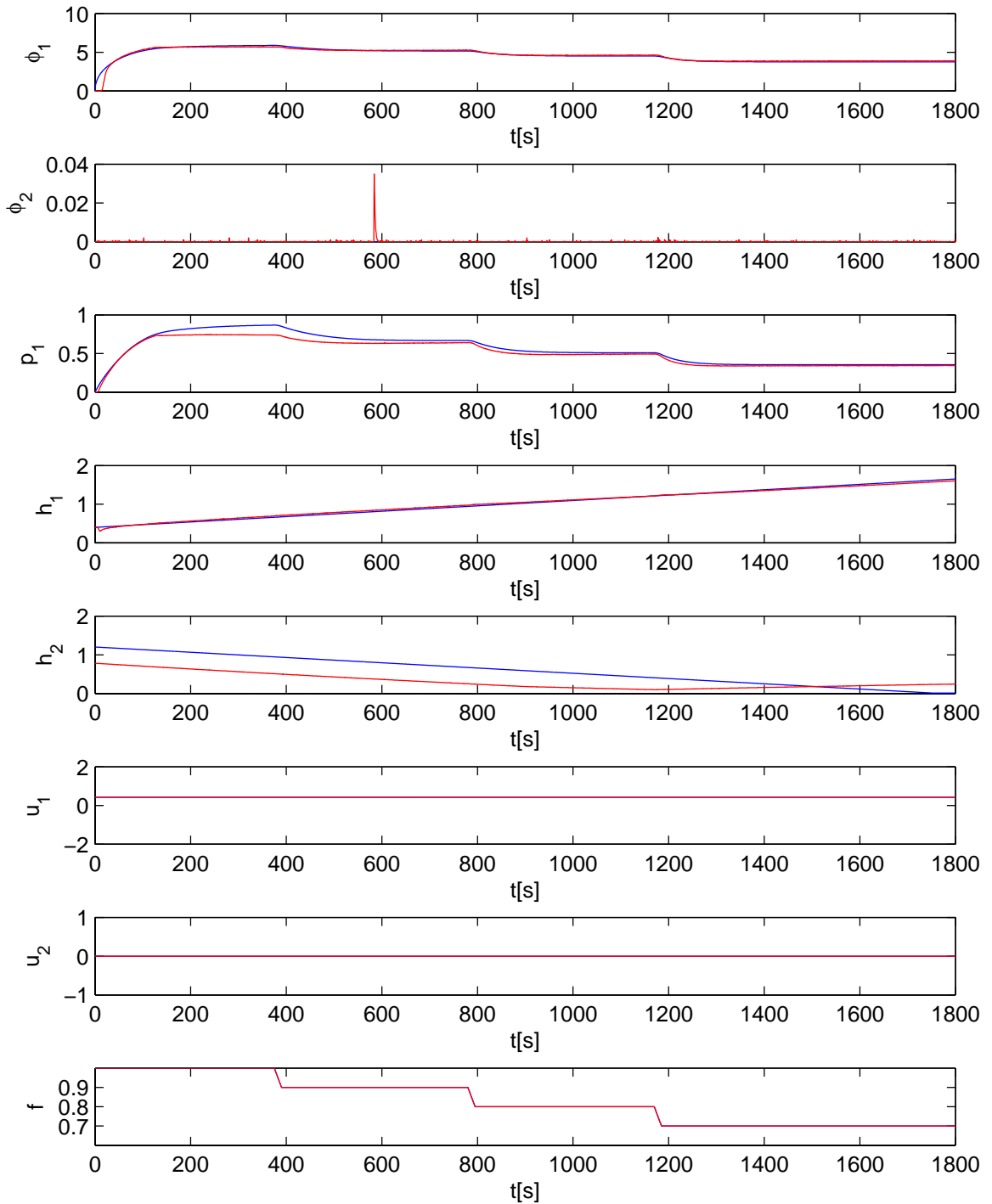


**Slika 33** Validacijska signala; konstantna vrednost  $u_1$  ter spremenljajoča se frekvenca. Ventil  $V_2$  je bil zaprt ( $u_2=0$ )

Odziva na zgornja signala prikazujeta sliki 34 ter 35:



**Slika 34** Na grafu si od zgoraj navzdol sledijo naslednje veličine: pretok zraka skozi  $V_1$ , pretok vode skozi  $V_2$ , tlak  $p$ , v ločevalniku, nivo v ločevalniku  $h_1$ , nivo v rezervoarju  $h_2$ , komandni signal  $u_1$ , komandni signal  $u_2$  ter frekvenca  $f$ . Z rdečo barvo so označeni signali procesa, z modro pa signali modela



**Slika 35** Na grafu si od zgoraj navzdol sledijo naslednje veličine: pretok zraka skozi  $V_1$ , pretok vode skozi  $V_2$ , tlak  $p_f$  v ločevalniku, nivo v ločevalniku  $h_1$ , nivo v rezervoarju  $h_2$ , komandni signal  $u_1$ , komandni signal  $u_2$  ter frekvencu  $f$ . Z rdečo barvo so označeni signali procesa, z modro pa signali modela

Vidimo, da smo tudi tokrat dobili zadovoljive rezultate, edina odstopanja se pojavijo pri višjih tlakih ter frekvencah. Za te neskladnosti predvidevamo, da se pojavijo kot posledica nemodelirane dinamike.

## 4. Zaključek

Pridobili smo model procesa ločevanja vode in plina, ki zadovoljivo deluje za tlak  $p_1$  ter izhodni pretok zraka  $\Phi_1$ , česar pa ne moremo trditi za izhodni pretok vode  $\Phi_2$ , kar je posledica slabo delajočega senzorja, česar pa se z modeliranjem samim ne da odpraviti. Če bi želeli bolj natančen model, bi bilo torej najprej potrebno popraviti oz. zamenjati merilnik pretoka ( $FT2$ ) na realni napravi.

Tudi merilnik nivoja v  $R_1$  ne deluje brezhibno, kar se odraža v izredno močnem prehodnem pojavu poteka nivoja v separatorju. Predvidevali smo, da je vzrok v zračnem mehurčku v negativni sponki merilnika. Omenjeni prehodni pojav bi lahko zelo omiliли ali pa skoraj povsem izničili, samo z odzračenjem dotičnega merilnika.

Uporabljena črpalka je že precej stara, tako da puščanje ni zanemarljivo (vendar pa tudi ne preveč moteče za samo vodenja procesa). Večji problem je, da je črpalka narejena predvsem za prečrpavanje plinov, kar ima za posledico moteč dejavnik, da je pritok vode v  $R_1$  povsem neodvisen od hitrosti črpalke. Tako se z višanjem/nižanjem frekvence črpalke veča/manjša le pritok zraka (plina) v ločevalnik. Moje mnenje je, da bi bilo potrebno črpalko zamenjati.

Manjši problem je tudi z dotokom vode v črpalko. Kljub temu da je proces "avtomatiziran", je namreč potrebno ob vsakem zagonu ročno odpreti dotok vode v črpalko, ter ga po zagonu tudi ročno zapreti. To pomeni, da mora operater dvakrat vstati ter na drugem koncu laboratorija odpreti pipo. Če nič drugega, mu to onemogoči direktno opazovanje prehodnega pojava. Predlagal bi avtomatizacijo pipe tako, da bi ob vsakem zagonu procesa voda pritekla v črpalko brez posredovanja operaterja.

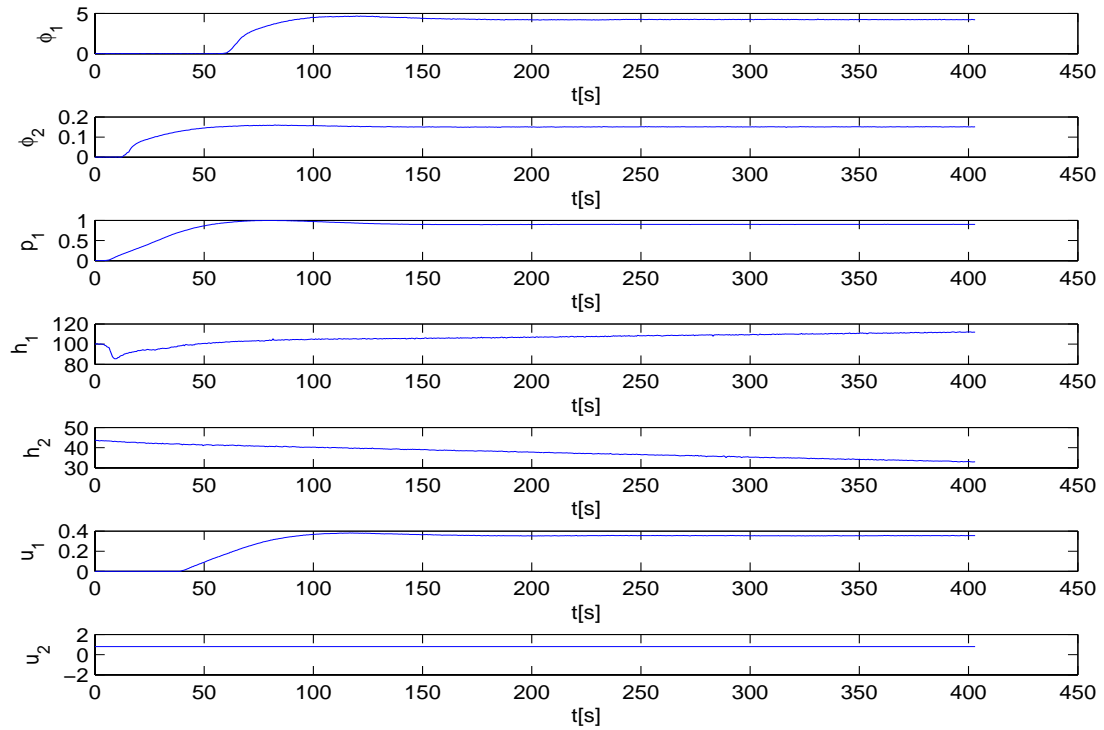
## DODATEK A - Tabela konstant

**Tabela 9** Konstante

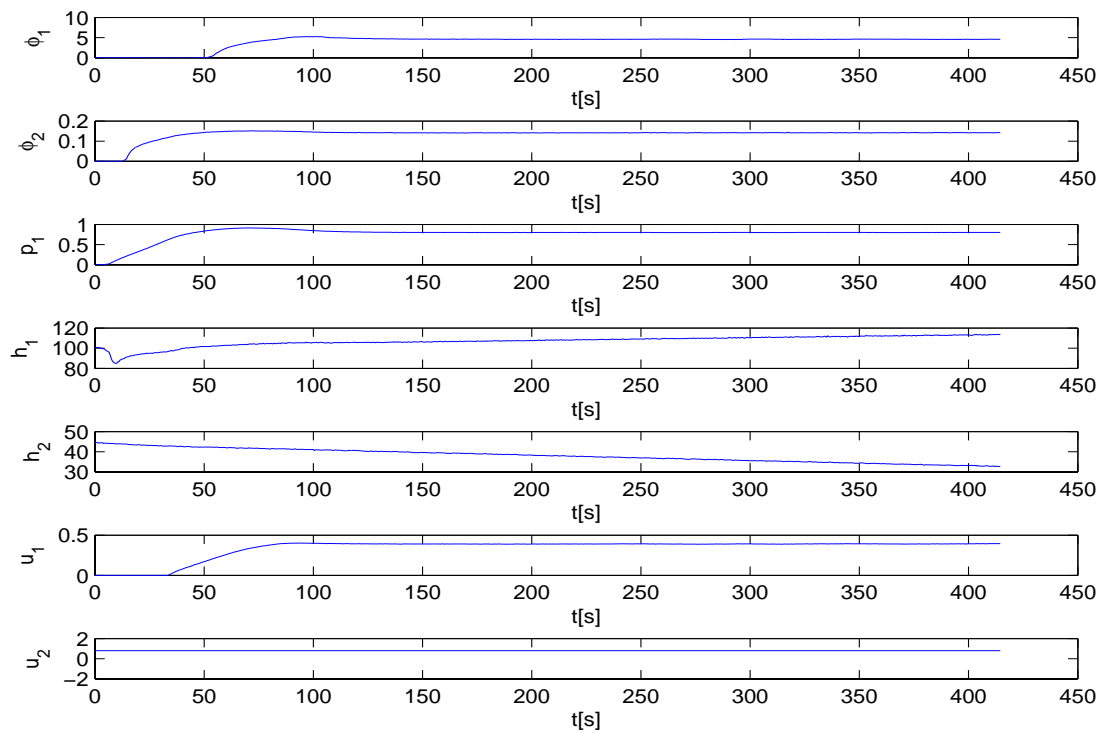
Konstanta	Vrednost	Opis
$S_1$	$0.312 \text{ m}^2$	Presek separatorja $R_1$
$S_2$	$0.32 \text{ m}^2$	Presek rezervoarja $R_2$
$p_0$	1.033 bar	Normalni atmosferski tlak
$h_{R1}$	2.25 m	Višina separatotja $R_1$
$K_W$	0.0981 bar/m	Proporcionalni faktor med nivojem v metrih ter tlakom v barih
$K_F$	$0.001 \text{ m}^3/\text{l}$	Proporcionalni faktor med pretokom v $\text{m}^3/\text{s}$ ter $\text{l}/\text{s}$
$\Phi_W$	0.217 $\text{l}/\text{s}$	Pretok vode v $R_1$
$\dot{v}_{\max}$	$0.66 \text{ s}^{-1}$	Največja hitrost odpiranja ventila
$\dot{v}_{\min}$	$-0.33 \text{ s}^{-1}$	Najmanjša hitrost odpiranja ventila

## DODATEK B - Meritve za model ventila V<sub>1</sub>

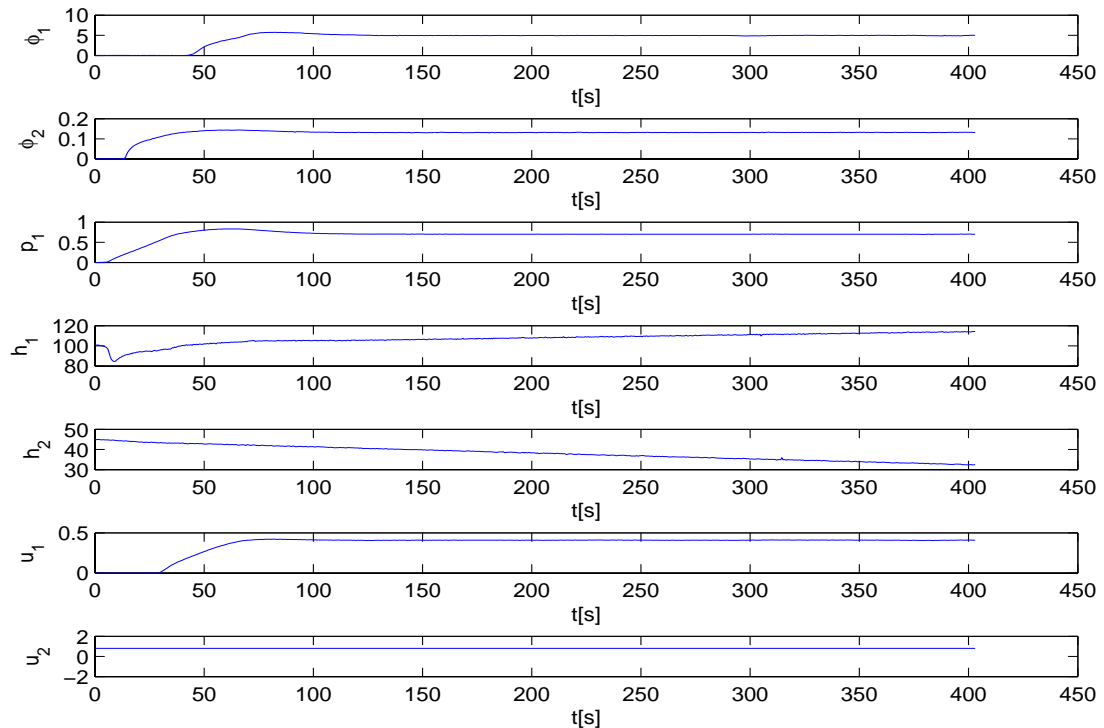
(potrebno je vedeti da h<sub>2</sub> ne predstavlja dejanskega nivoja v T<sub>2</sub>, ter da pretok f<sub>i2</sub> ni nujno pravilen)



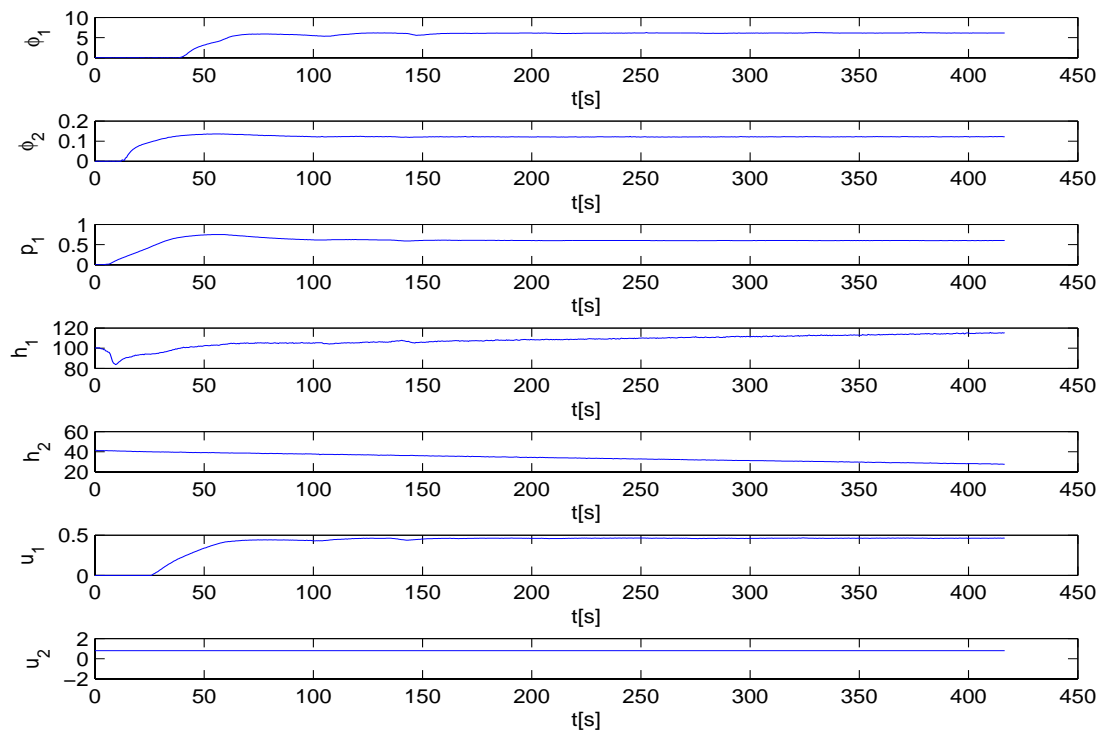
**Slika 36** Na grafu si od zgoraj navzdol sledijo naslednje veličine: pretok zraka skozi V<sub>1</sub>, pretok vode skozi V<sub>2</sub>, tlak p<sub>1</sub> v ločevalniku, nivo v ločevalniku, nivo v rezervoarju, komandni signal u<sub>1</sub> ter komandni signal u<sub>2</sub>. Hitrost črpalk je bila f = 54Hz.



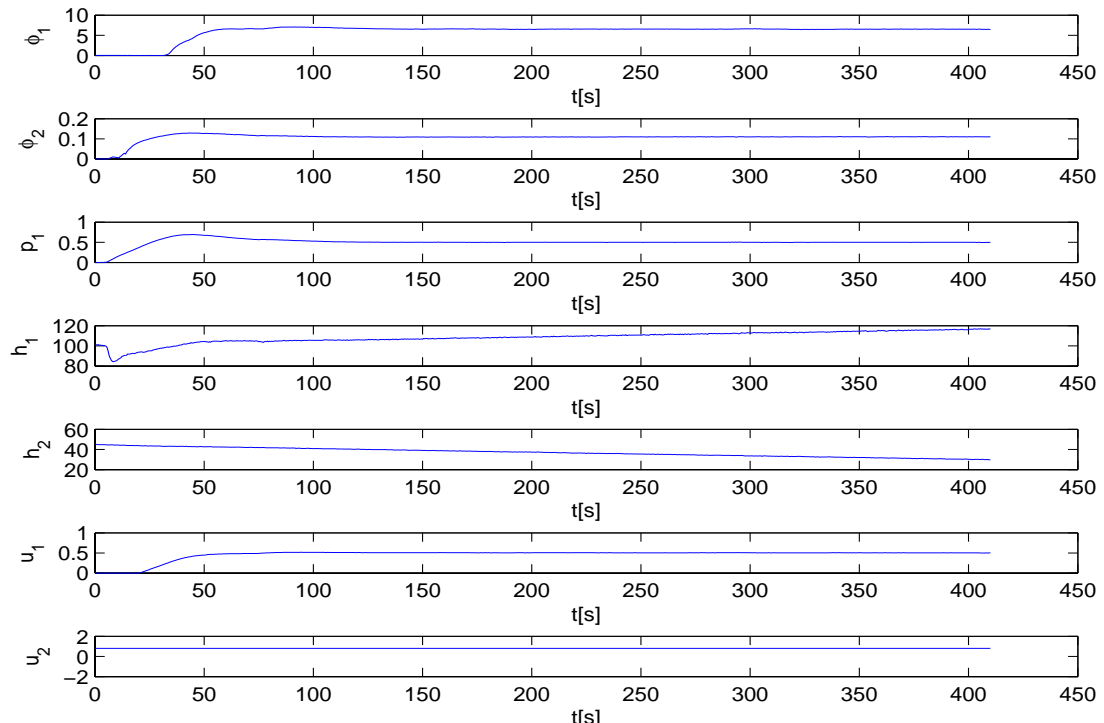
**Slika 37** Na grafu si od zgoraj navzdol sledijo naslednje veličine: pretok zraka skozi  $V_1$ , pretok vode skozi  $V_2$ , tlak  $p_1$  v ločevalniku, nivo v ločevalniku, nivo v rezervoarju, komandni signal  $u_1$  ter komandni signal  $u_2$ . Hitrost črpalk je bila  $f = 54\text{Hz}$ .



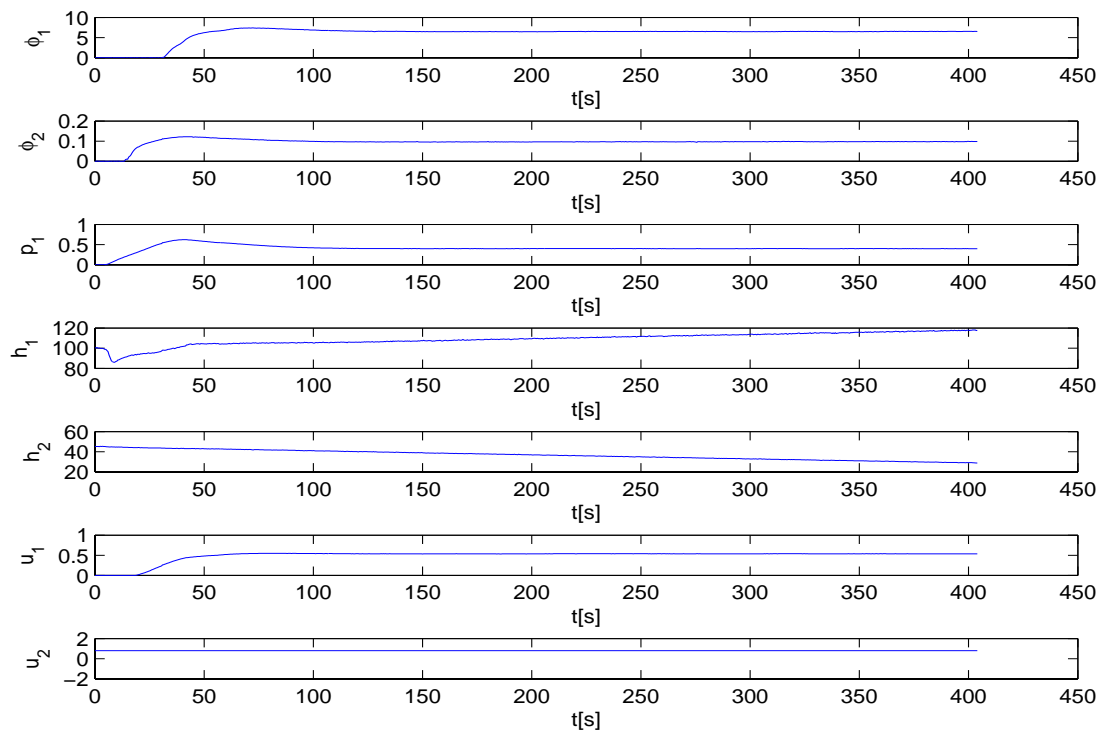
**Slika 38** Na grafu si od zgoraj navzdol sledijo naslednje veličine: pretok zraka skozi  $V_1$ , pretok vode skozi  $V_2$ , tlak  $p_1$  v ločevalniku, nivo v ločevalniku, nivo v rezervoarju, komandni signal  $u_1$  ter komandni signal  $u_2$ . Hitrost črpalk je bila  $f = 54\text{Hz}$ .



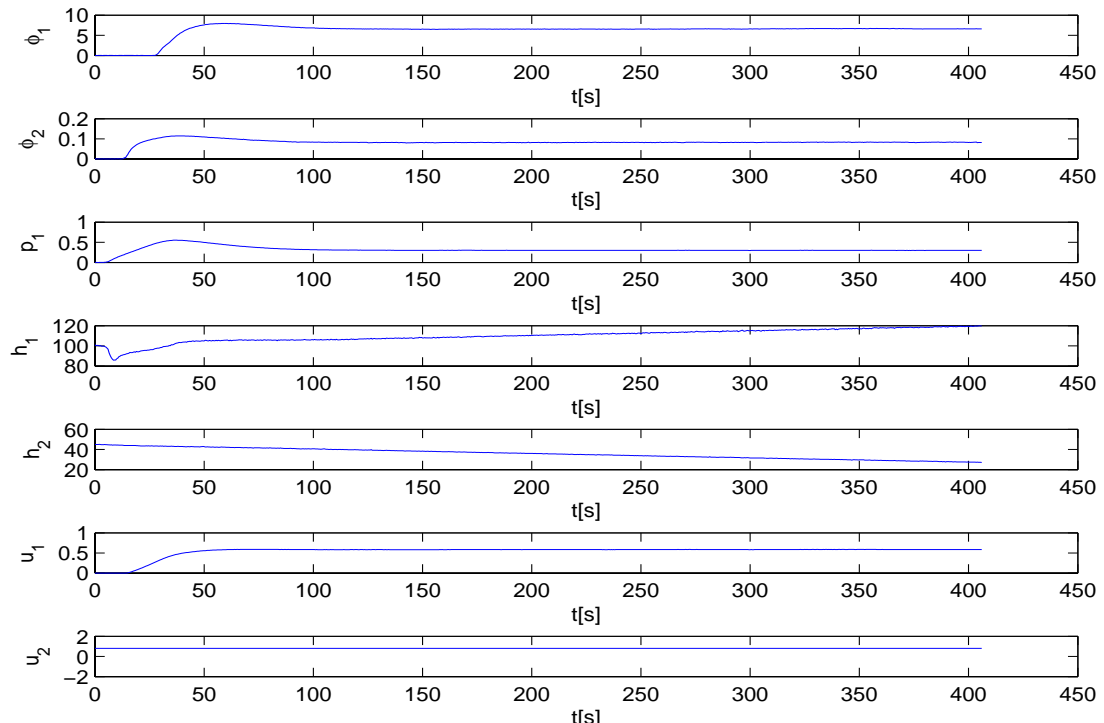
Slika 39 Na grafu si od zgoraj navzdol sledijo naslednje veličine: pretok zraka skozi  $V_1$ , pretok vode skozi  $V_2$ , tlak  $p_1$  v ločevalniku, nivo v ločevalniku, nivo v rezervoarju, komandni signal  $u_1$  ter komandni signal  $u_2$ . Hitrost črpalk je bila  $f = 54\text{Hz}$ .



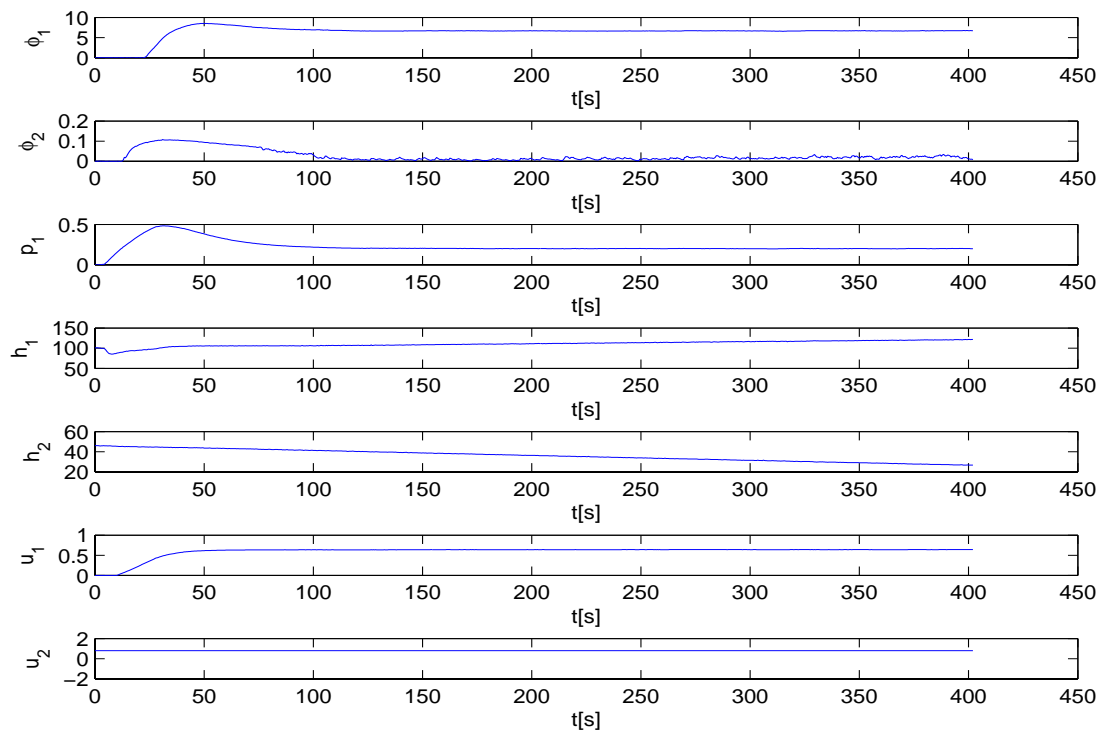
Slika 40 Na grafu si od zgoraj navzdol sledijo naslednje veličine: pretok zraka skozi  $V_1$ , pretok vode skozi  $V_2$ , tlak  $p_1$  v ločevalniku, nivo v ločevalniku, nivo v rezervoarju, komandni signal  $u_1$  ter komandni signal  $u_2$ . Hitrost črpalk je bila  $f = 54\text{Hz}$ .



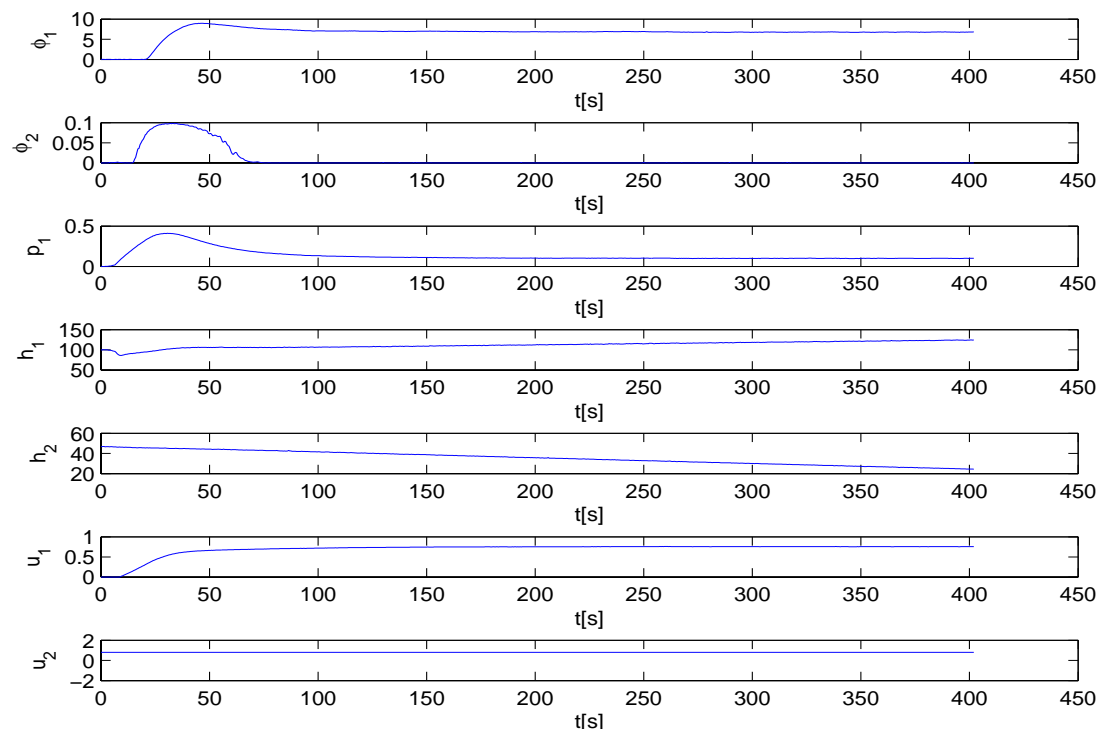
**Slika 41** Na grafu si od zgoraj navzdol sledijo naslednje veličine: pretok zraka skozi  $V_1$ , pretok vode skozi  $V_2$ , tlak  $p_1$  v ločevalniku, nivo v ločevalniku, nivo v rezervoarju, komandni signal  $u_1$  ter komandni signal  $u_2$ . Hitrost črpalk je bila  $f = 54\text{Hz}$ .



**Slika 42** Na grafu si od zgoraj navzdol sledijo naslednje veličine: pretok zraka skozi  $V_1$ , pretok vode skozi  $V_2$ , tlak  $p_1$  v ločevalniku, nivo v ločevalniku, nivo v rezervoarju, komandni signal  $u_1$  ter komandni signal  $u_2$ . Hitrost črpalk je bila  $f = 54\text{Hz}$ .

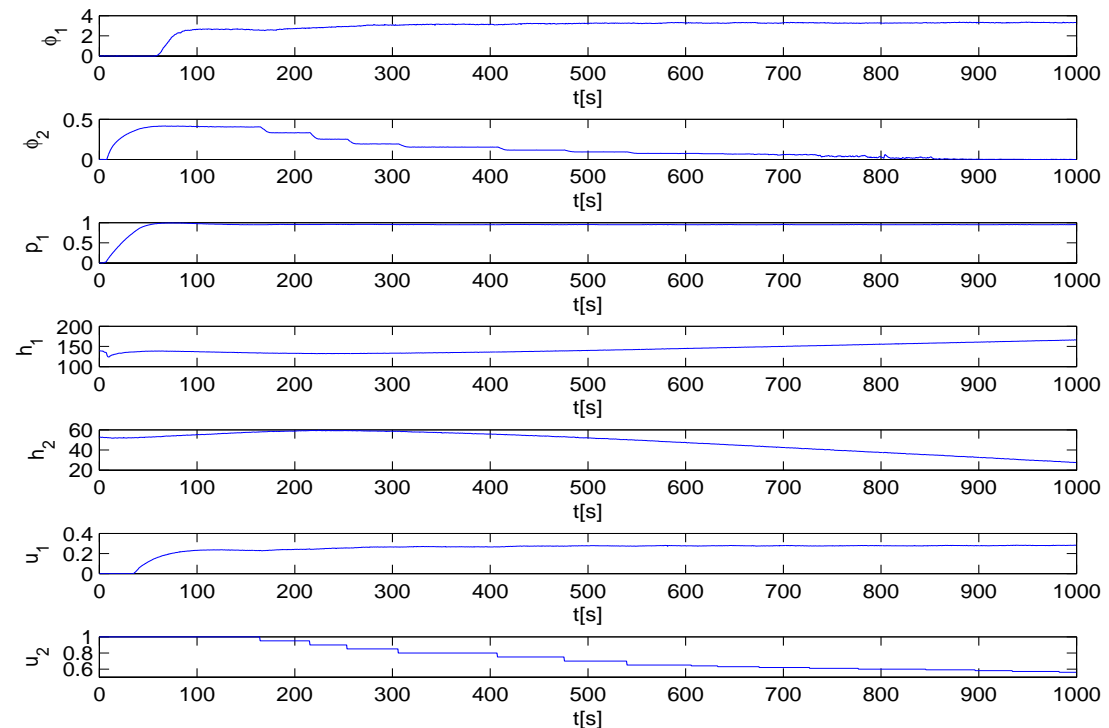


Slika 43 Na grafu si od zgoraj navzdol sledijo naslednje veličine: pretok zraka skozi  $V_1$ , pretok vode skozi  $V_2$ , tlak  $p_1$  v ločevalniku, nivo v ločevalniku, nivo v rezervoarju, komandni signal  $u_1$  ter komandni signal  $u_2$ . Hitrost črpalk je bila  $f = 54\text{Hz}$ .



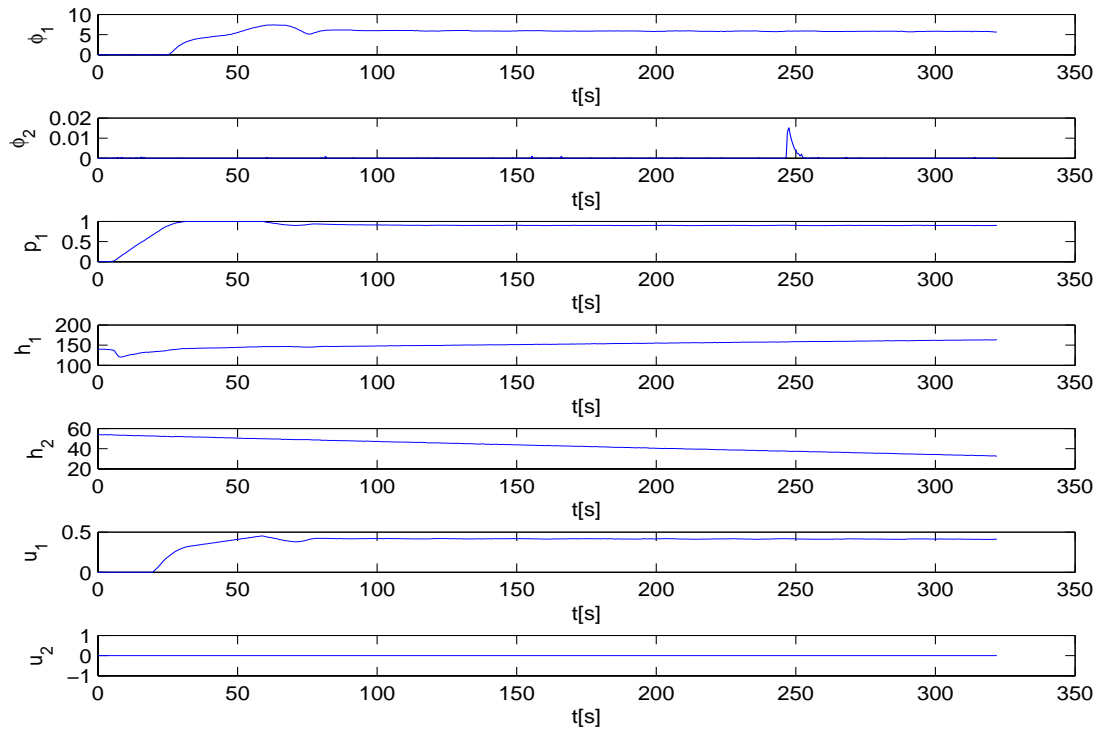
Slika 44 Na grafu si od zgoraj navzdol sledijo naslednje veličine: pretok zraka skozi  $V_1$ , pretok vode skozi  $V_2$ , tlak  $p_1$  v ločevalniku, nivo v ločevalniku, nivo v rezervoarju, komandni signal  $u_1$  ter komandni signal  $u_2$ . Hitrost črpalk je bila  $f = 54\text{Hz}$ .

## DODATEK C - Meritev za model ventila $V_2$

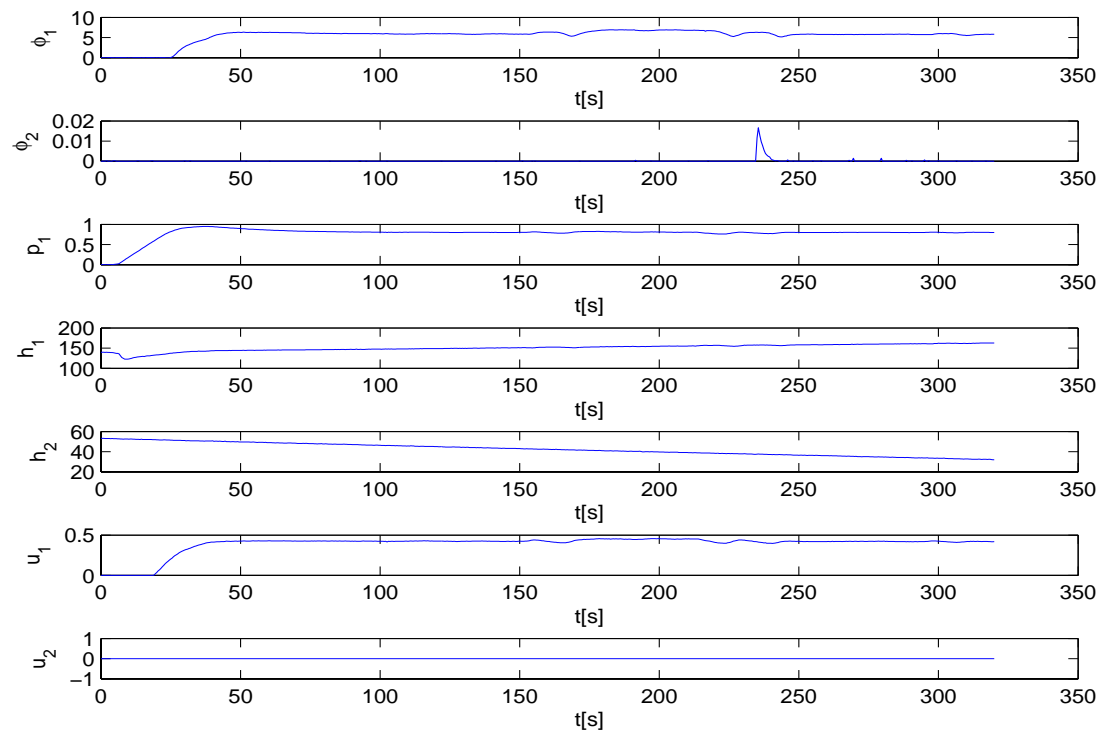


**Slika 45** Na grafu si od zgoraj navzdol sledijo naslednje veličine: pretok zraka skozi  $V_1$ , pretok vode skozi  $V_2$ , tlak  $p_1$  v ločevalniku, nivo v ločevalniku, nivo v rezervoarju, komandni signal  $u_1$  ter komandni signal  $u_2$ . Hitrost črpalk je bila  $f = 60 \text{ Hz}$ .

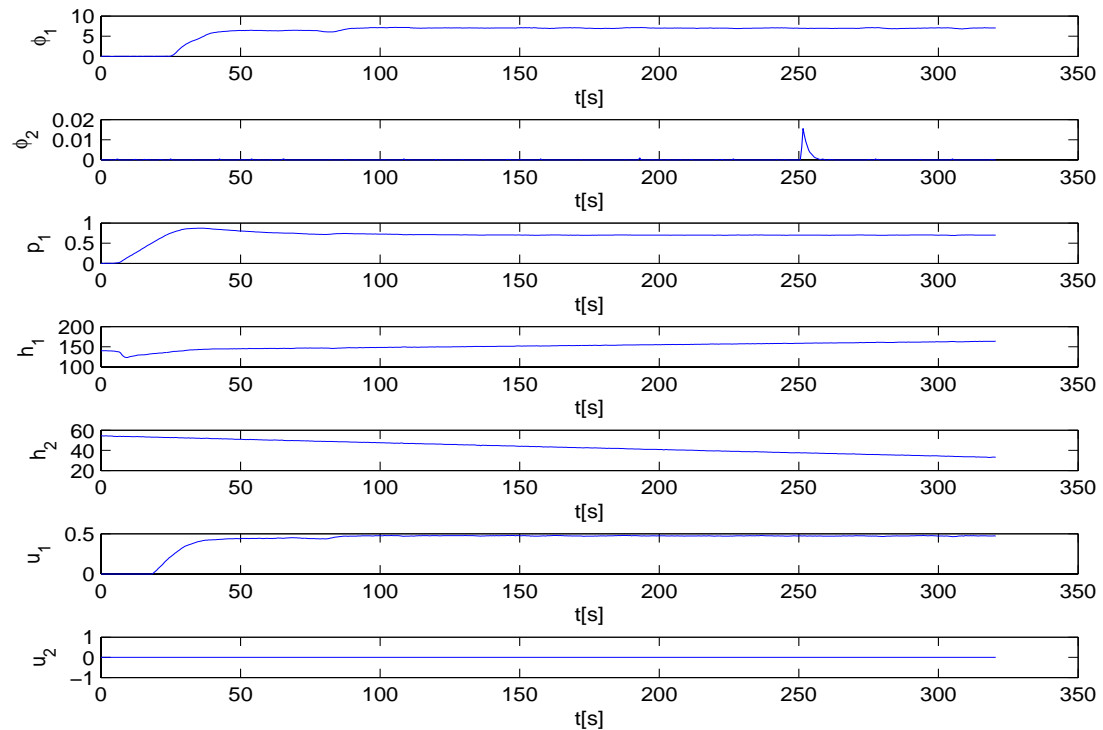
## DODATEK D - Meritve za model pretoka zraka ter vode skozi injektor



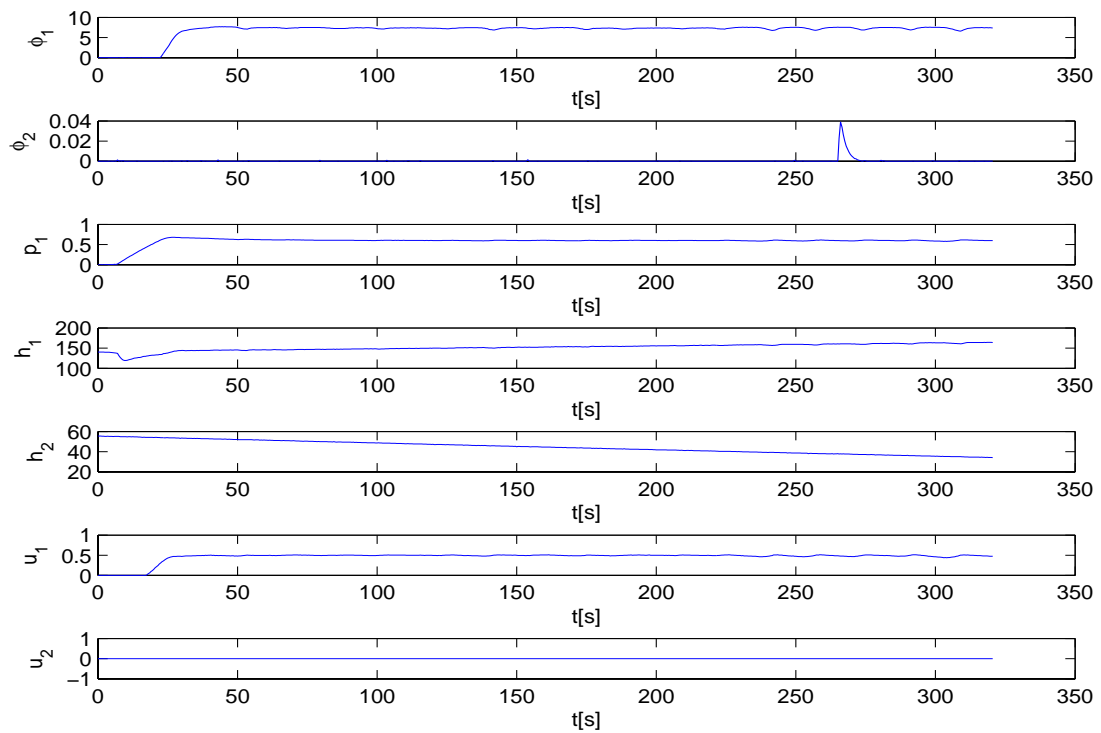
**Slika 46** Na grafu si od zgoraj navzdol sledijo naslednje veličine: pretok zraka skozi  $V_1$ , pretok vode skozi  $V_2$ , tlak  $p_1$  v ločevalniku, nivo v ločevalniku, nivo v rezervoarju, komandni signal  $u_1$  ter komandni signal  $u_2$ . Hitrost črpalk je bila  $f = 60\text{Hz}$ .



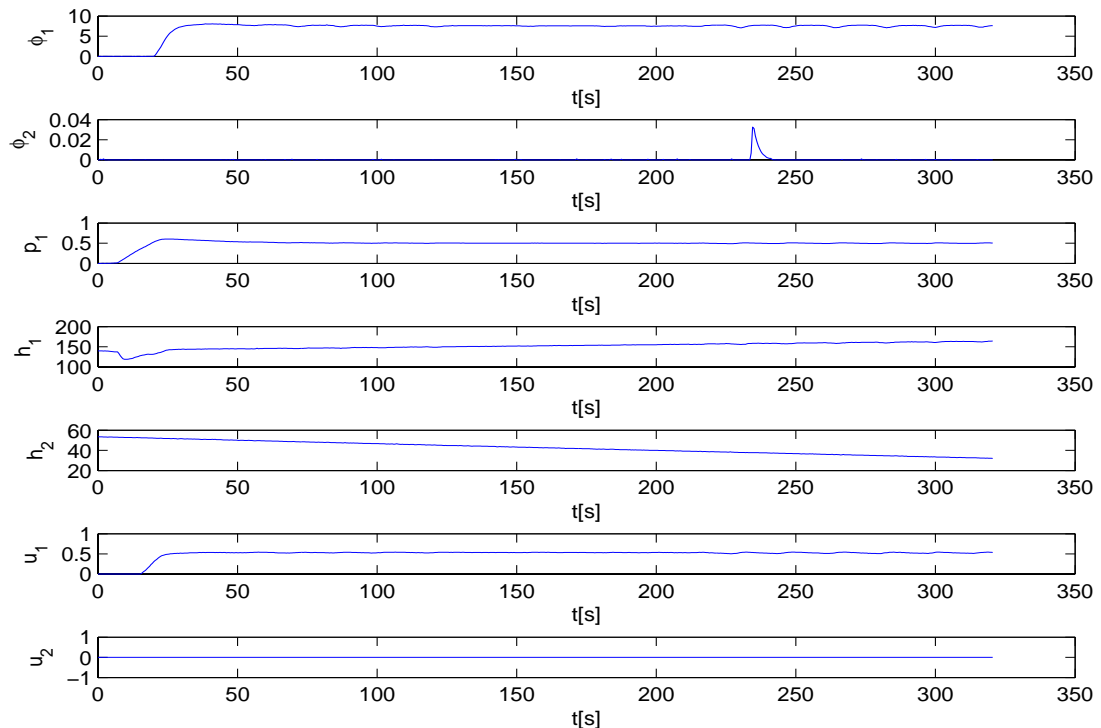
**Slika 47** Na grafu si od zgoraj navzdol sledijo naslednje veličine: pretok zraka skozi  $V_1$ , pretok vode skozi  $V_2$ , tlak  $p_1$  v ločevalniku, nivo v ločevalniku, nivo v rezervoarju, komandni signal  $u_1$  ter komandni signal  $u_2$ . Hitrost črpalk je bila  $f = 60\text{Hz}$ .



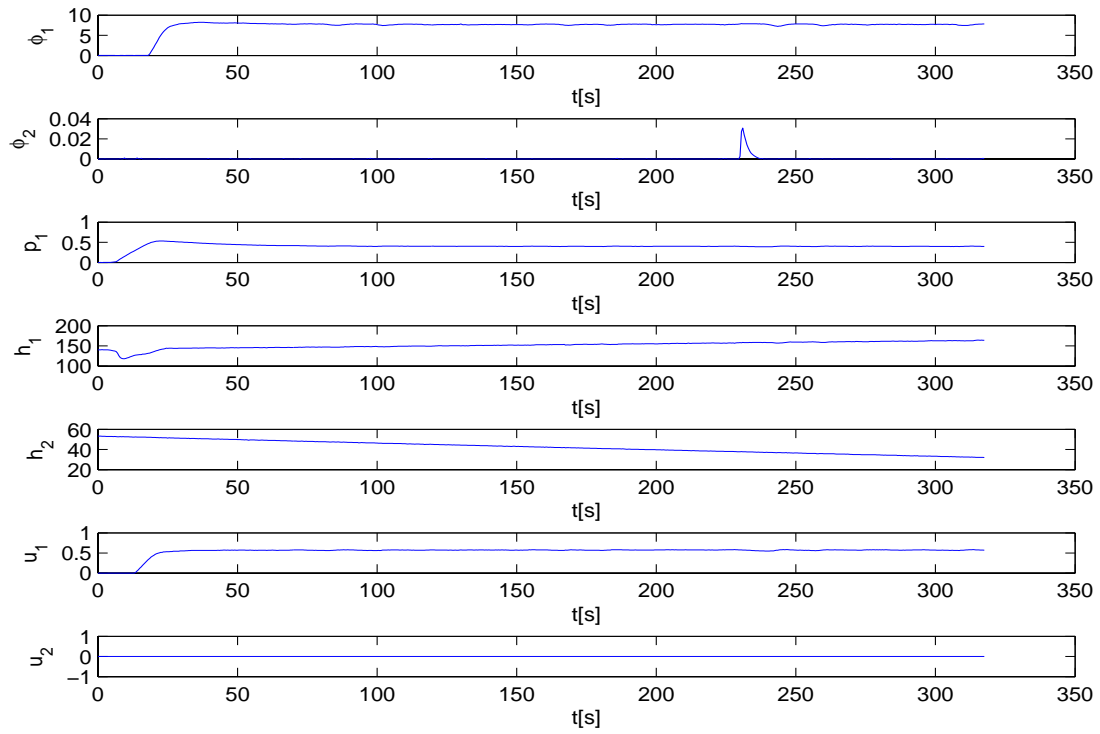
**Slika 48** Na grafu si od zgoraj navzdol sledijo naslednje veličine: pretok zraka skozi  $V_1$ , pretok vode skozi  $V_2$ , tlak  $p_1$  v ločevalniku, nivo v ločevalniku, nivo v rezervoarju, komandni signal  $u_1$  ter komandni signal  $u_2$ . Hitrost črpalk je bila  $f = 60\text{Hz}$ .



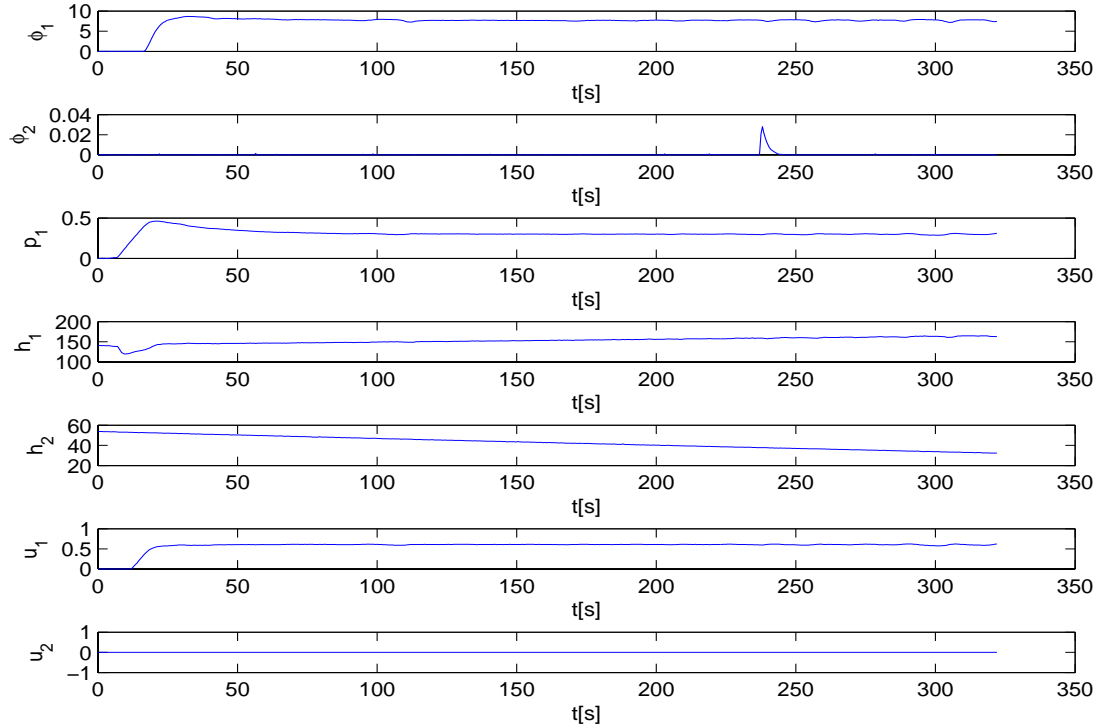
**Slika 49** Na grafu si od zgoraj navzdol sledijo naslednje veličine: pretok zraka skozi  $V_1$ , pretok vode skozi  $V_2$ , tlak  $p_1$  v ločevalniku, nivo v ločevalniku, nivo v rezervoarju, komandni signal  $u_1$  ter komandni signal  $u_2$ . Hitrost črpalk je bila  $f = 60\text{Hz}$ .



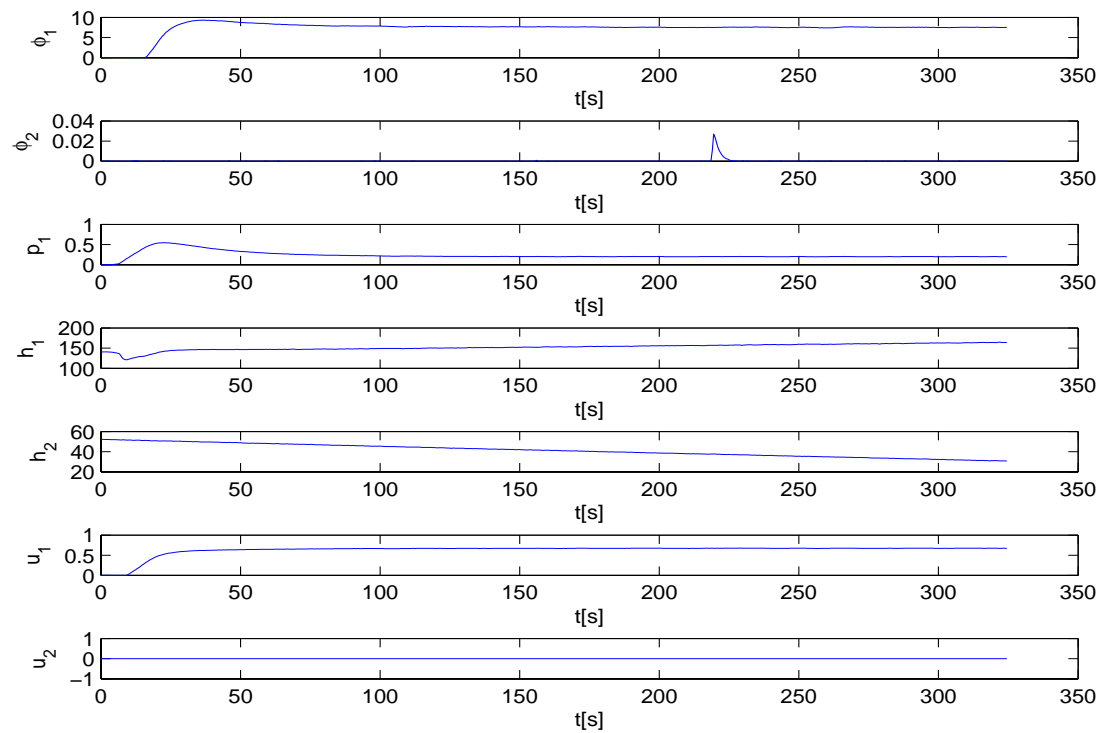
**Slika 50** Na grafu si od zgoraj navzdol sledijo naslednje veličine: pretok zraka skozi  $V_1$ , pretok vode skozi  $V_2$ , tlak  $p_1$  v ločevalniku, nivo v ločevalniku, nivo v rezervoarju, komandni signal  $u_1$  ter komandni signal  $u_2$ . Hitrost črpalk je bila  $f = 60\text{Hz}$ .



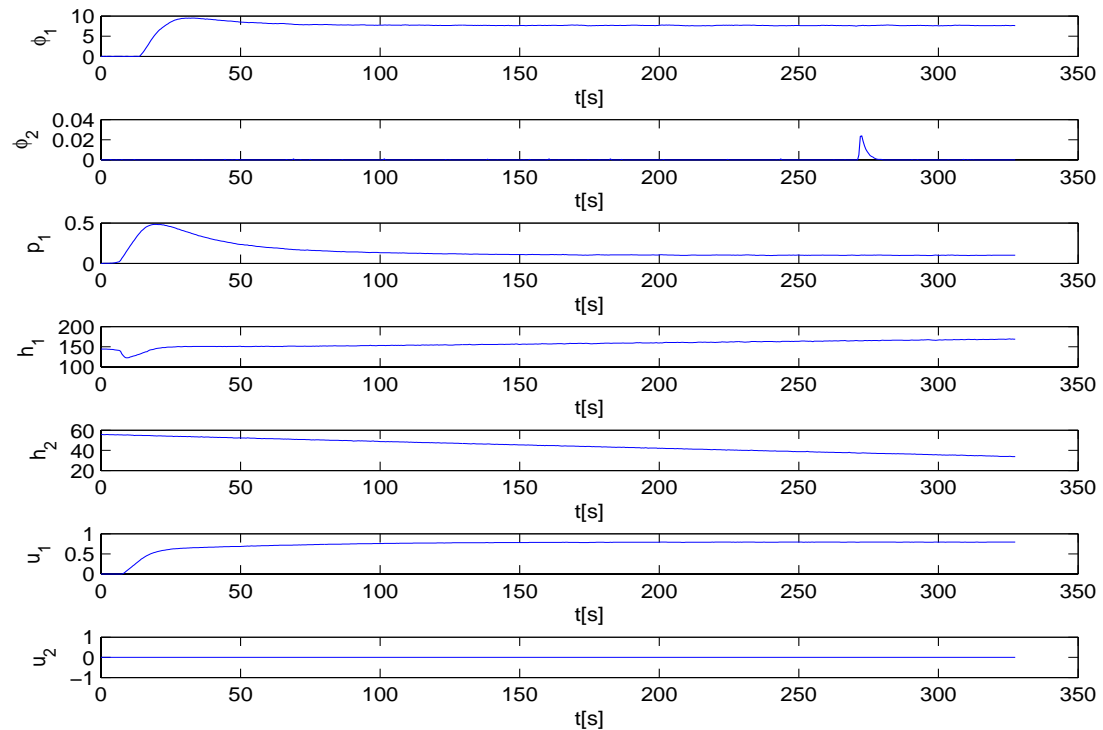
**Slika 51** Na grafu si od zgoraj navzdol sledijo naslednje veličine: pretok zraka skozi  $V_1$ , pretok vode skozi  $V_2$ , tlak  $p_1$  v ločevalniku, nivo v ločevalniku, nivo v rezervoarju, komandni signal  $u_1$  ter komandni signal  $u_2$ . Hitrost črpalke je bila  $f = 60\text{Hz}$ .



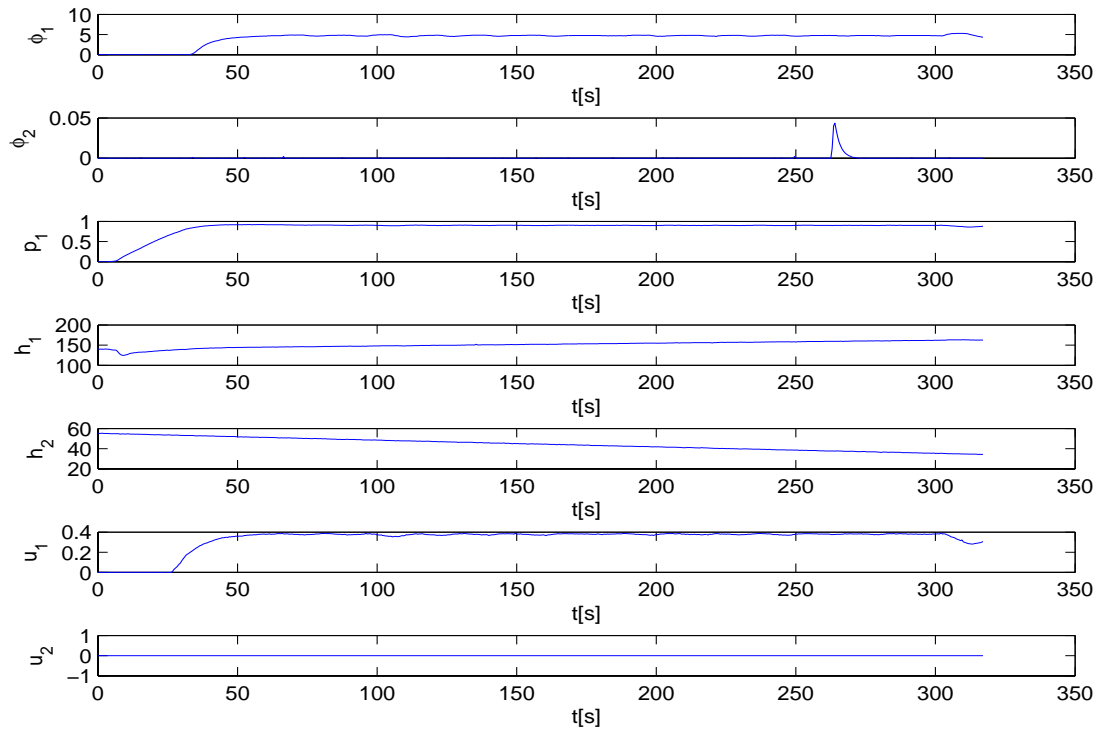
**Slika 52** Na grafu si od zgoraj navzdol sledijo naslednje veličine: pretok zraka skozi  $V_1$ , pretok vode skozi  $V_2$ , tlak  $p_1$  v ločevalniku, nivo v ločevalniku, nivo v rezervoarju, komandni signal  $u_1$  ter komandni signal  $u_2$ . Hitrost črpalke je bila  $f = 60\text{Hz}$ .



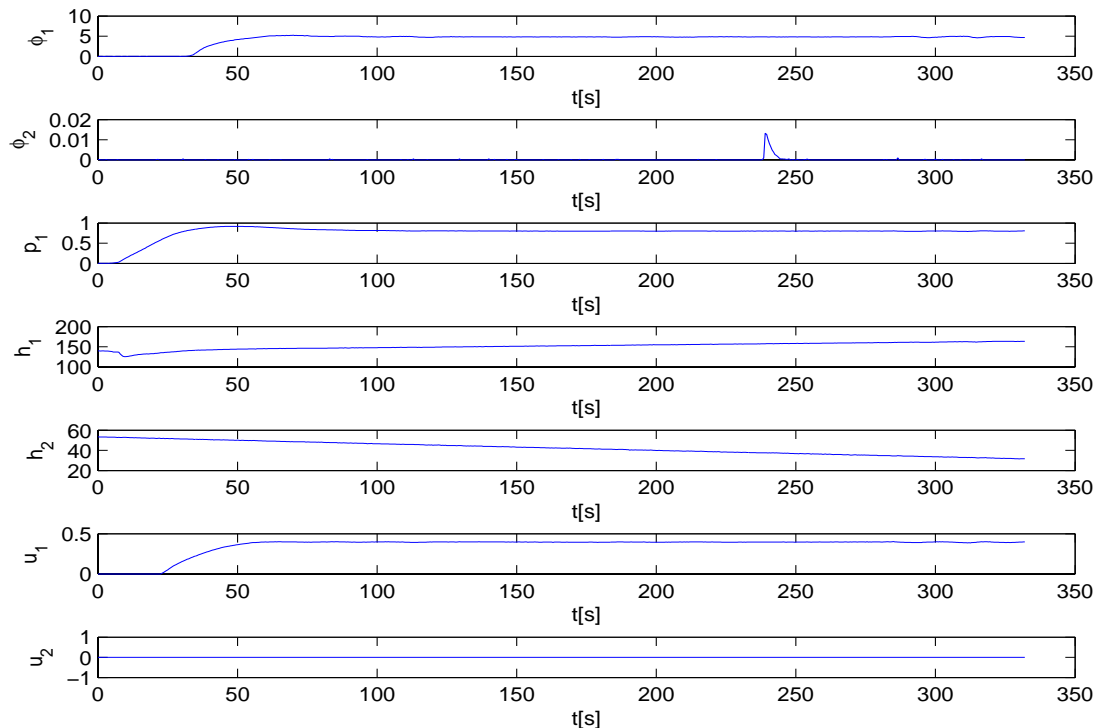
**Slika 53** Na grafu si od zgoraj navzdol sledijo naslednje veličine: pretok zraka skozi  $V_1$ , pretok vode skozi  $V_2$ , tlak  $p_1$  v ločevalniku, nivo v ločevalniku, nivo v rezervoarju, komandni signal  $u_1$  ter komandni signal  $u_2$ . Hitrost črpalk je bila  $f = 60\text{Hz}$ .



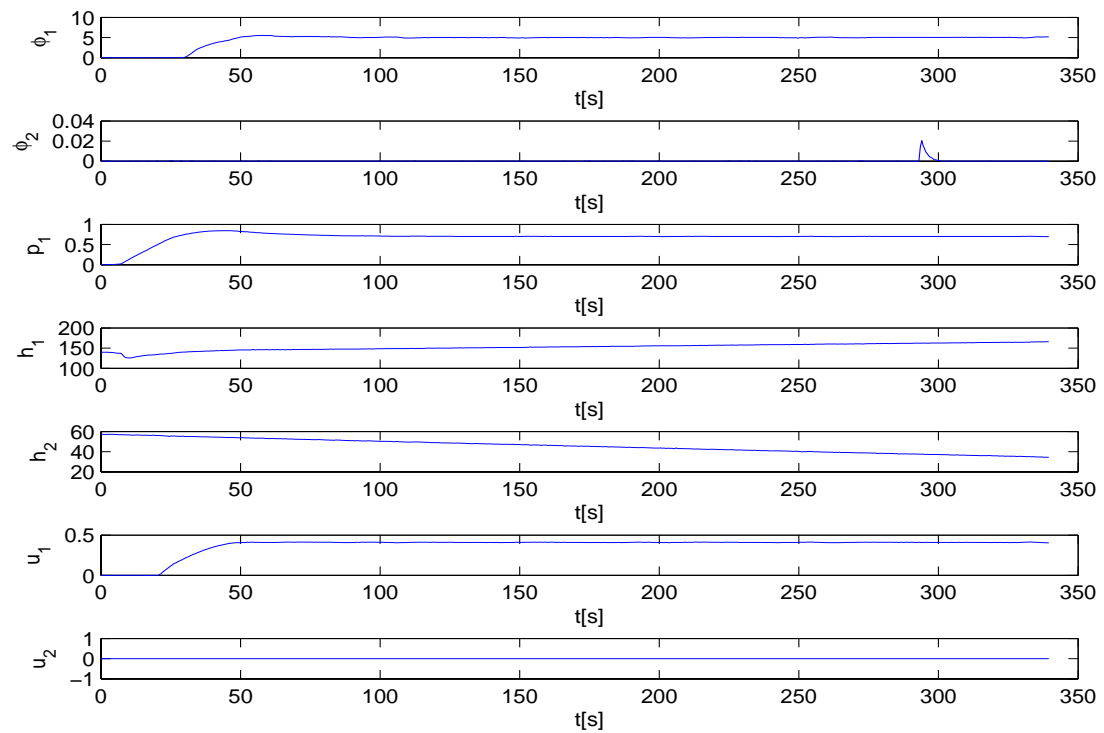
**Slika 54** Na grafu si od zgoraj navzdol sledijo naslednje veličine: pretok zraka skozi  $V_1$ , pretok vode skozi  $V_2$ , tlak  $p_1$  v ločevalniku, nivo v ločevalniku, nivo v rezervoarju, komandni signal  $u_1$  ter komandni signal  $u_2$ . Hitrost črpalk je bila  $f = 60\text{Hz}$ .



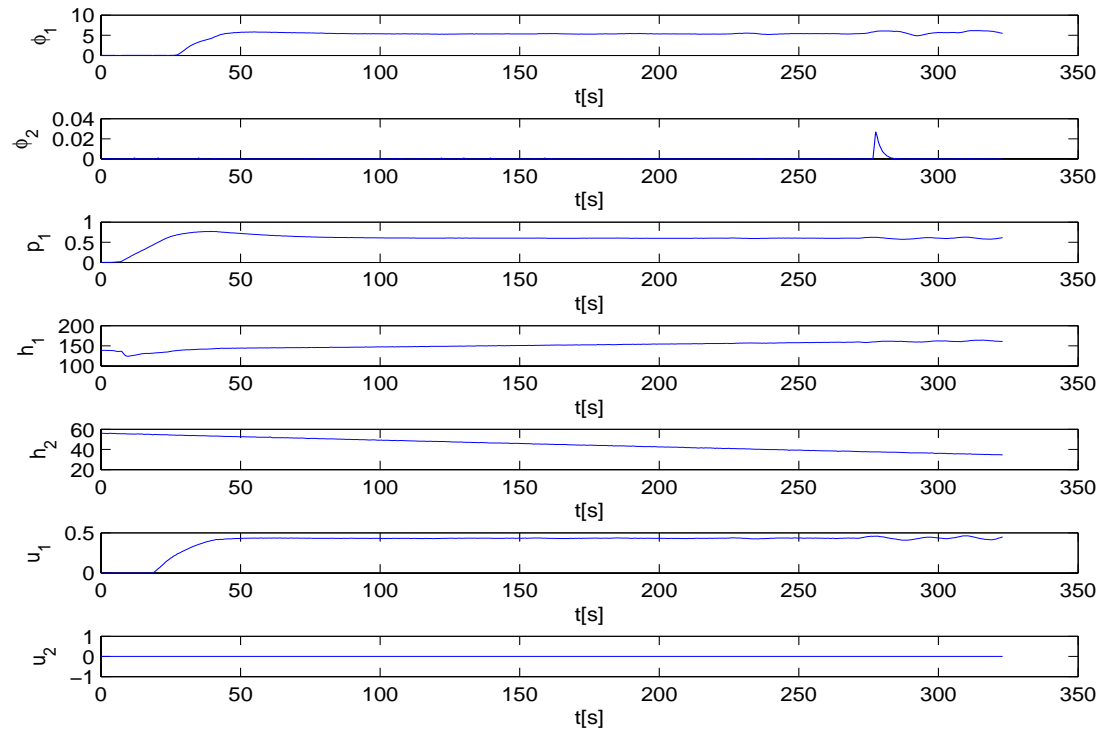
**Slika 55** Na grafu si od zgoraj navzdol sledijo naslednje veličine: pretok zraka skozi  $V_1$ , pretok vode skozi  $V_2$ , tlak  $p_1$  v ločevalniku, nivo v ločevalniku, nivo v rezervoarju, komandni signal  $u_1$  ter komandni signal  $u_2$ . Hitrost črpalke je bila  $f = 54\text{Hz}$ .



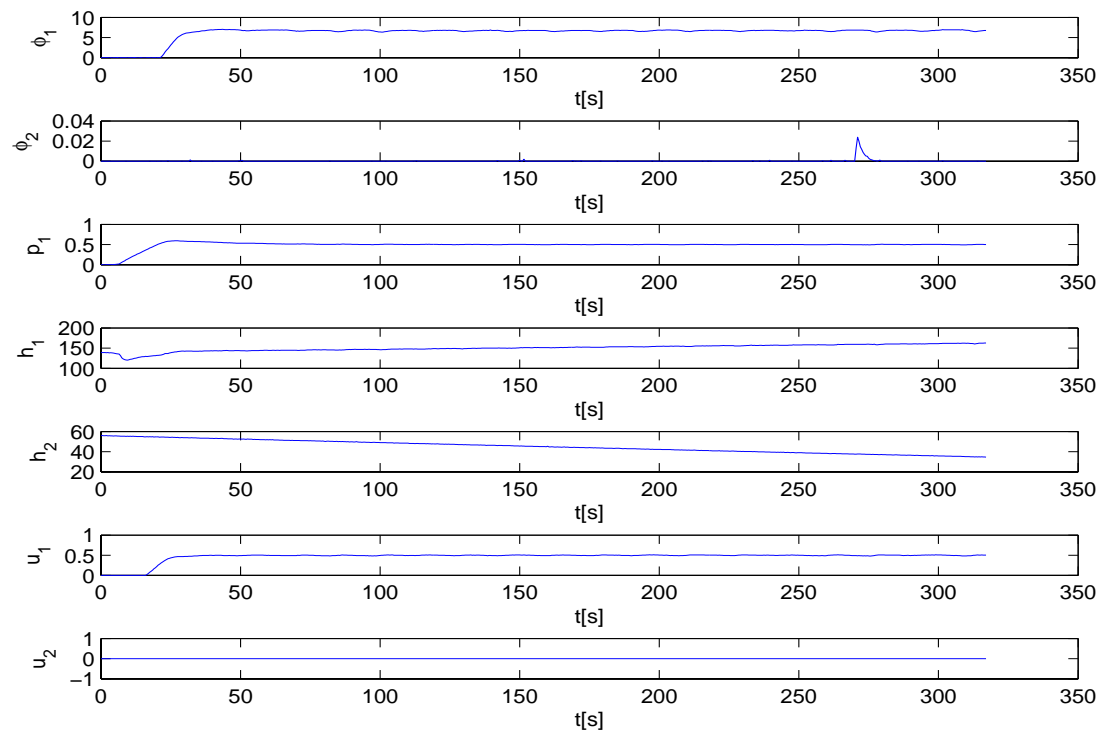
**Slika 56** Na grafu si od zgoraj navzdol sledijo naslednje veličine: pretok zraka skozi  $V_1$ , pretok vode skozi  $V_2$ , tlak  $p_1$  v ločevalniku, nivo v ločevalniku, nivo v rezervoarju, komandni signal  $u_1$  ter komandni signal  $u_2$ . Hitrost črpalke je bila  $f = 54\text{Hz}$ .



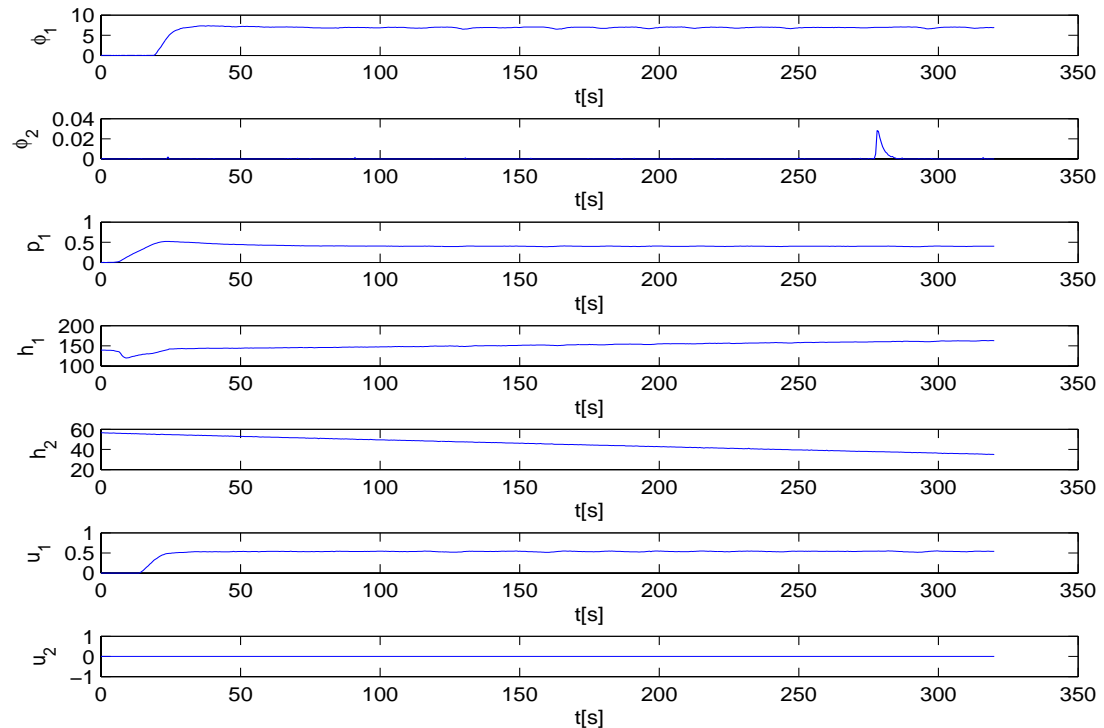
**Slika 57** Na grafu si od zgoraj navzdol sledijo naslednje veličine: pretok zraka skozi  $V_1$ , pretok vode skozi  $V_2$ , tlak  $p_1$  v ločevalniku, nivo v ločevalniku, nivo v rezervoarju, komandni signal  $u_1$  ter komandni signal  $u_2$ . Hitrost črpalk je bila  $f = 54\text{Hz}$ .



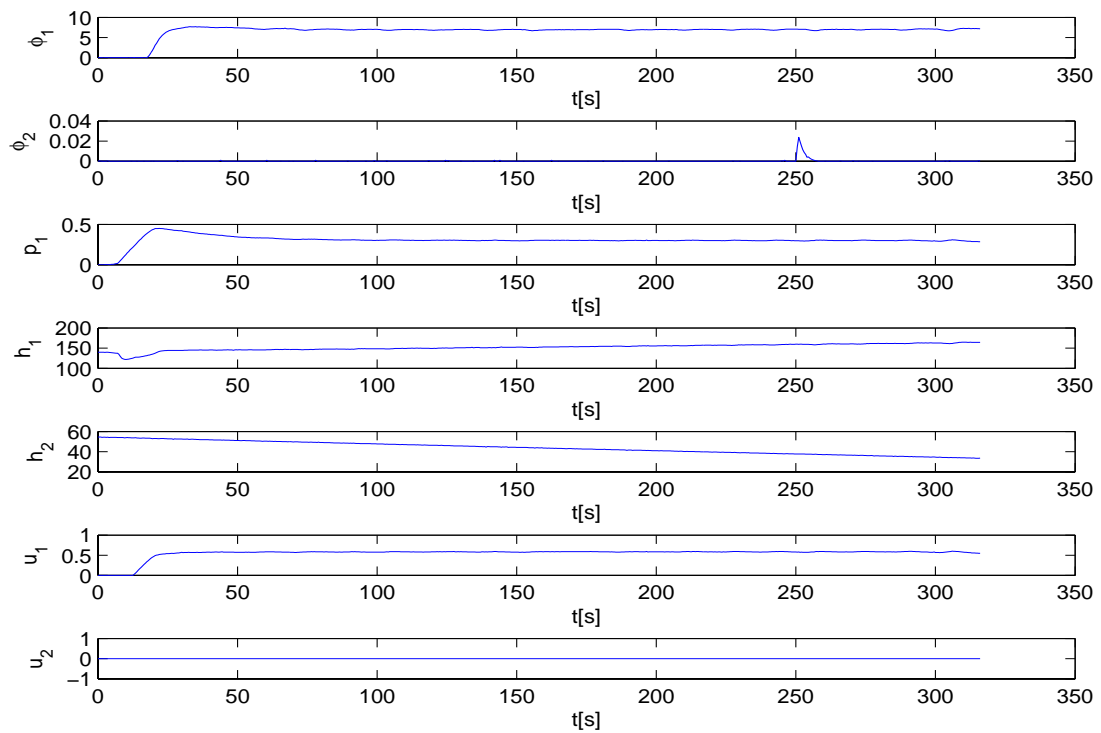
**Slika 58** Na grafu si od zgoraj navzdol sledijo naslednje veličine: pretok zraka skozi  $V_1$ , pretok vode skozi  $V_2$ , tlak  $p_1$  v ločevalniku, nivo v ločevalniku, nivo v rezervoarju, komandni signal  $u_1$  ter komandni signal  $u_2$ . Hitrost črpalk je bila  $f = 54\text{Hz}$ .



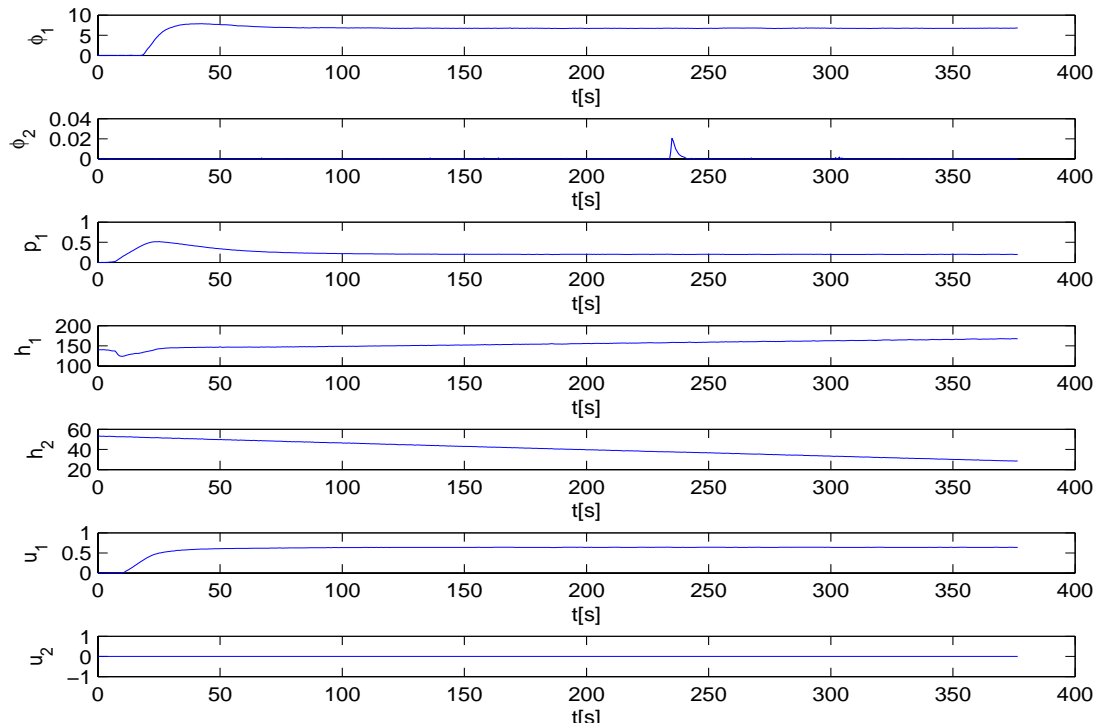
**Slika 59** Na grafu si od zgoraj navzdol sledijo naslednje veličine: pretok zraka skozi  $V_1$ , pretok vode skozi  $V_2$ , tlak  $p_1$  v ločevalniku, nivo v ločevalniku, nivo v rezervoarju, komandni signal  $u_1$  ter komandni signal  $u_2$ . Hitrost črpalk je bila  $f = 54\text{Hz}$ .



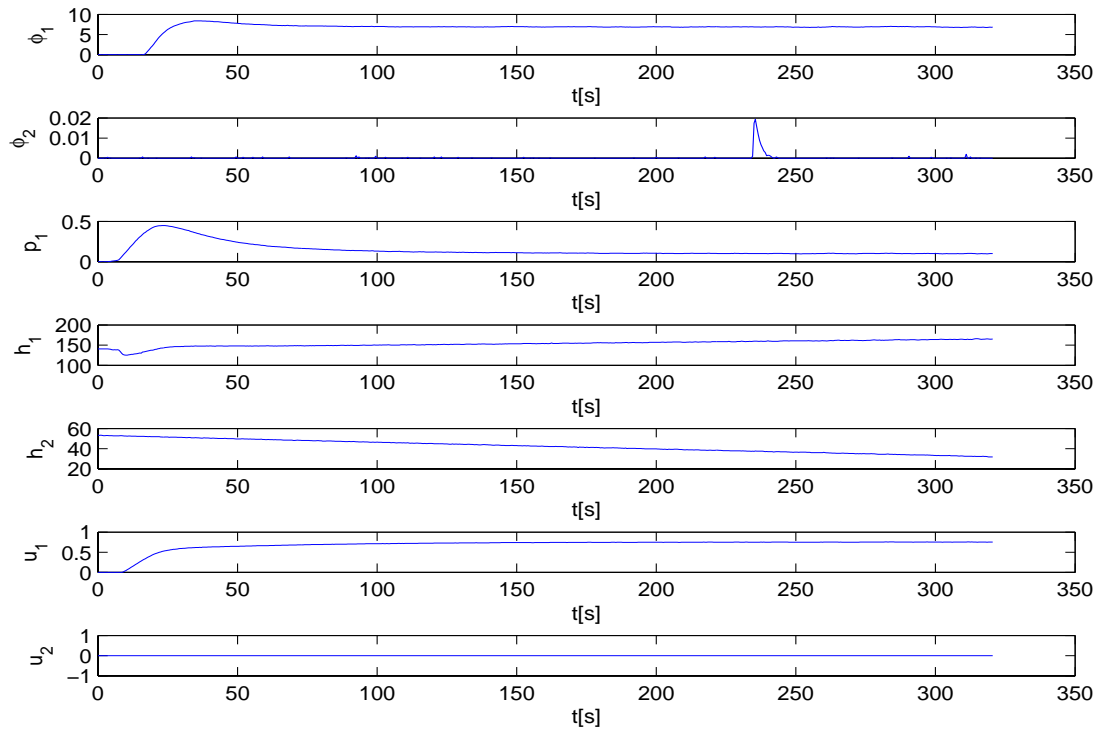
**Slika 60** Na grafu si od zgoraj navzdol sledijo naslednje veličine: pretok zraka skozi  $V_1$ , pretok vode skozi  $V_2$ , tlak  $p_1$  v ločevalniku, nivo v ločevalniku, nivo v rezervoarju, komandni signal  $u_1$  ter komandni signal  $u_2$ . Hitrost črpalk je bila  $f = 54\text{Hz}$ .



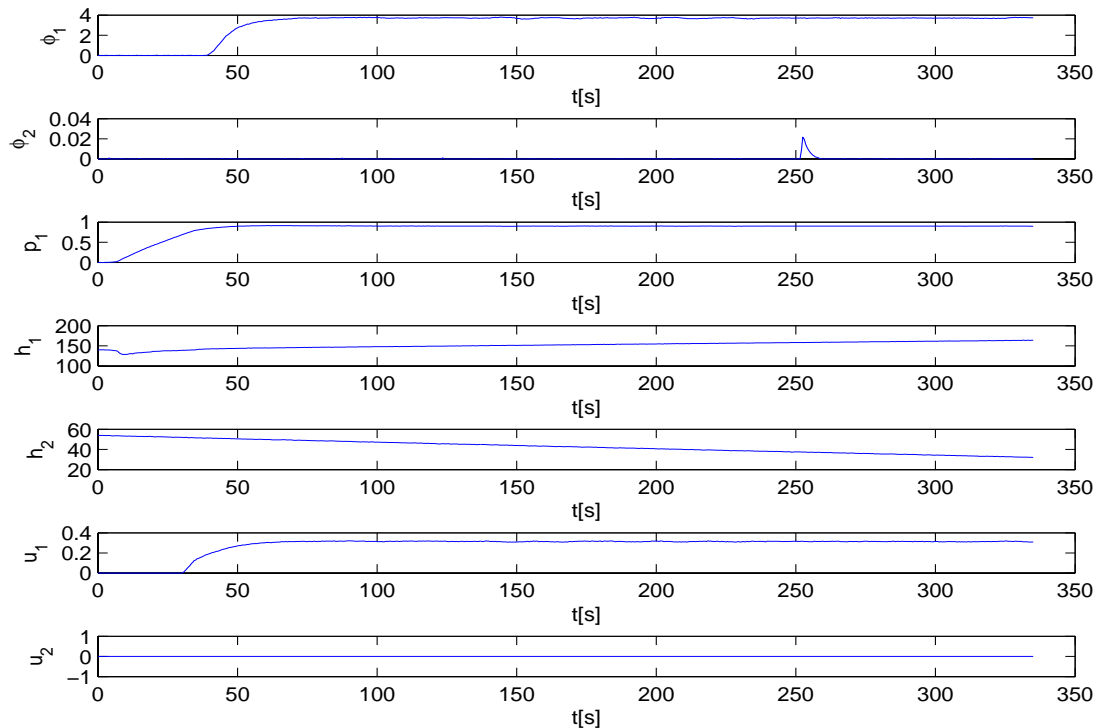
**Slika 61** Na grafu si od zgoraj navzdol sledijo naslednje veličine: pretok zraka skozi  $V_1$ , pretok vode skozi  $V_2$ , tlak  $p_1$  v ločevalniku, nivo v ločevalniku, nivo v rezervoarju, komandni signal  $u_1$  ter komandni signal  $u_2$ . Hitrost črpalk je bila  $f = 54\text{Hz}$ .



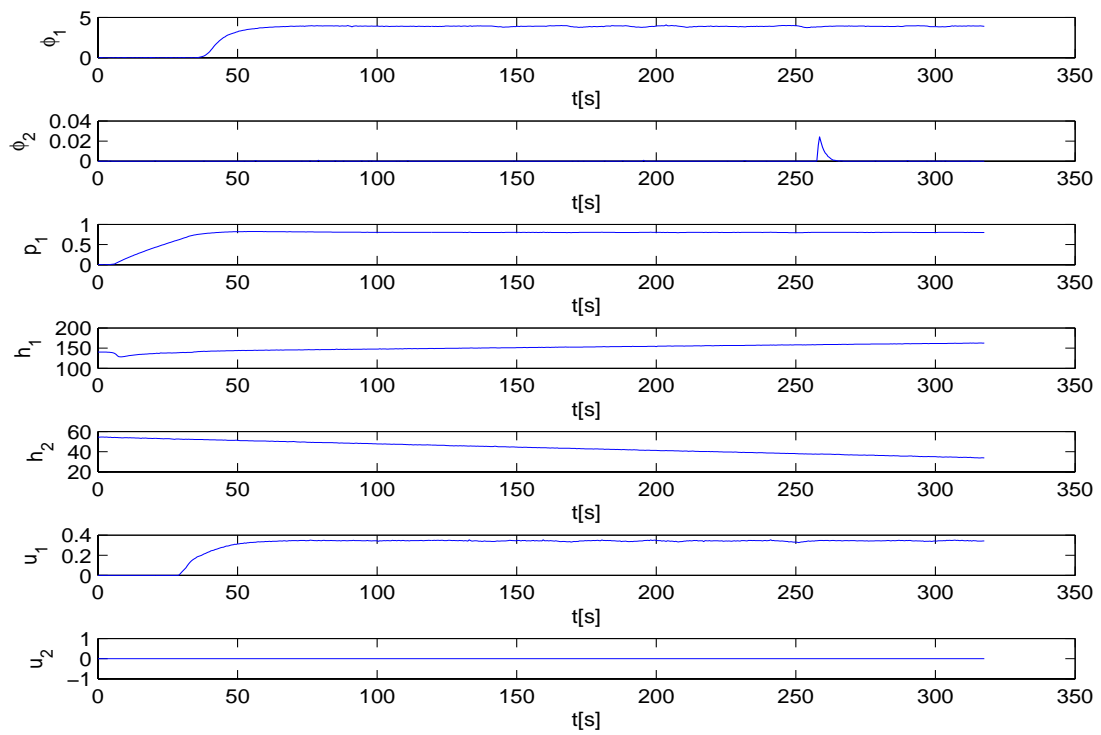
**Slika 62** Na grafu si od zgoraj navzdol sledijo naslednje veličine: pretok zraka skozi  $V_1$ , pretok vode skozi  $V_2$ , tlak  $p_1$  v ločevalniku, nivo v ločevalniku, nivo v rezervoarju, komandni signal  $u_1$  ter komandni signal  $u_2$ . Hitrost črpalk je bila  $f = 54\text{Hz}$ .



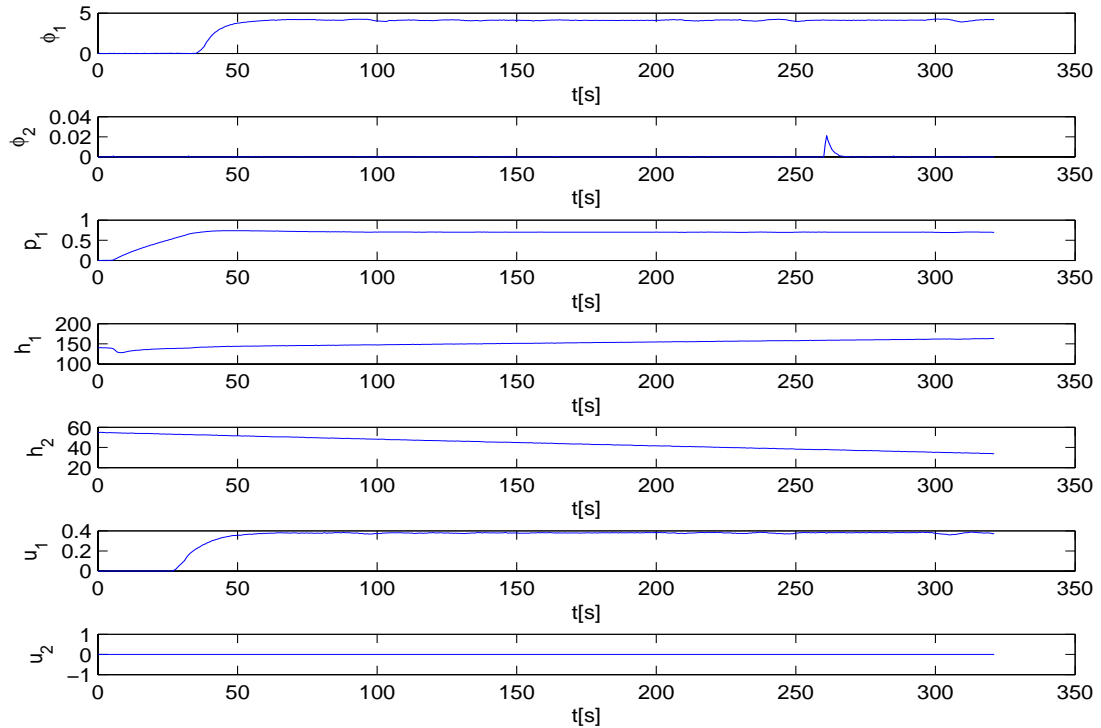
**Slika 63** Na grafu si od zgoraj navzdol sledijo naslednje veličine: pretok zraka skozi  $V_1$ , pretok vode skozi  $V_2$ , tlak  $p_1$  v ločevalniku, nivo v ločevalniku, nivo v rezervoarju, komandni signal  $u_1$  ter komandni signal  $u_2$ . Hitrost črpalk je bila  $f = 54\text{Hz}$ .



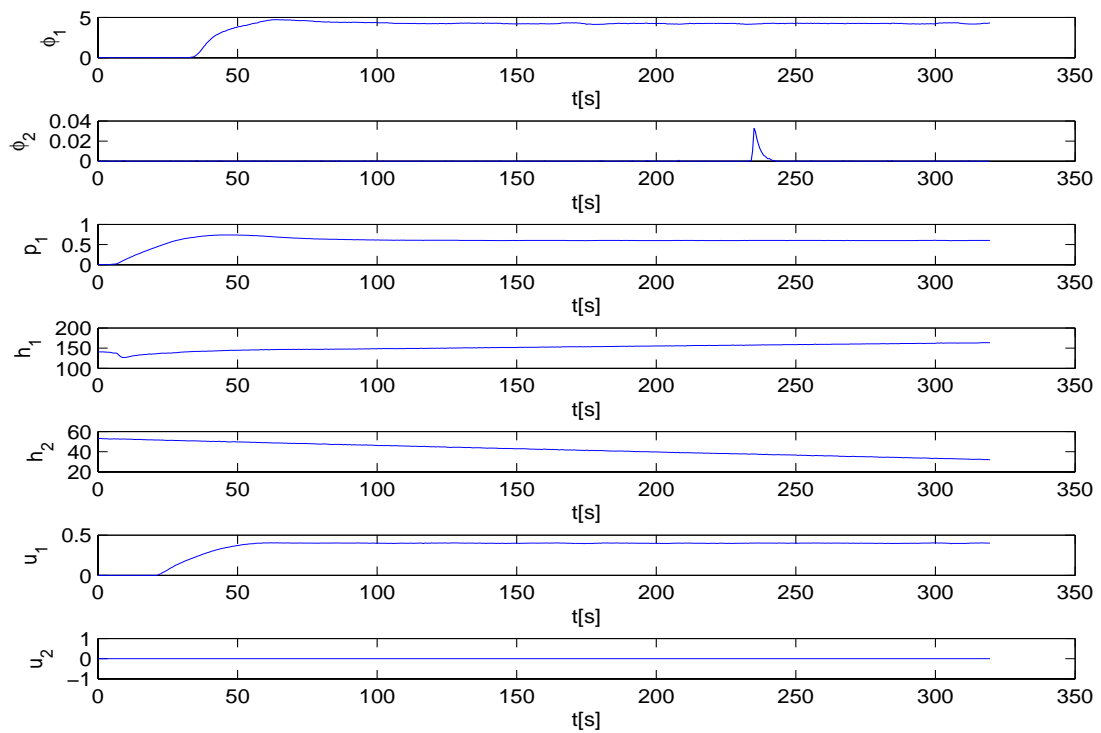
**Slika 64** Na grafu si od zgoraj navzdol sledijo naslednje veličine: pretok zraka skozi  $V_1$ , pretok vode skozi  $V_2$ , tlak  $p_1$  v ločevalniku, nivo v ločevalniku, nivo v rezervoarju, komandni signal  $u_1$  ter komandni signal  $u_2$ . Hitrost črpalk je bila  $f = 48\text{Hz}$ .



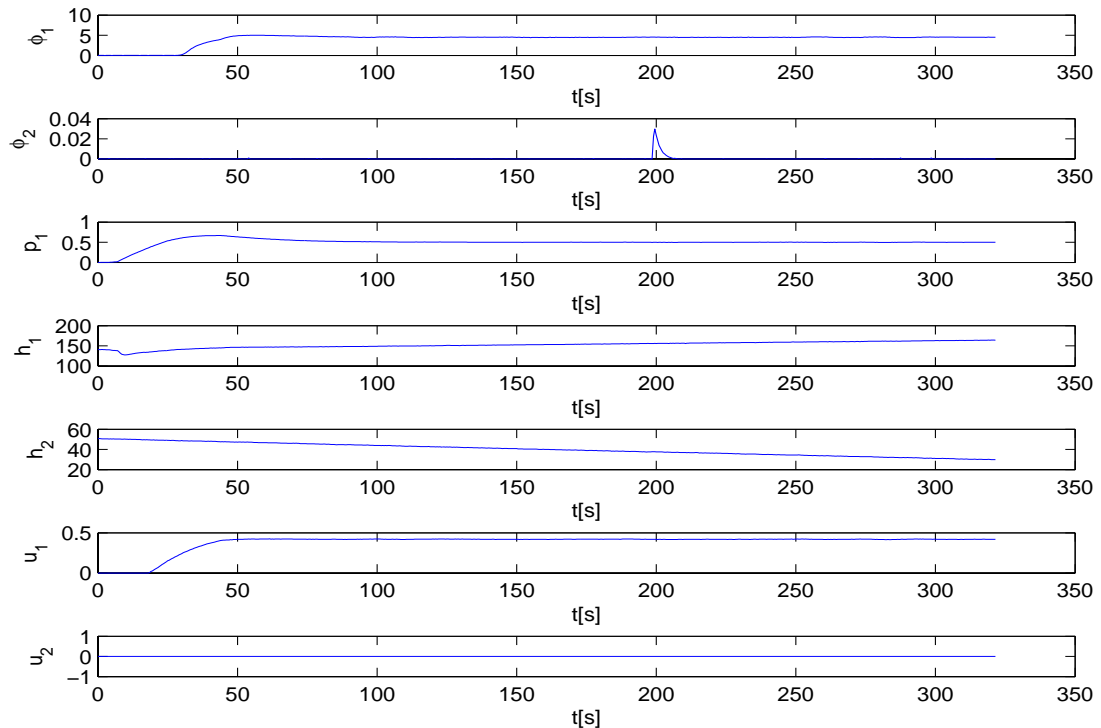
**Slika 65** Na grafu si od zgoraj navzdol sledijo naslednje veličine: pretok zraka skozi  $V_1$ , pretok vode skozi  $V_2$ , tlak  $p_1$  v ločevalniku, nivo v ločevalniku, nivo v rezervoarju, komandni signal  $u_1$  ter komandni signal  $u_2$ . Hitrost črpalk je bila  $f = 48\text{Hz}$ .



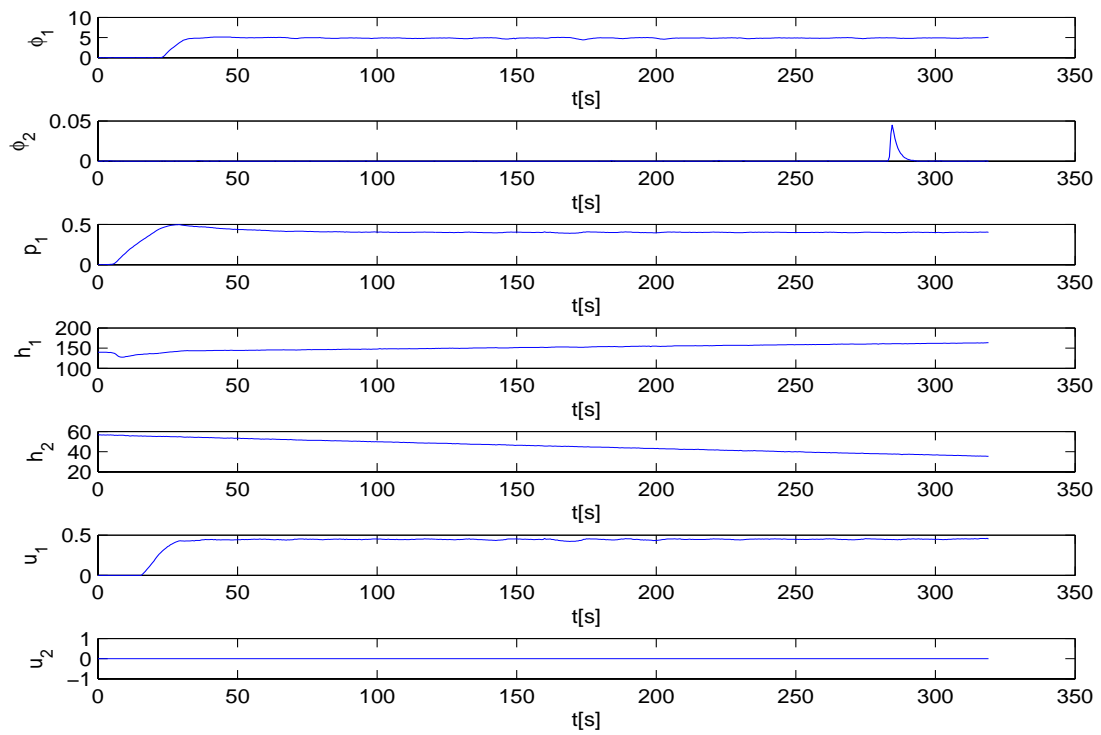
**Slika 66** Na grafu si od zgoraj navzdol sledijo naslednje veličine: pretok zraka skozi  $V_1$ , pretok vode skozi  $V_2$ , tlak  $p_1$  v ločevalniku, nivo v ločevalniku, nivo v rezervoarju, komandni signal  $u_1$  ter komandni signal  $u_2$ . Hitrost črpalk je bila  $f = 48\text{Hz}$ .



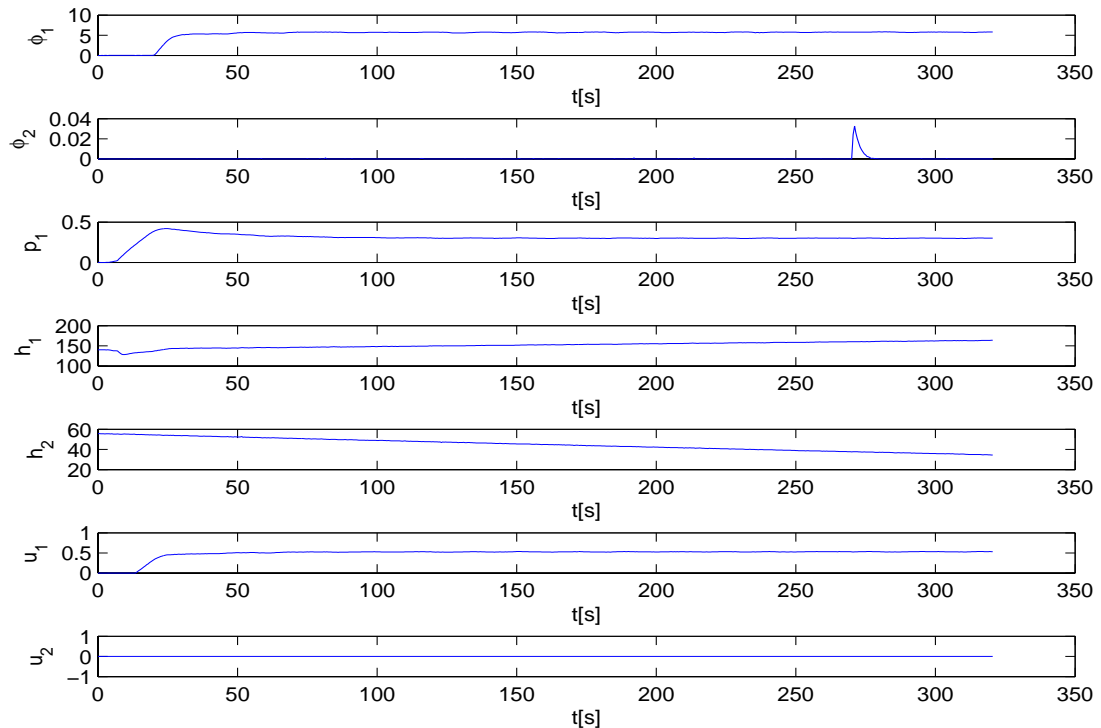
**Slika 67** Na grafu si od zgoraj navzdol sledijo naslednje veličine: pretok zraka skozi  $V_1$ , pretok vode skozi  $V_2$ , tlak  $p_1$  v ločevalniku, nivo v ločevalniku, nivo v rezervoarju, komandni signal  $u_1$  ter komandni signal  $u_2$ . Hitrost črpalk je bila  $f = 48\text{Hz}$ .



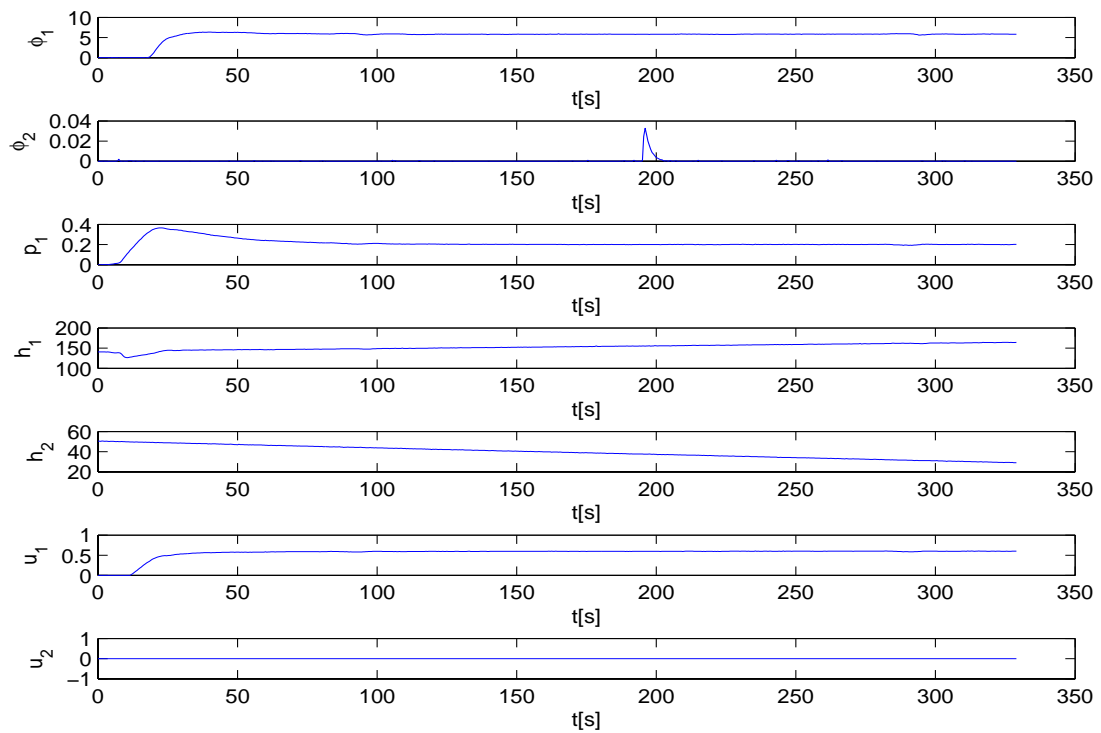
**Slika 68** Na grafu si od zgoraj navzdol sledijo naslednje veličine: pretok zraka skozi  $V_1$ , pretok vode skozi  $V_2$ , tlak  $p_1$  v ločevalniku, nivo v ločevalniku, nivo v rezervoarju, komandni signal  $u_1$  ter komandni signal  $u_2$ . Hitrost črpalk je bila  $f = 48\text{Hz}$ .



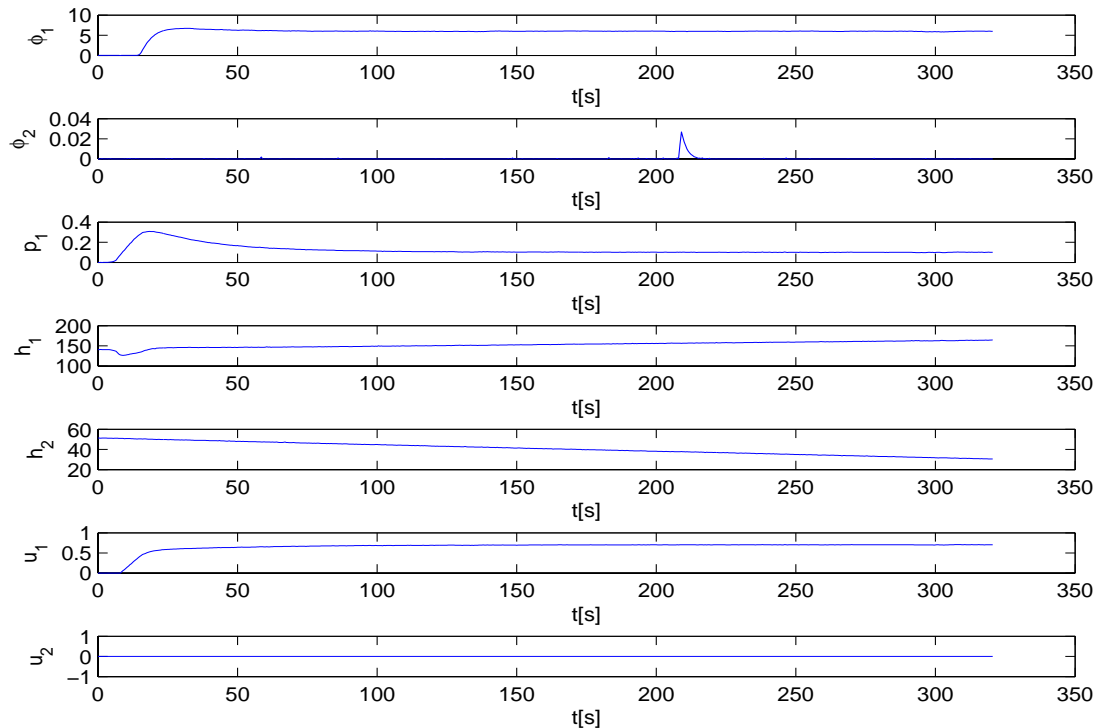
**Slika 69** Na grafu si od zgoraj navzdol sledijo naslednje veličine: pretok zraka skozi  $V_1$ , pretok vode skozi  $V_2$ , tlak  $p_1$  v ločevalniku, nivo v ločevalniku, nivo v rezervoarju, komandni signal  $u_1$  ter komandni signal  $u_2$ . Hitrost črpalk je bila  $f = 48\text{Hz}$ .



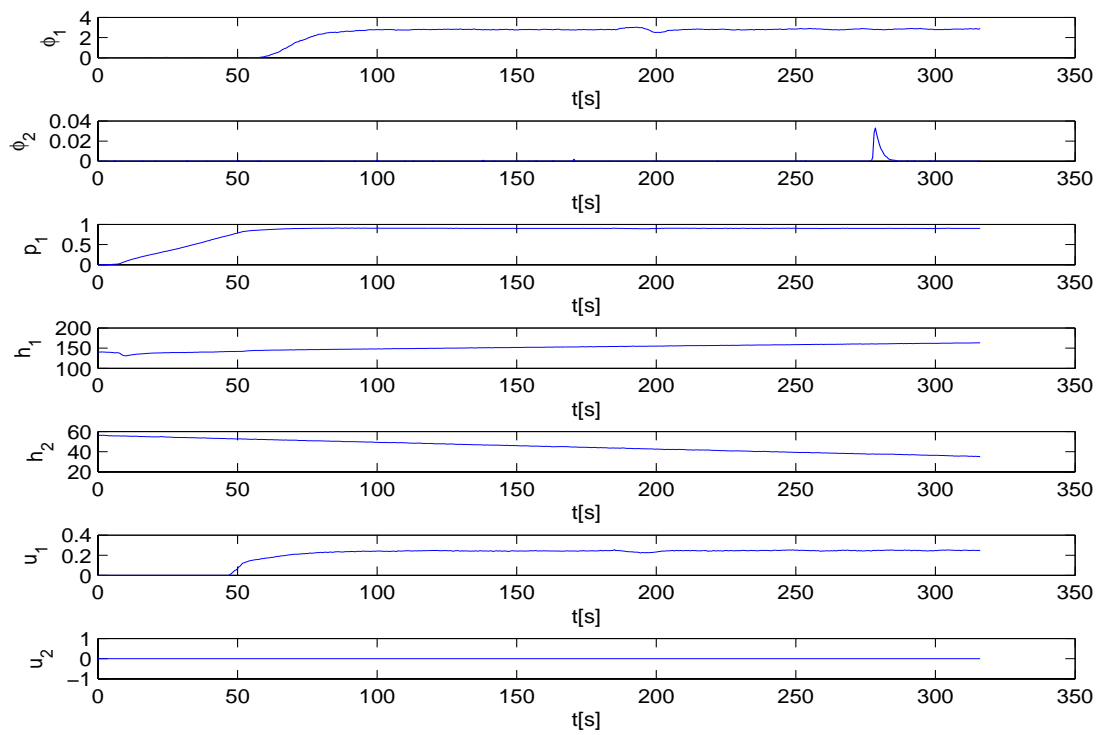
**Slika 70** Na grafu si od zgoraj navzdol sledijo naslednje veličine: pretok zraka skozi  $V_1$ , pretok vode skozi  $V_2$ , tlak  $p_1$  v ločevalniku, nivo v ločevalniku, nivo v rezervoarju, komandni signal  $u_1$  ter komandni signal  $u_2$ . Hitrost črpalk je bila  $f = 48\text{Hz}$ .



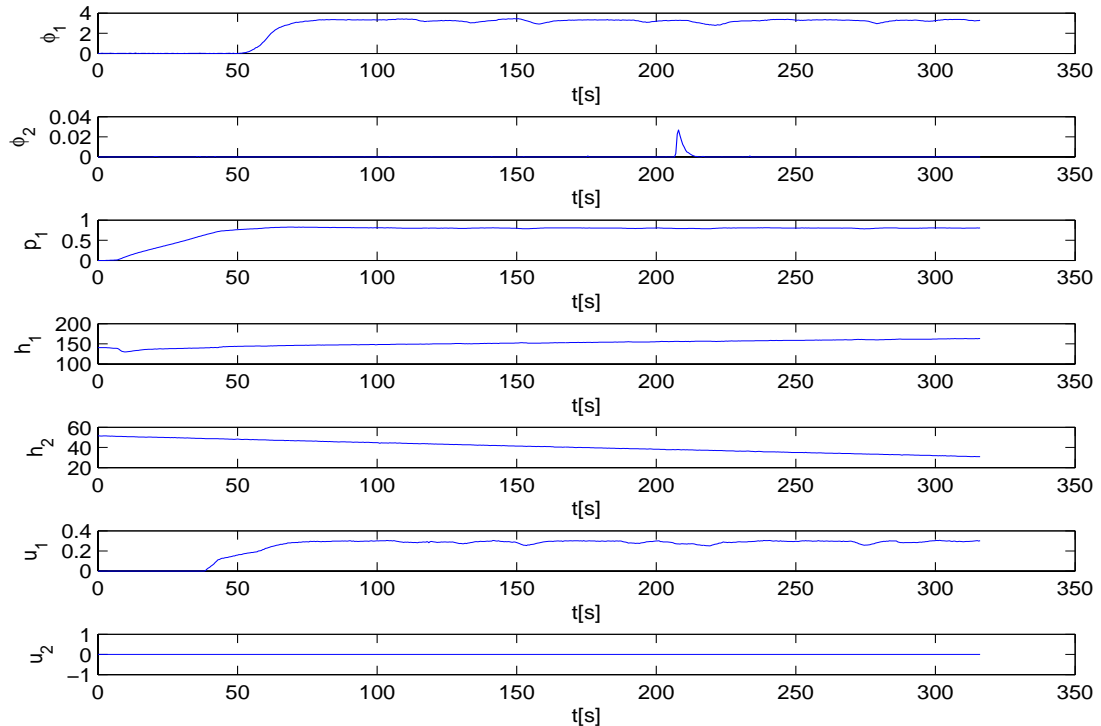
**Slika 71** Na grafu si od zgoraj navzdol sledijo naslednje veličine: pretok zraka skozi  $V_1$ , pretok vode skozi  $V_2$ , tlak  $p_1$  v ločevalniku, nivo v ločevalniku, nivo v rezervoarju, komandni signal  $u_1$  ter komandni signal  $u_2$ . Hitrost črpalk je bila  $f = 48\text{Hz}$ .



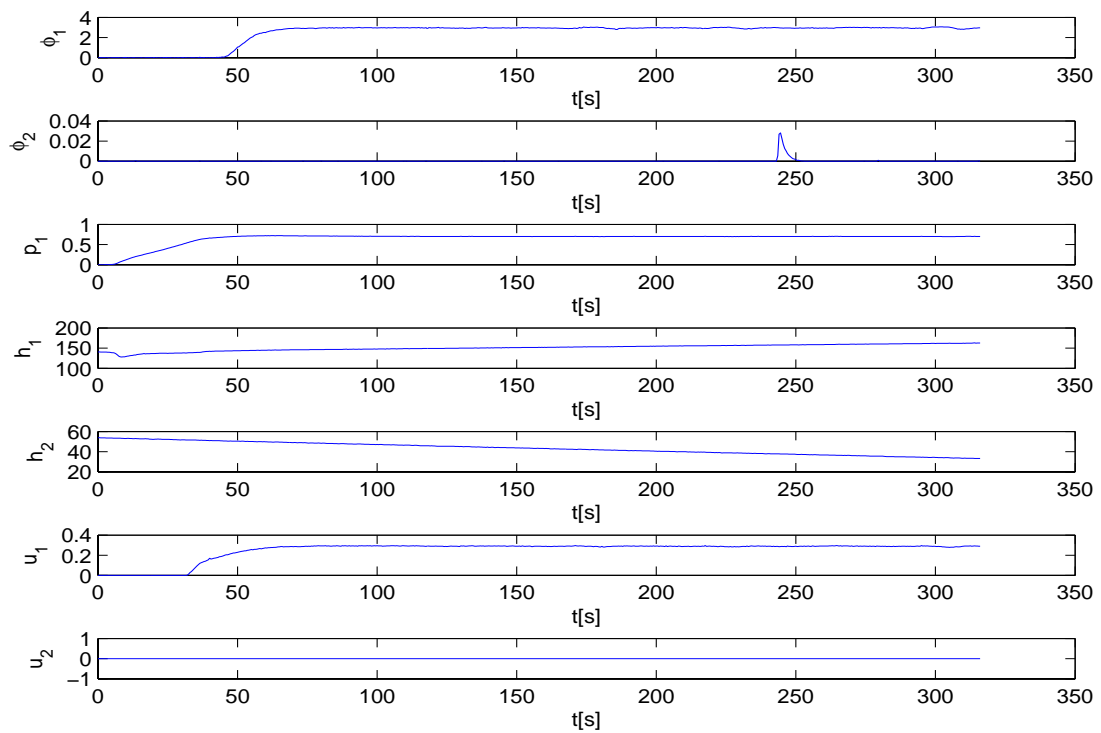
**Slika 72** Na grafu si od zgoraj navzdol sledijo naslednje veličine: pretok zraka skozi  $V_1$ , pretok vode skozi  $V_2$ , tlak  $p_1$  v ločevalniku, nivo v ločevalniku, nivo v rezervoarju, komandni signal  $u_1$  ter komandni signal  $u_2$ . Hitrost črpalk je bila  $f = 48\text{Hz}$ .



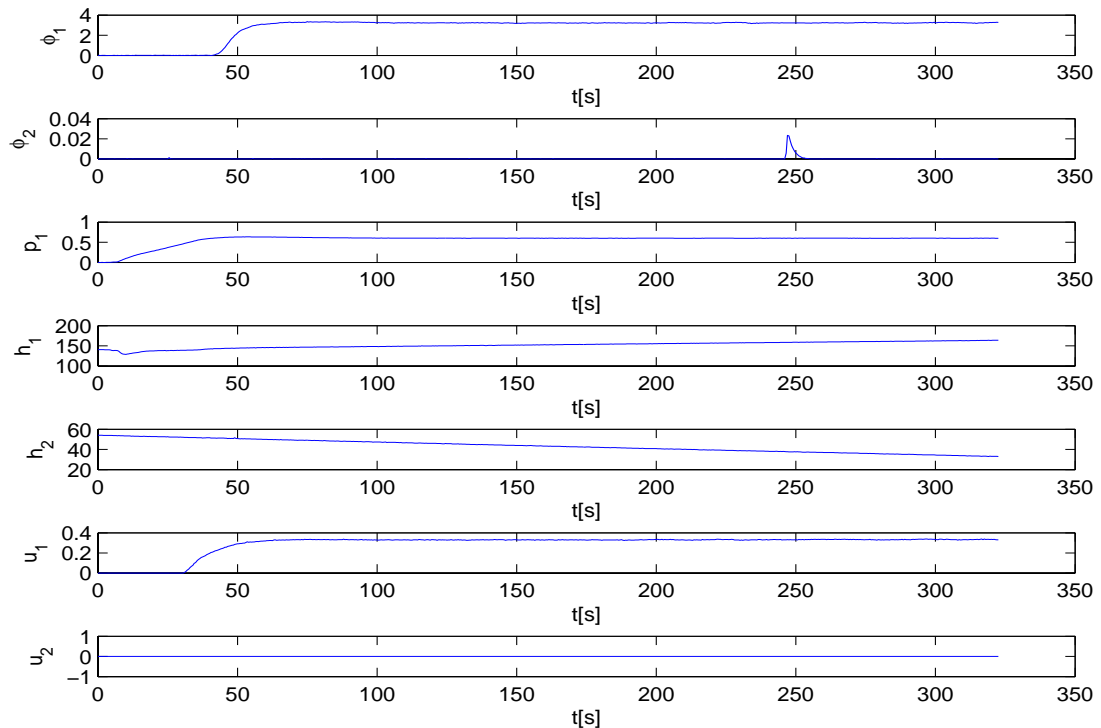
**Slika 73** Na grafu si od zgoraj navzdol sledijo naslednje veličine: pretok zraka skozi  $V_1$ , pretok vode skozi  $V_2$ , tlak  $p_1$  v ločevalniku, nivo v ločevalniku, nivo v rezervoarju, komandni signal  $u_1$  ter komandni signal  $u_2$ . Hitrost črpalk je bila  $f = 42\text{Hz}$ .



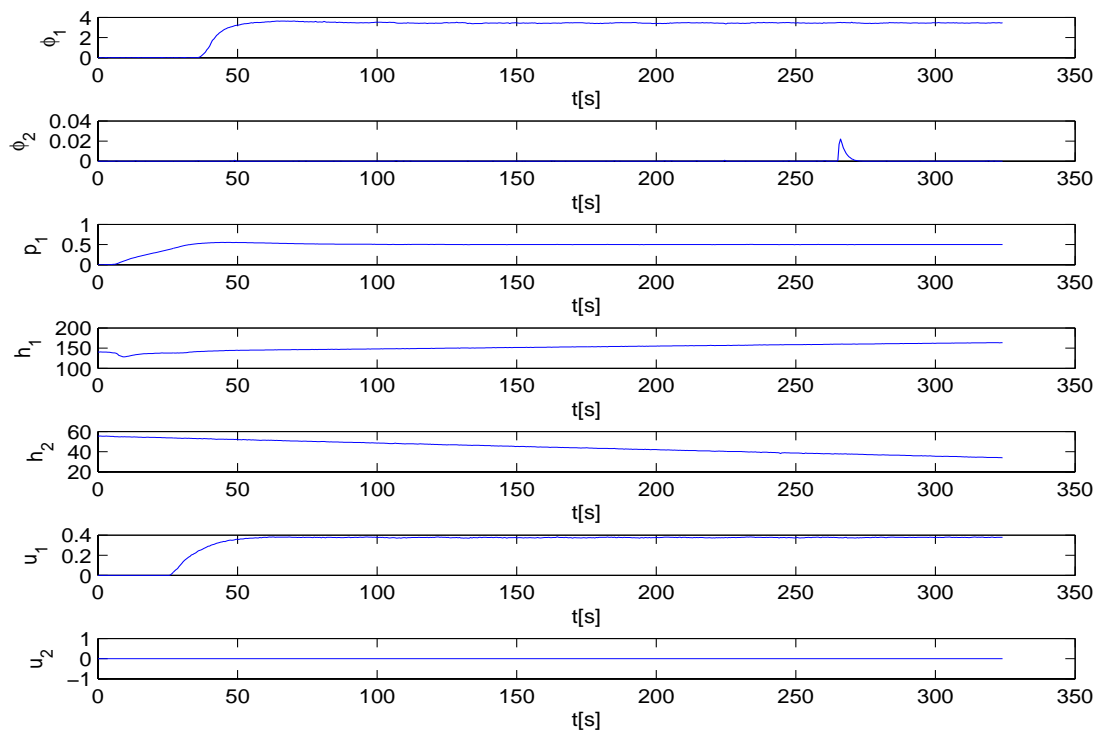
**Slika 74** Na grafu si od zgoraj navzdol sledijo naslednje veličine: pretok zraka skozi  $V_1$ , pretok vode skozi  $V_2$ , tlak  $p_1$  v ločevalniku, nivo v ločevalniku, nivo v rezervoarju, komandni signal  $u_1$  ter komandni signal  $u_2$ . Hitrost črpalk je bila  $f = 42\text{Hz}$ .



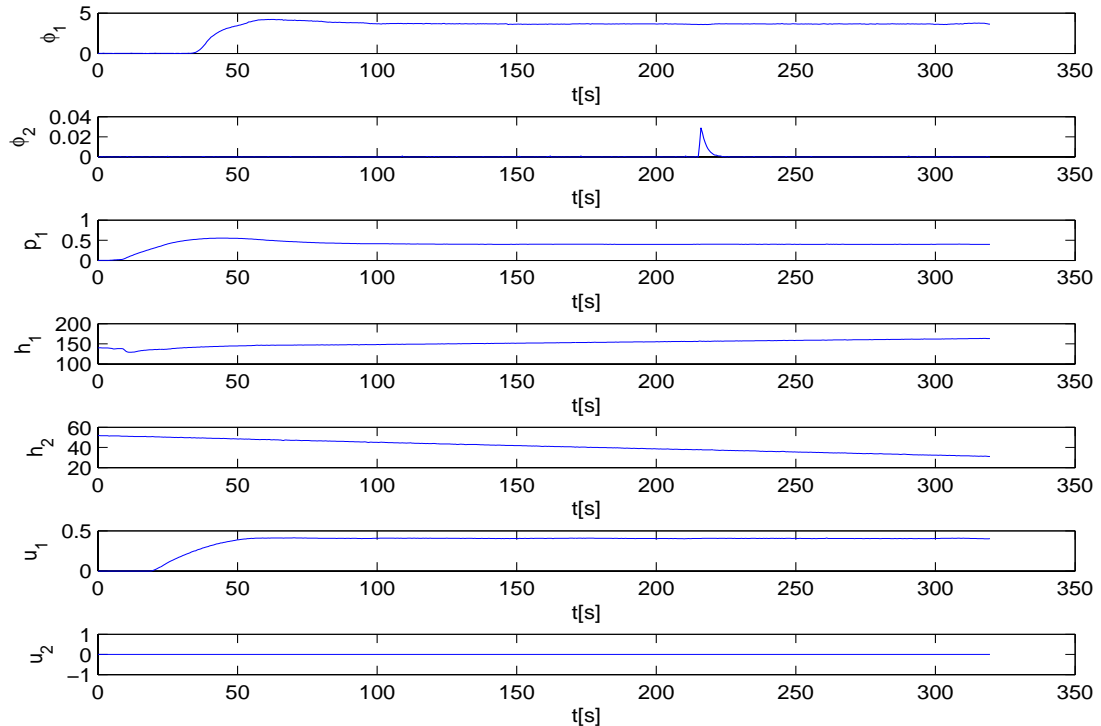
**Slika 75** Na grafu si od zgoraj navzdol sledijo naslednje veličine: pretok zraka skozi  $V_1$ , pretok vode skozi  $V_2$ , tlak  $p_1$  v ločevalniku, nivo v ločevalniku, nivo v rezervoarju, komandni signal  $u_1$  ter komandni signal  $u_2$ . Hitrost črpalk je bila  $f = 42\text{Hz}$ .



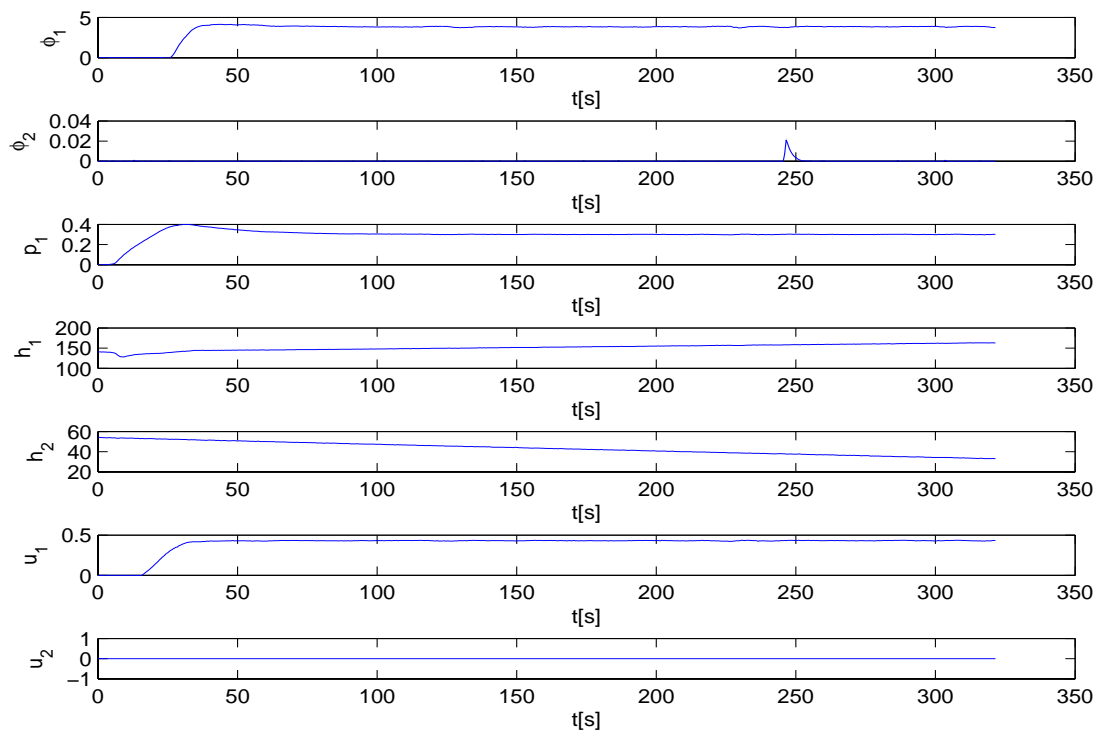
**Slika 76** Na grafu si od zgoraj navzdol sledijo naslednje veličine: pretok zraka skozi  $V_1$ , pretok vode skozi  $V_2$ , tlak  $p_1$  v ločevalniku, nivo v ločevalniku, nivo v rezervoarju, komandni signal  $u_1$  ter komandni signal  $u_2$ . Hitrost črpalk je bila  $f = 42\text{Hz}$ .



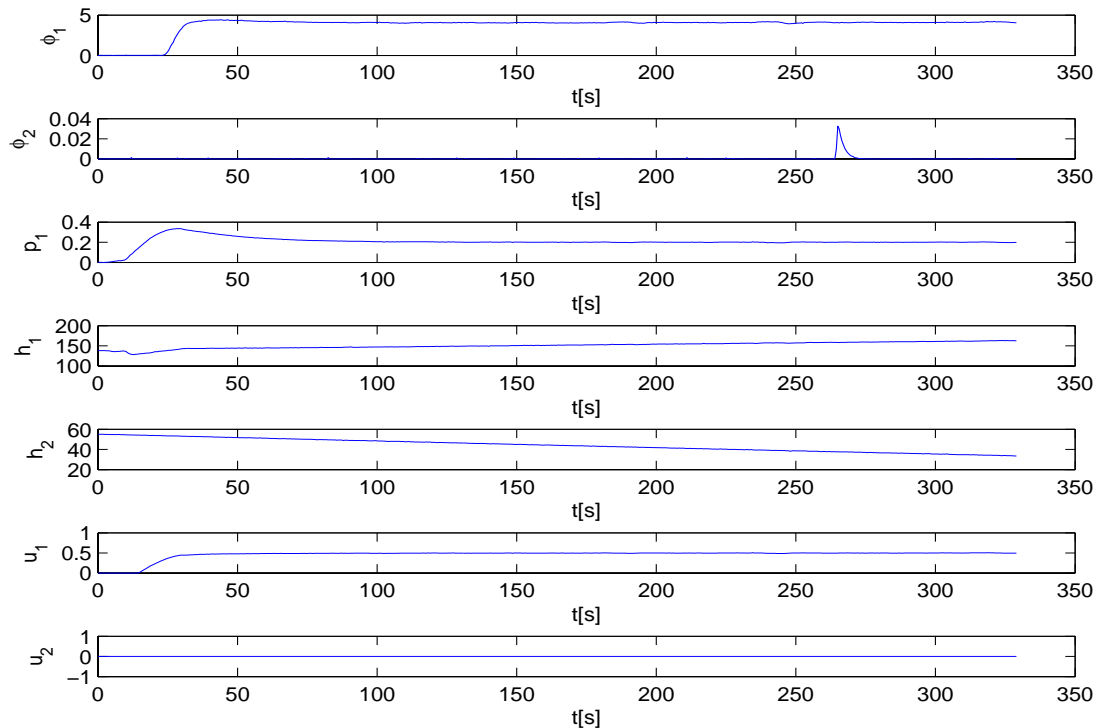
**Slika 77** Na grafu si od zgoraj navzdol sledijo naslednje veličine: pretok zraka skozi  $V_1$ , pretok vode skozi  $V_2$ , tlak  $p_1$  v ločevalniku, nivo v ločevalniku, nivo v rezervoarju, komandni signal  $u_1$  ter komandni signal  $u_2$ . Hitrost črpalk je bila  $f = 42\text{Hz}$ .



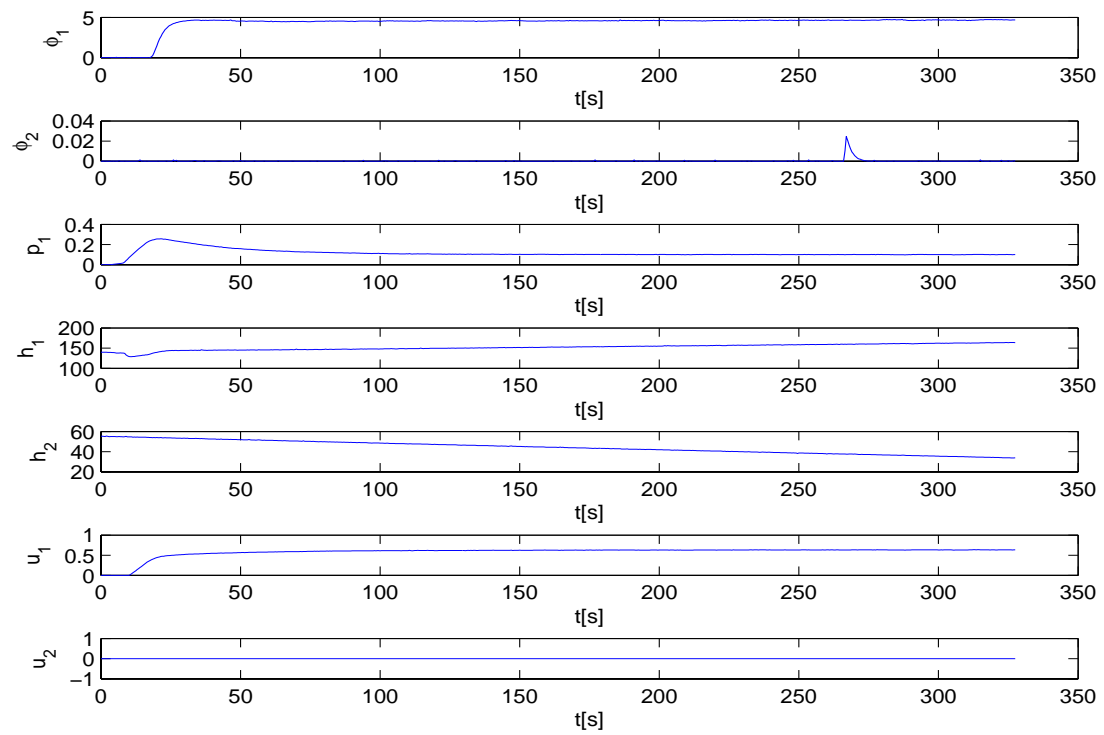
**Slika 78** Na grafu si od zgoraj navzdol sledijo naslednje veličine: pretok zraka skozi  $V_1$ , pretok vode skozi  $V_2$ , tlak  $p_1$  v ločevalniku, nivo v ločevalniku, nivo v rezervoarju, komandni signal  $u_1$  ter komandni signal  $u_2$ . Hitrost črpalk je bila  $f = 42\text{Hz}$ .



**Slika 79** Na grafu si od zgoraj navzdol sledijo naslednje veličine: pretok zraka skozi  $V_1$ , pretok vode skozi  $V_2$ , tlak  $p_1$  v ločevalniku, nivo v ločevalniku, nivo v rezervoarju, komandni signal  $u_1$  ter komandni signal  $u_2$ . Hitrost črpalk je bila  $f = 42\text{Hz}$ .



**Slika 80** Na grafu si od zgoraj navzdol sledijo naslednje veličine: pretok zraka skozi  $V_1$ , pretok vode skozi  $V_2$ , tlak  $p_1$  v ločevalniku, nivo v ločevalniku, nivo v rezervoarju, komandni signal  $u_1$  ter komandni signal  $u_2$ . Hitrost črpalk je bila  $f = 42\text{Hz}$ .



**Slika 81** Na grafu si od zgoraj navzdol sledijo naslednje veličine: pretok zraka skozi  $V_1$ , pretok vode skozi  $V_2$ , tlak  $p_1$  v ločevalniku, nivo v ločevalniku, nivo v rezervoarju, komandni signal  $u_1$  ter komandni signal  $u_2$ . Hitrost črpalk je bila  $f = 42\text{Hz}$ .